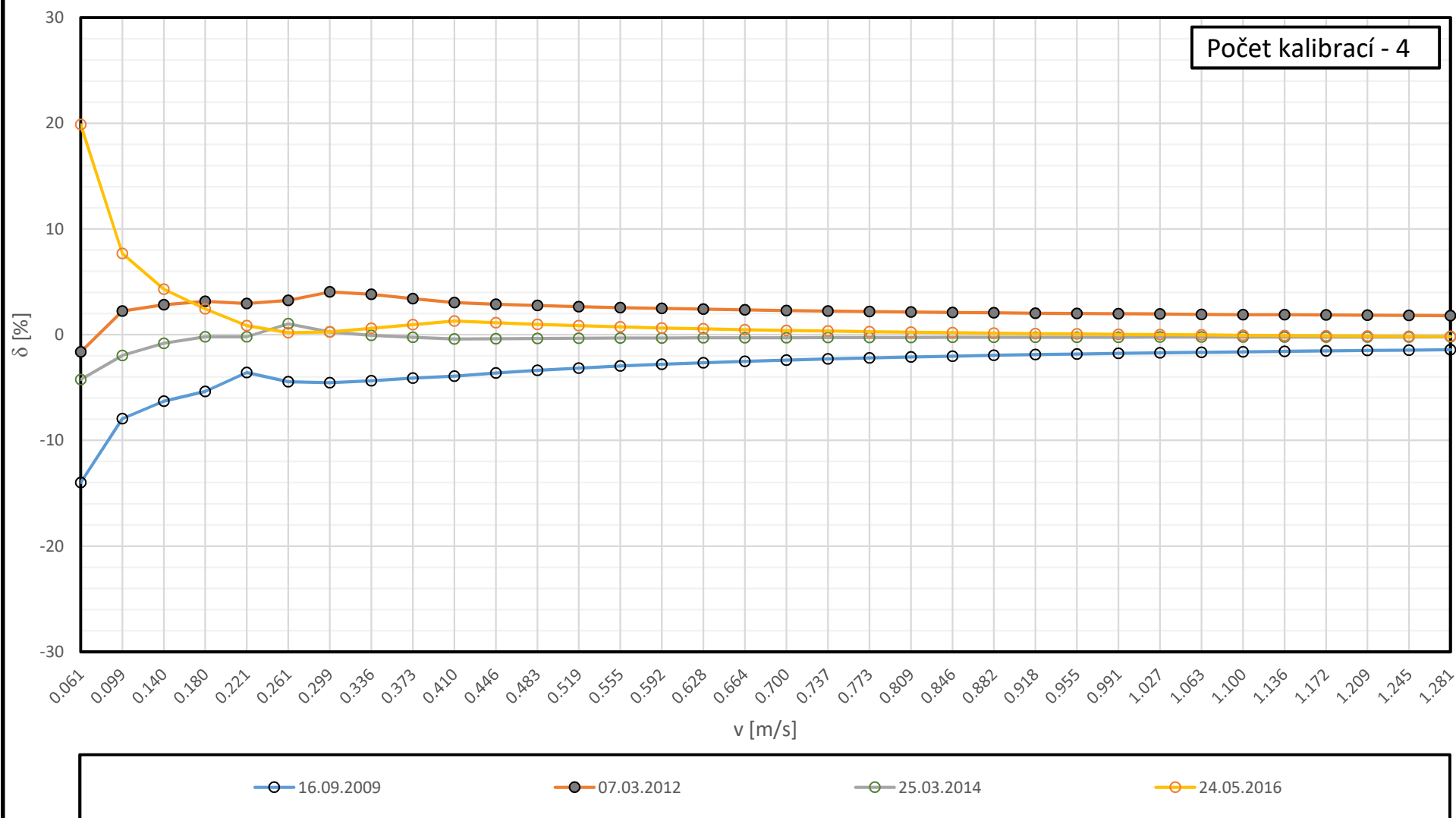


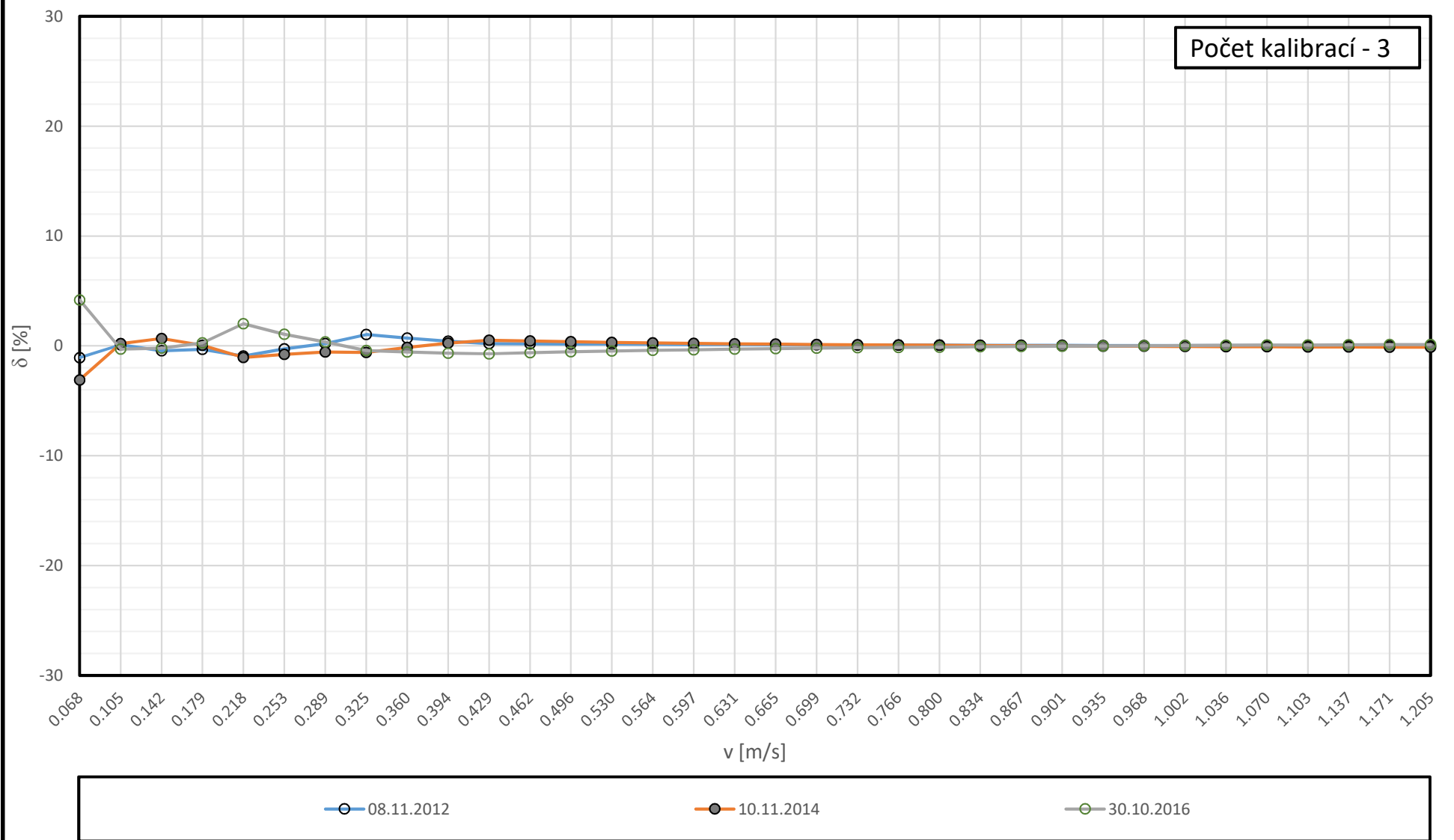
## **PŘÍLOHA P1**

Relativní odchylka jednotlivých kalibrací v závislosti na průměrné rychlosti  
všech dostupných kalibrací vodoměrné vrtule

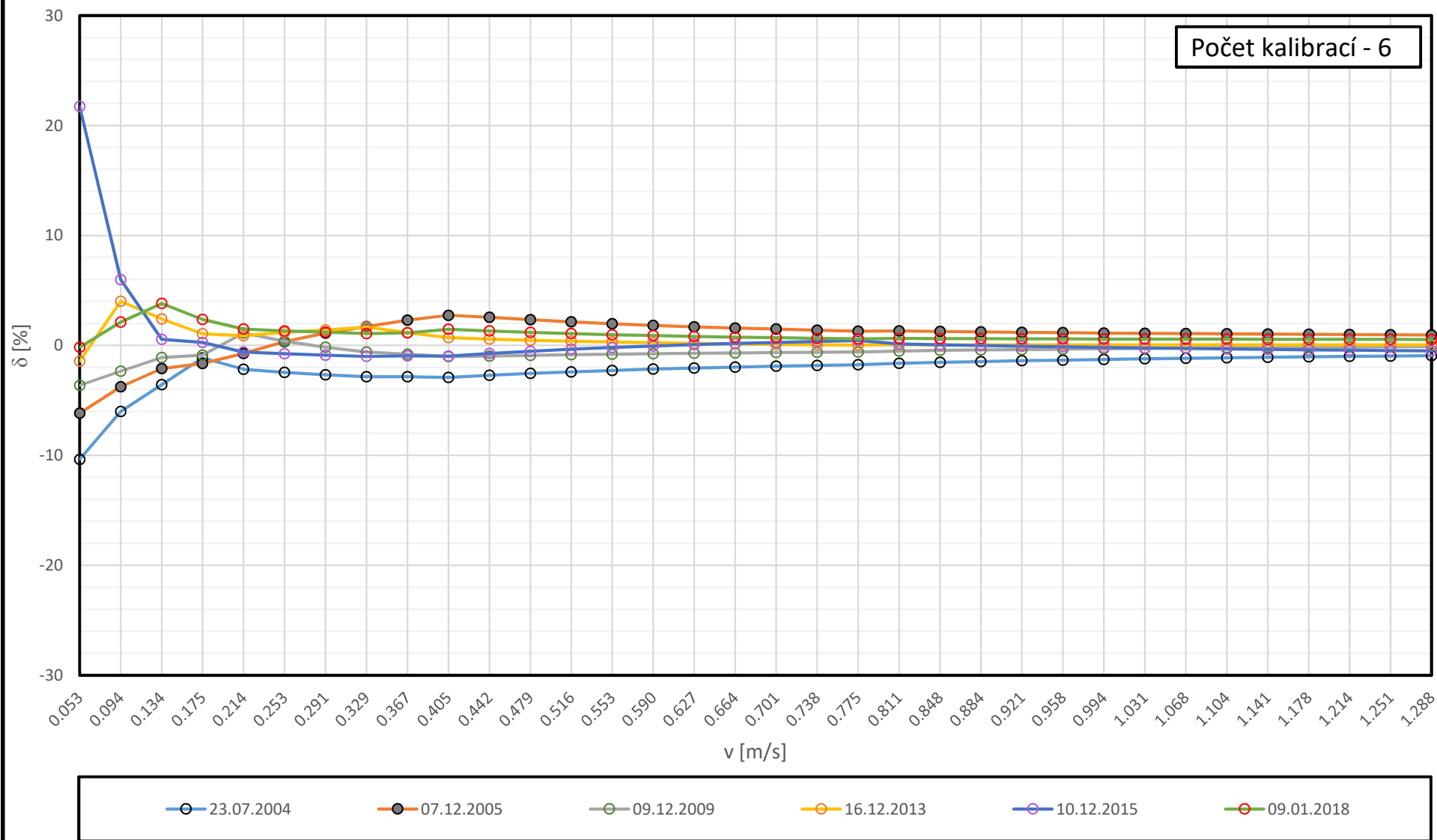
Relativní odchylka jednotlivých kalibrací v závislosti na průměrné rychlosti všech dostupných kalibrací vodoměrné vrtule OTT-C-2, tělo 243915/propeler 1-241830, KOCMAN



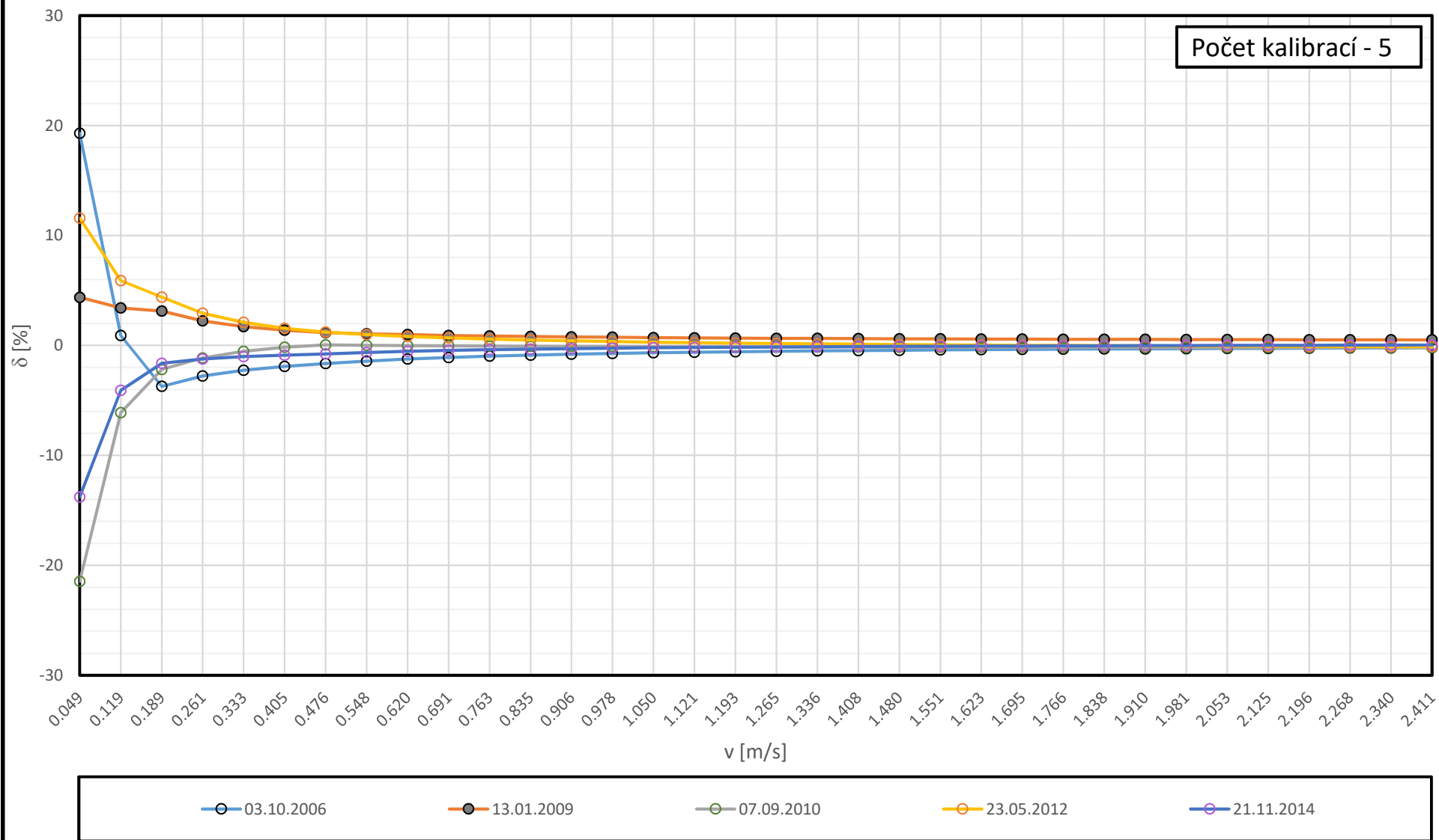
Relativní odchylka jednotlivých kalibrací v závislosti na průměrné rychlosti všech dostupných kalibrací vodoměrné vrtule OTT-C-2, tělo 106087/propeler V31, MIFLOW



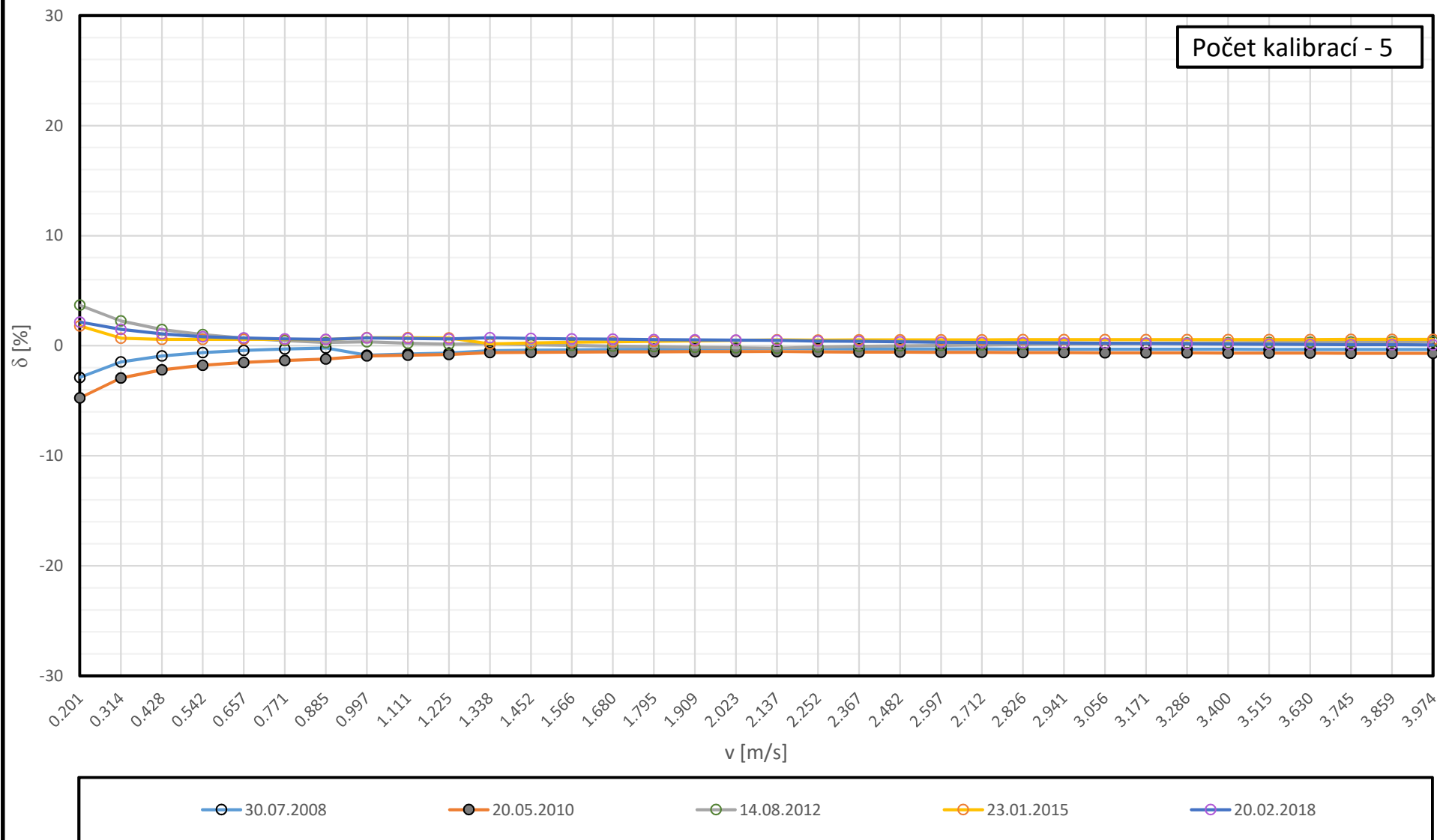
Relativní odchylka jednotlivých kalibrací v závislosti na průměrné rychlosti všech dostupných kalibrací vodoměrné vrtule OTT-C-2, tělo 169249/propeler 1-141763, VAS



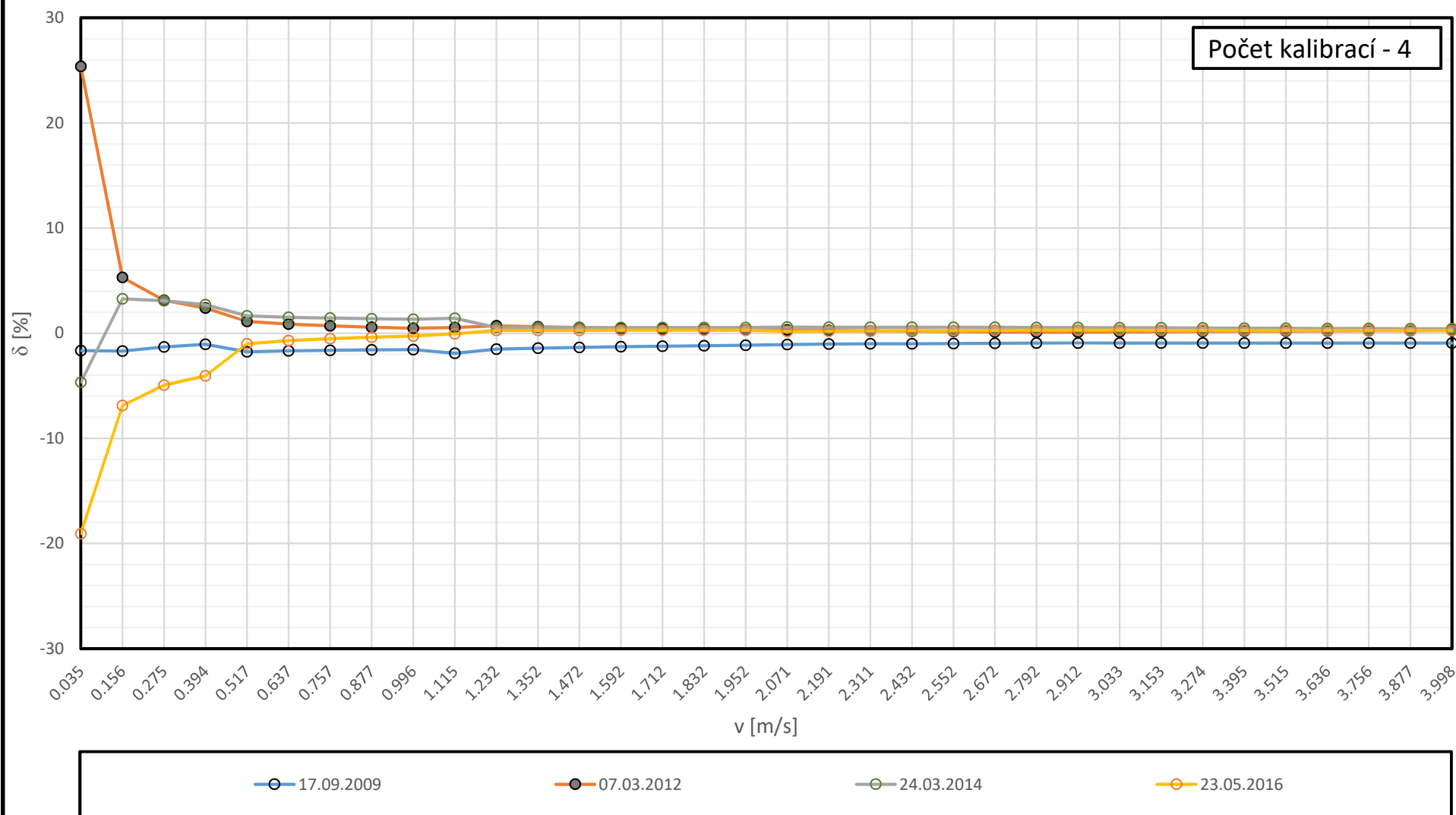
Relativní odchylka jednotlivých kalibrací v závislosti na průměrné rychlosti všech dostupných kalibrací vodoměrné vrtule OTT-C-2, tělo 129865/propeler 2-81093, ČHMÚ



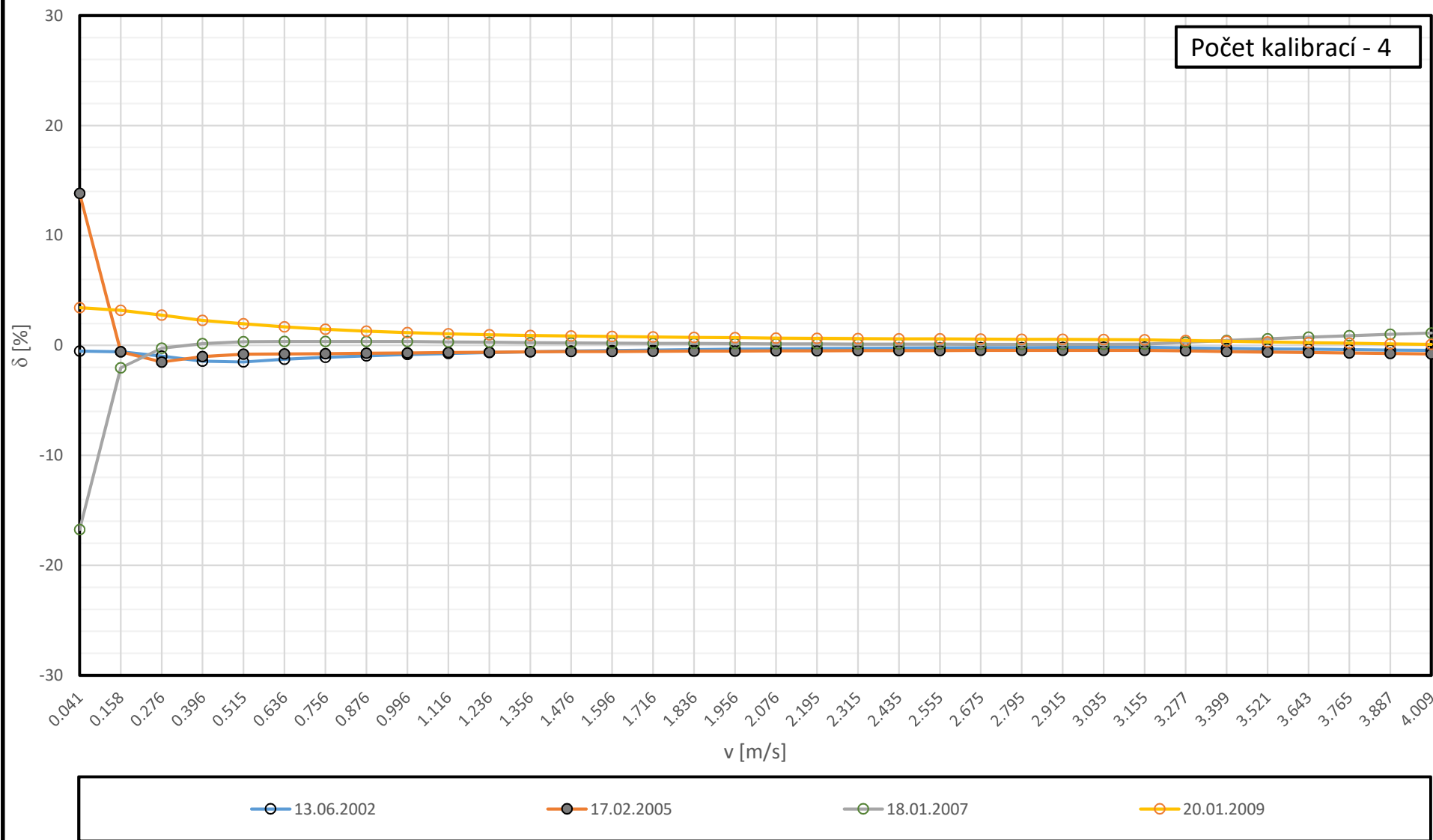
Relativní odchylka jednotlivých kalibrací v závislosti na průměrné rychlosti všech dostupných kalibrací vodoměrné vrtule OTT-C-2, tělo 232210/propeler 3-232106, DHI



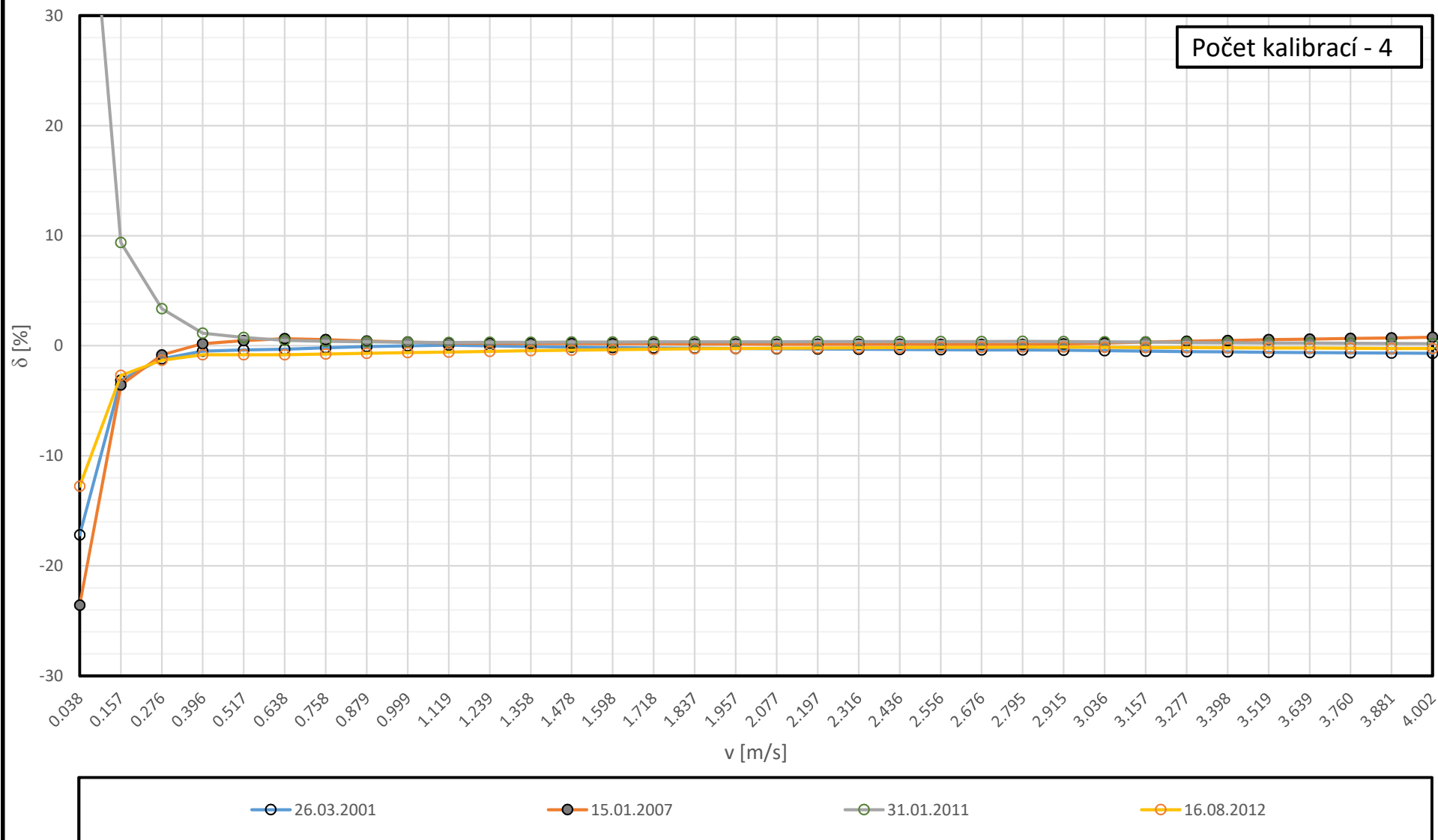
Relativní odchylka jednotlivých kalibrací v závislosti na průměrné rychlosti všech dostupných kalibrací vodoměrné vrtule OTT-C-2, tělo 243915/propeler 3-244256, KOCMAN



Relativní odchylka jednotlivých kalibrací v závislosti na průměrné rychlosti všech dostupných kalibrací vodoměrné vrtule OTT-C-2, tělo 168876/propeler 3-169558, PVK

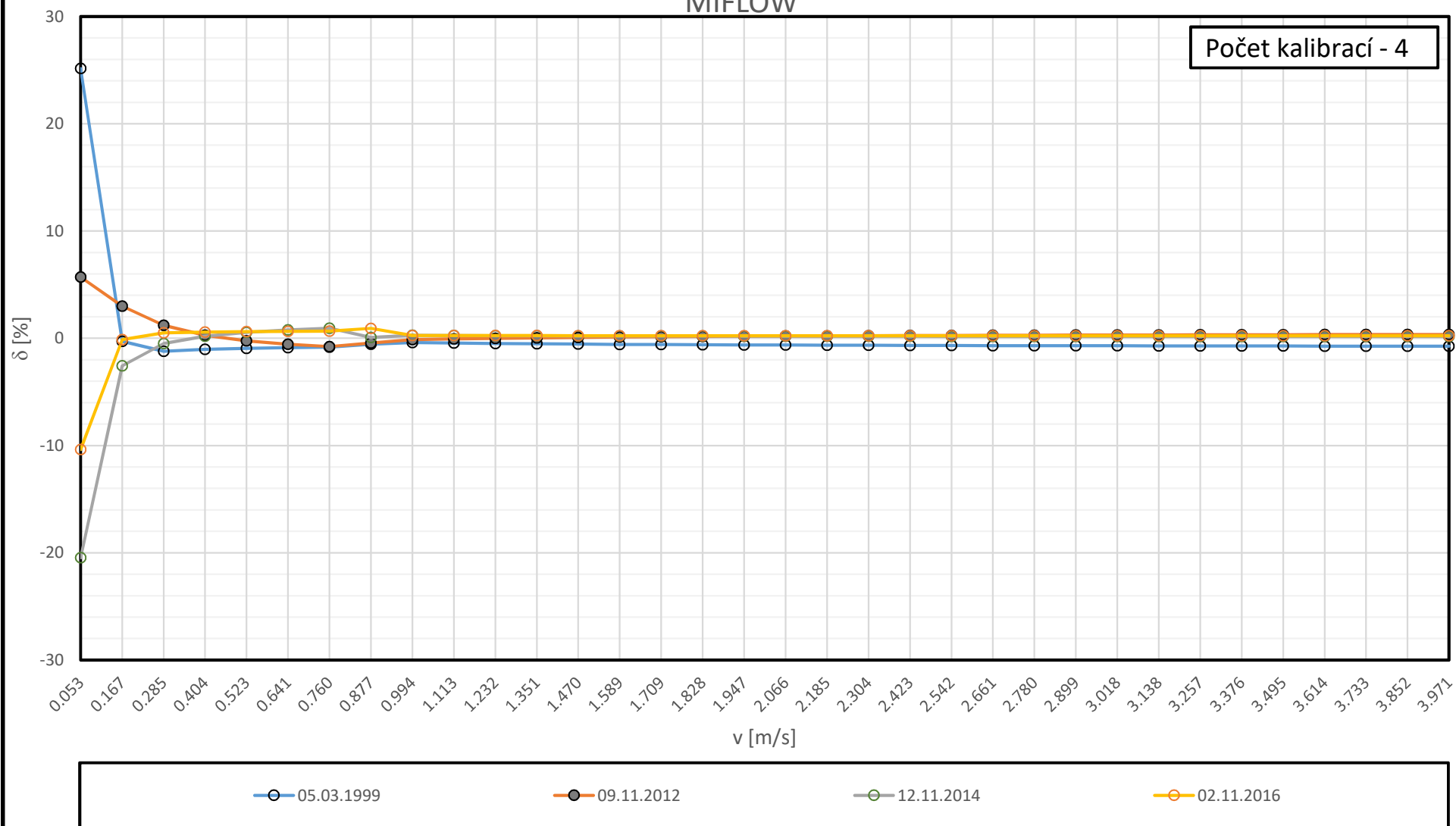


Relativní odchylka jednotlivých kalibrací v závislosti na průměrné rychlosti všech dostupných kalibrací vodoměrné vrtule OTT-C-2, tělo 141762/propeler 3-147132, PVK

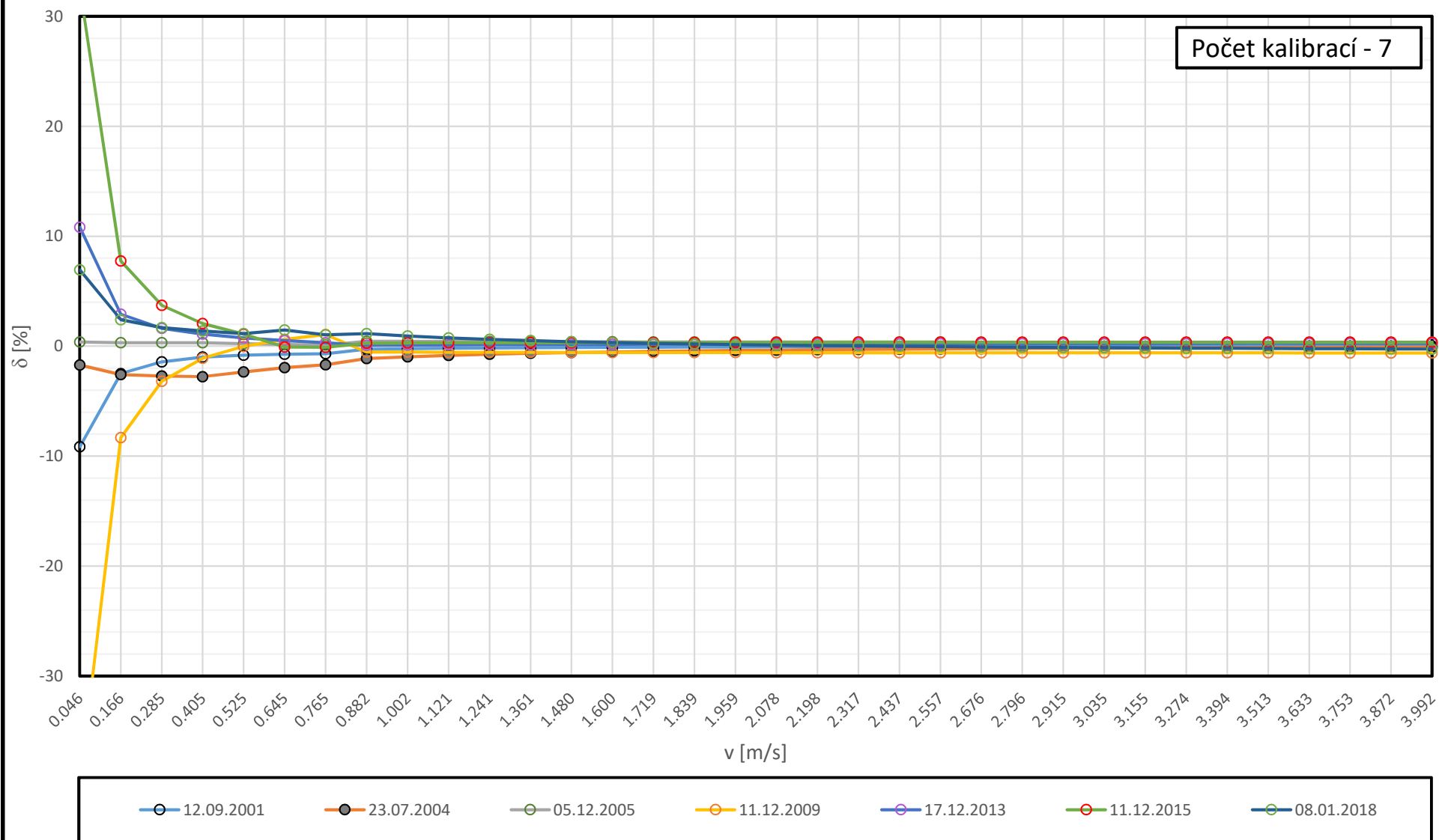


Relativní odchylka jednotlivých kalibrací v závislosti na průměrné rychlosti všech dostupných kalibrací vodoměrné vrtule OTT-C-2, tělo 106087/propeler 3-107327,

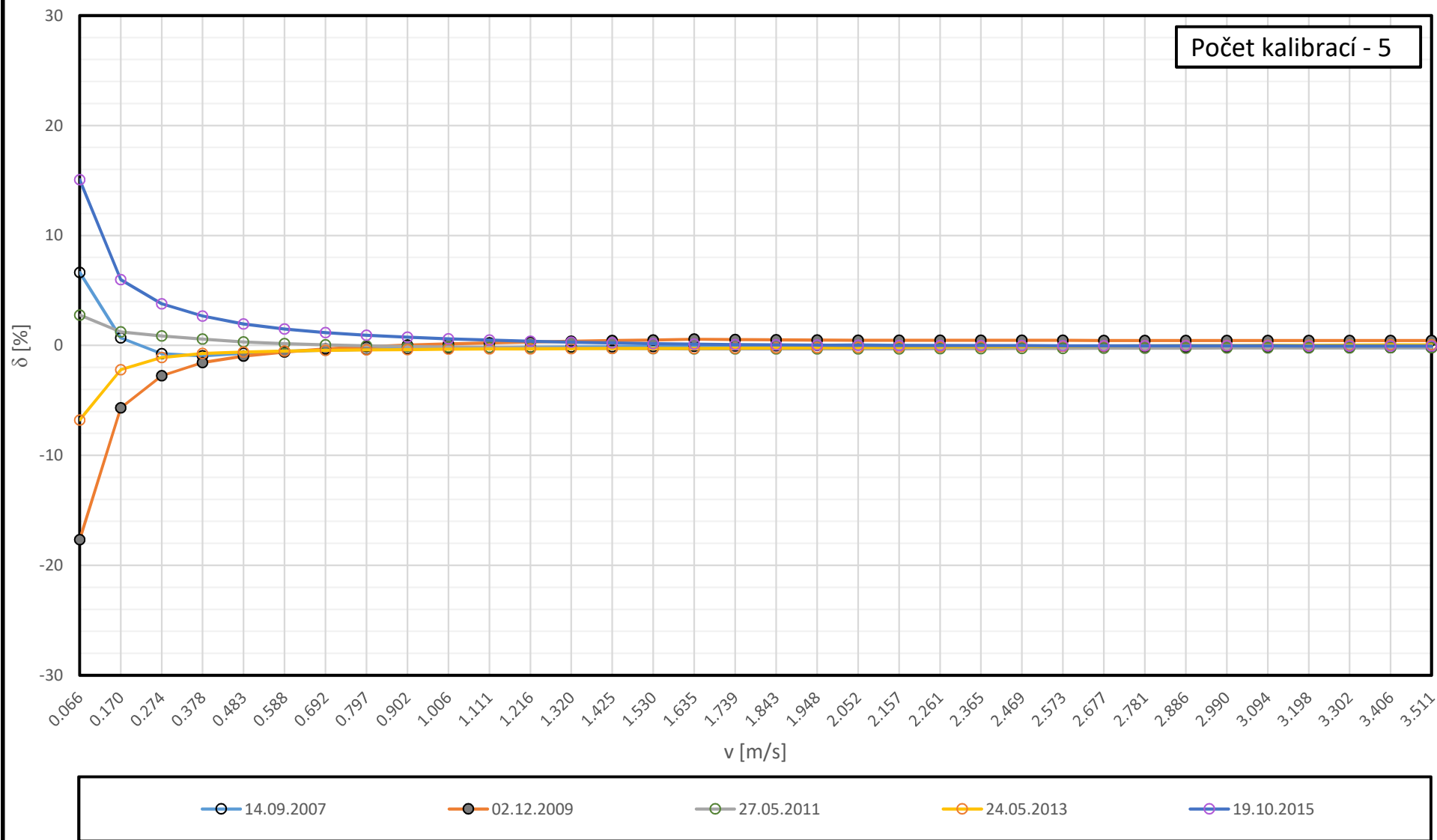
MIFLOW



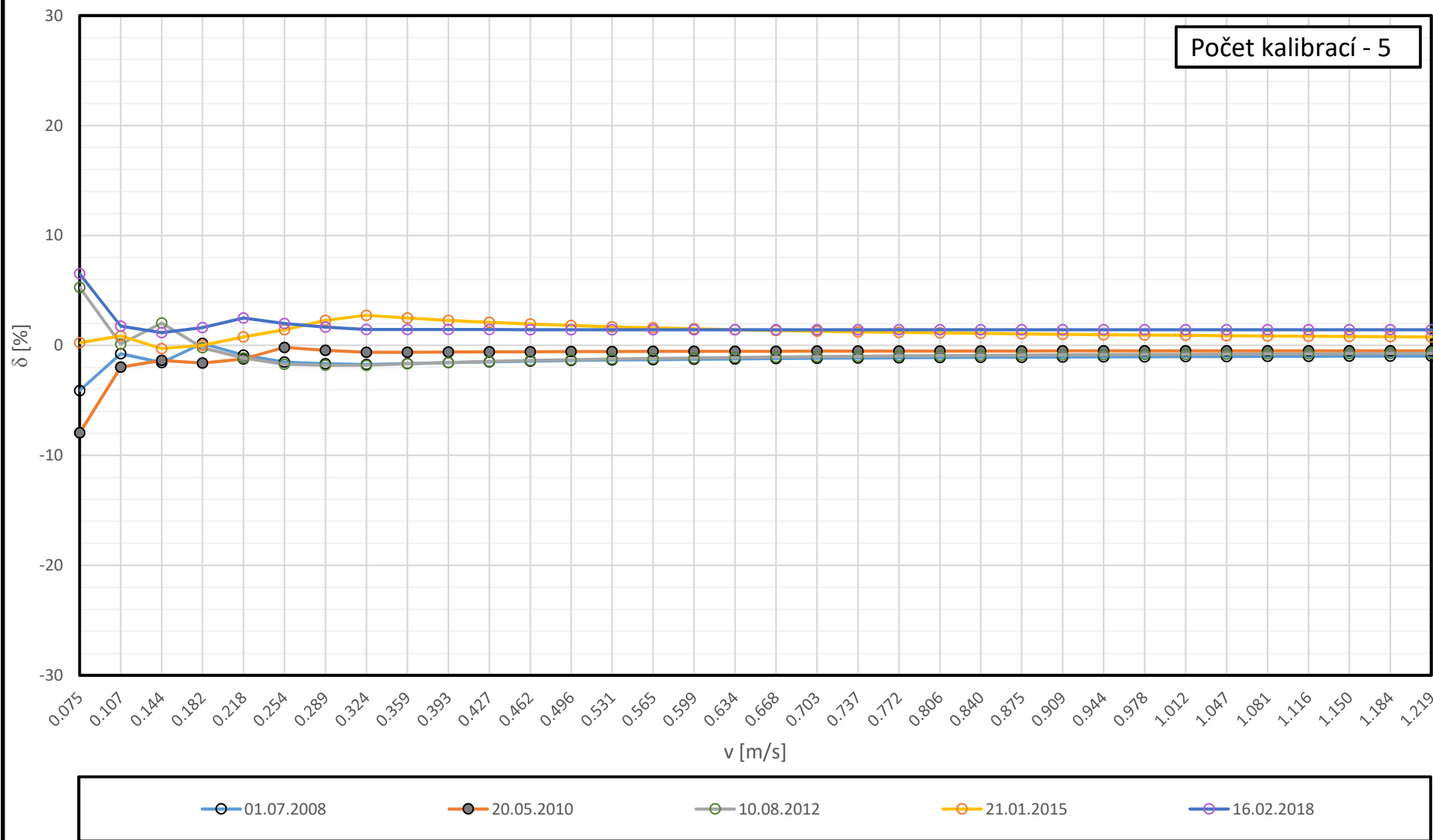
Relativní odchylka jednotlivých kalibrací v závislosti na průměrné rychlosti všech dostupných kalibrací vodoměrné vrtule OTT-C-2, tělo 141736/propeler 3-141733, VAS



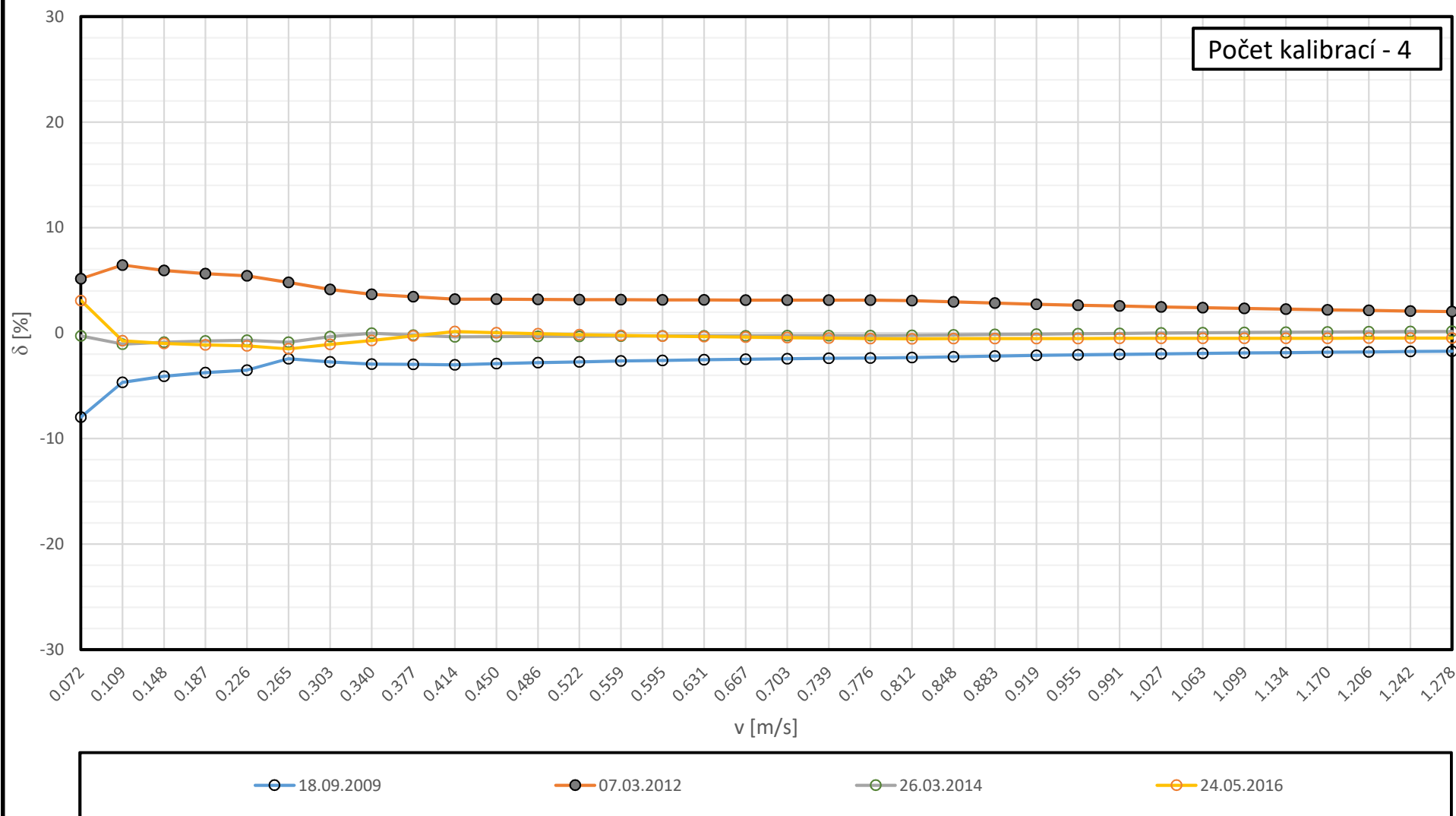
Relativní odchylka jednotlivých kalibrací v závislosti na průměrné rychlosti všech dostupných kalibrací vodoměrné vrtule OTT-C-31, tělo 54776/propeler 4-55706,ČHMÚ



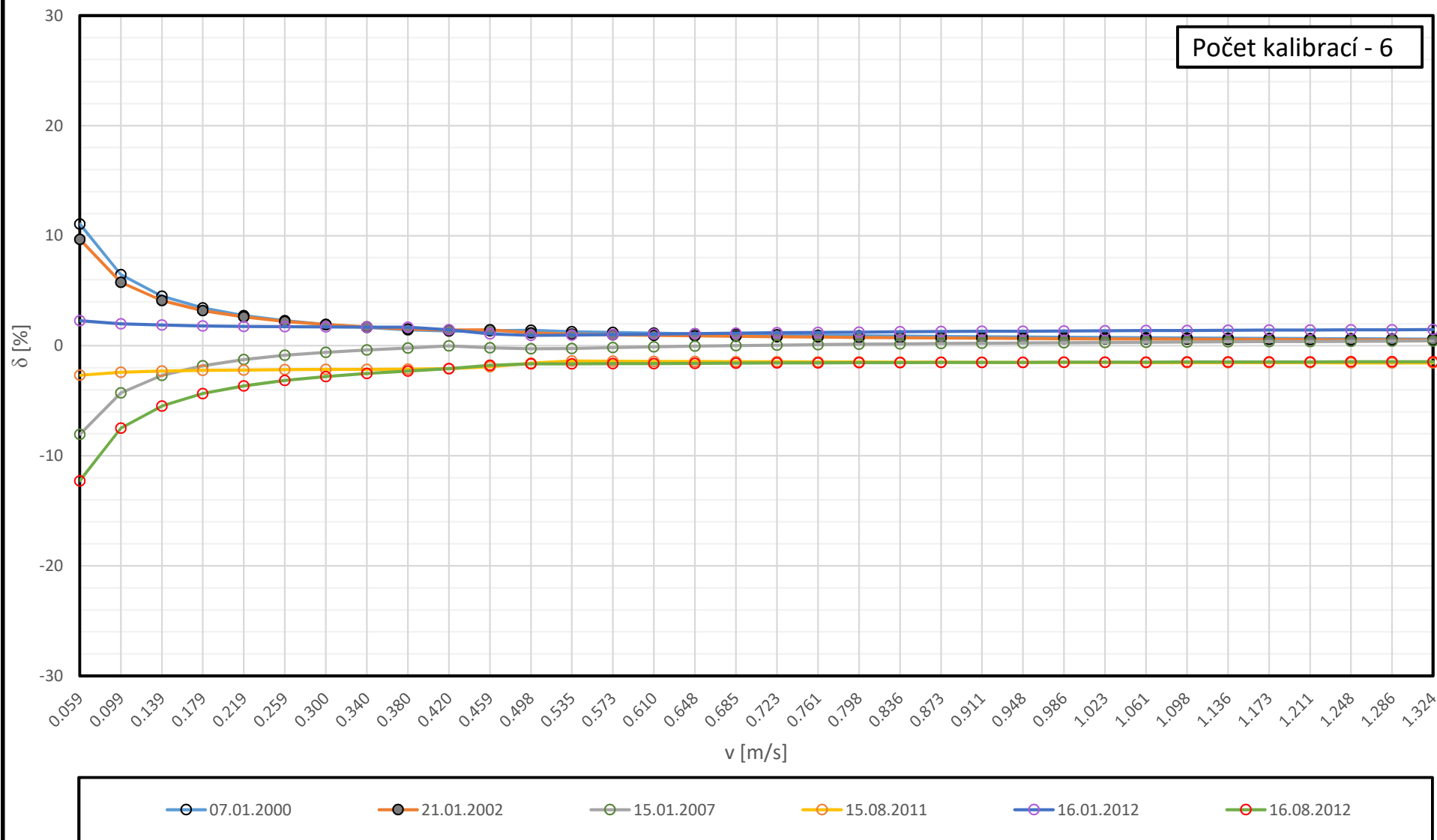
Relativní odchylka jednotlivých kalibrací v závislosti na průměrné rychlosti všech dostupných kalibrací vodoměrné vrtule OTT-C-2, tělo 232210/propeler 5-212753, DHI



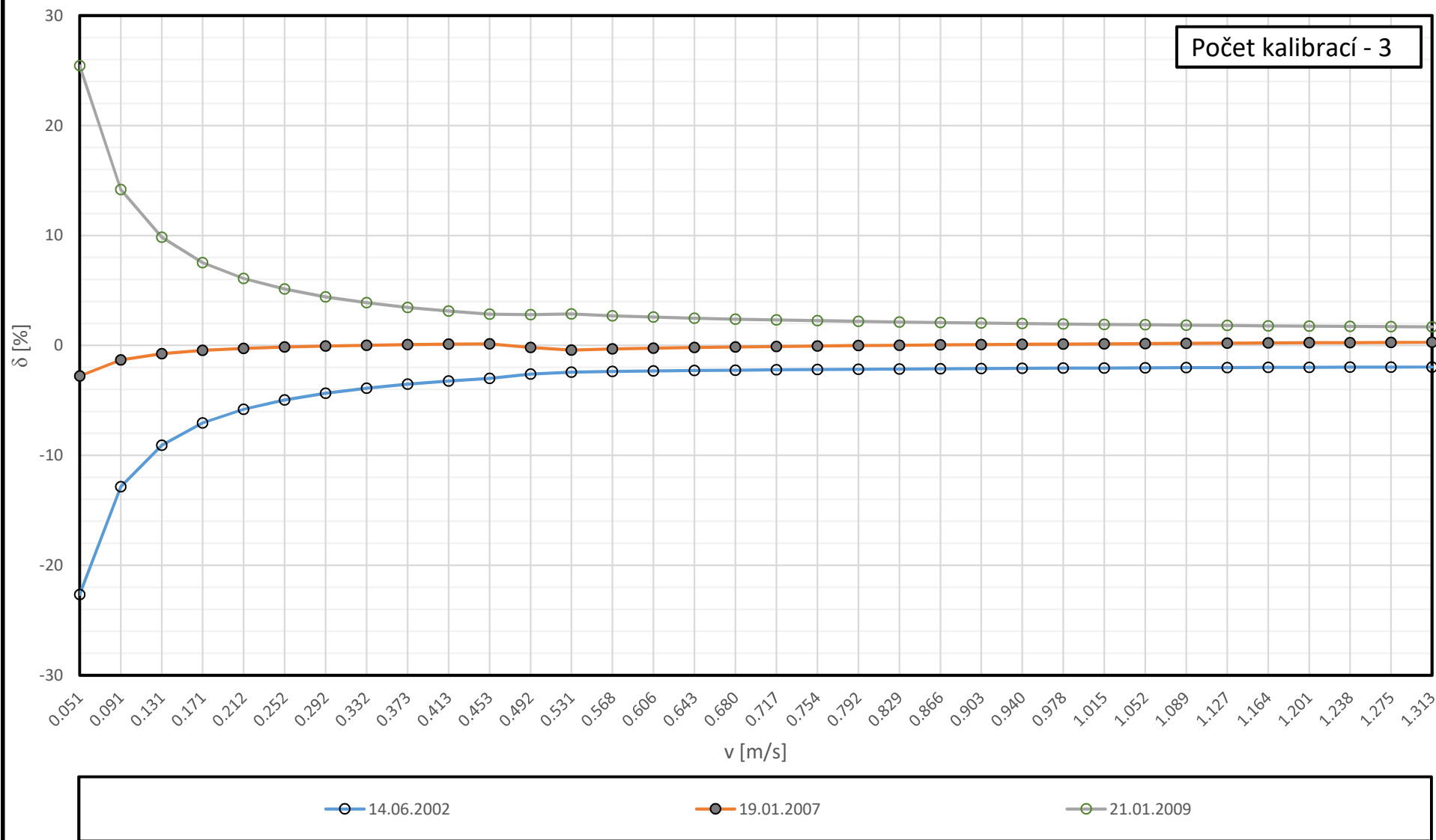
Relativní odchylka jednotlivých kalibrací v závislosti na průměrné rychlosti všech dostupných kalibrací vodoměrné vrtule OTT-C-2, tělo 243915/propeler 5-249827, KOCMAN



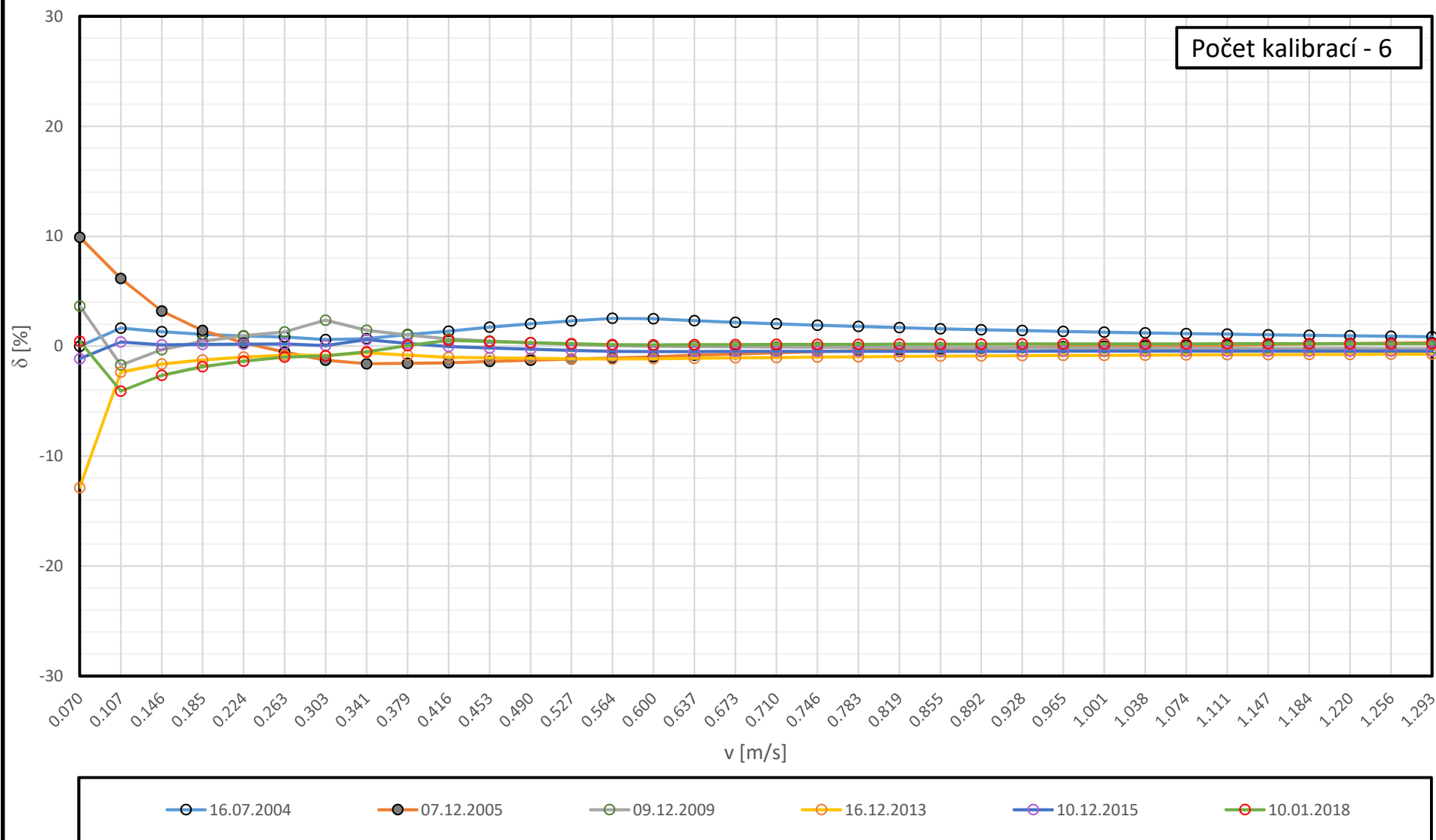
Relativní odchylka jednotlivých kalibrací v závislosti na průměrné rychlosti všech dostupných kalibrací vodoměrné vrtule OTT-C-2, tělo 141762/propeler 5-46276, PVK



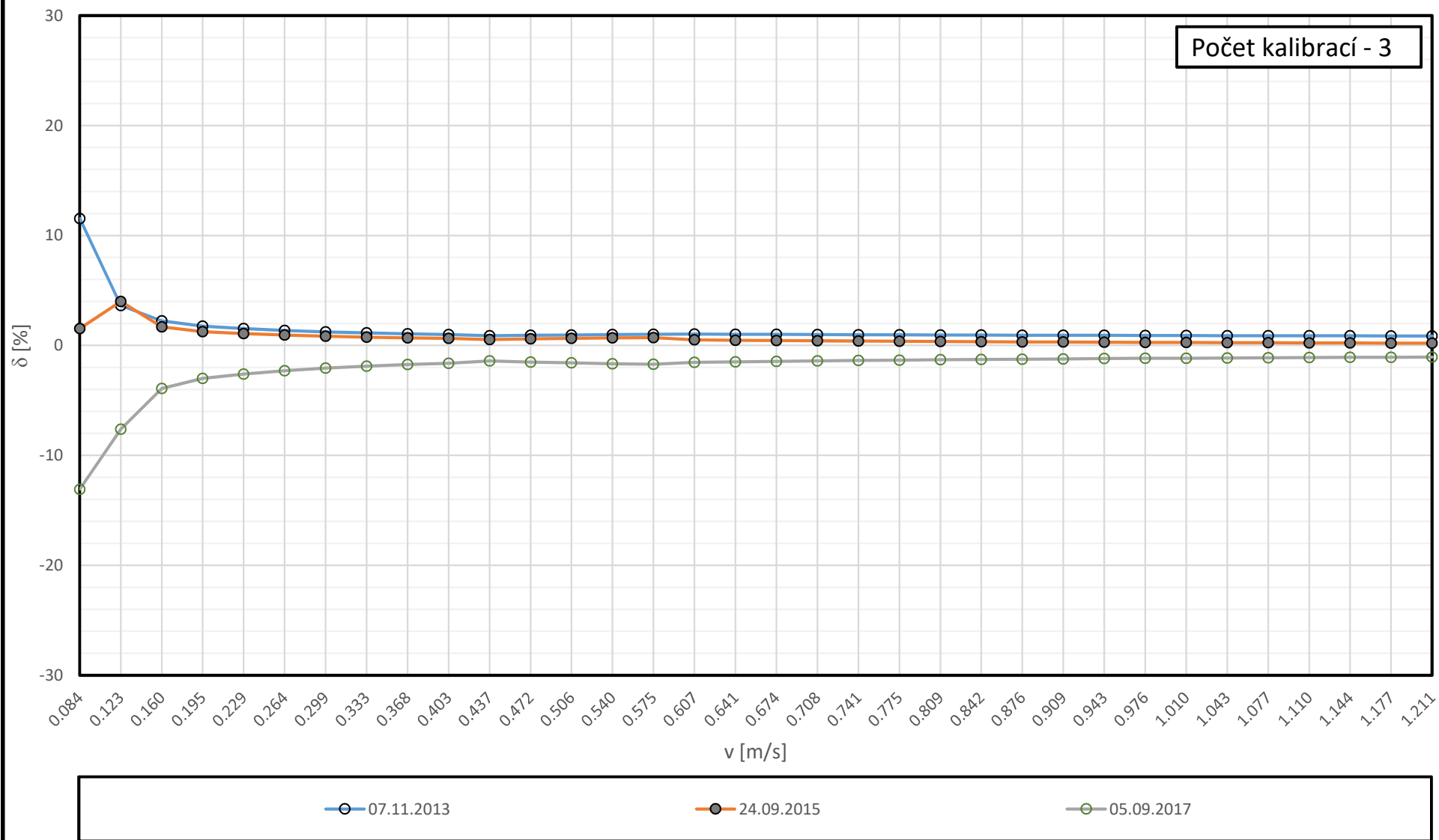
Relativní odchylka jednotlivých kalibrací v závislosti na průměrné rychlosti všech dostupných kalibrací vodoměrné vrtule OTT-C-2, tělo 168876/propeler 5-169321, PVK



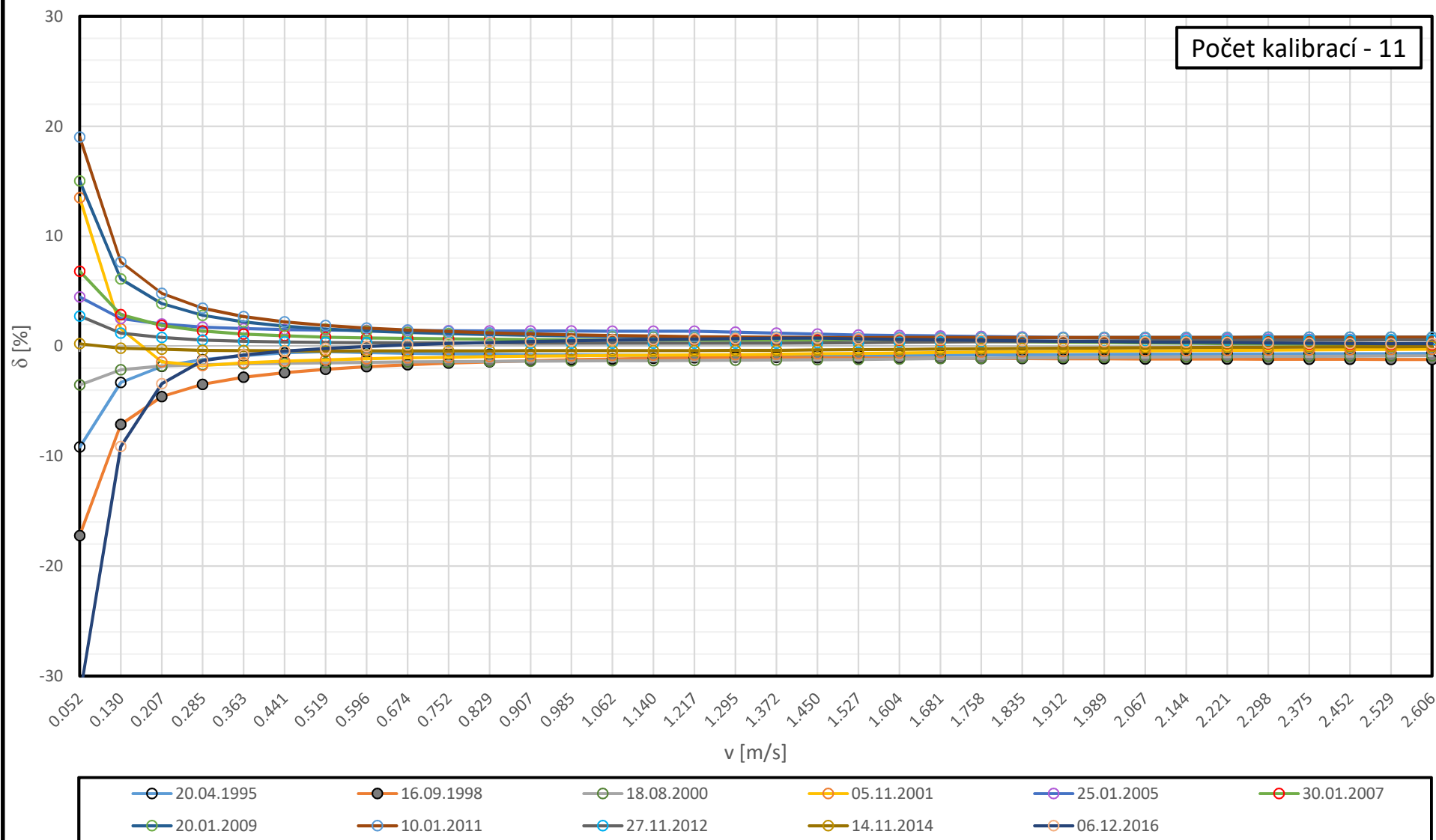
Relativní odchylka jednotlivých kalibrací v závislosti na průměrné rychlosti všech dostupných kalibrací vodoměrné vrtule OTT-C-2, tělo 141736/propeler 5-203490, VAS



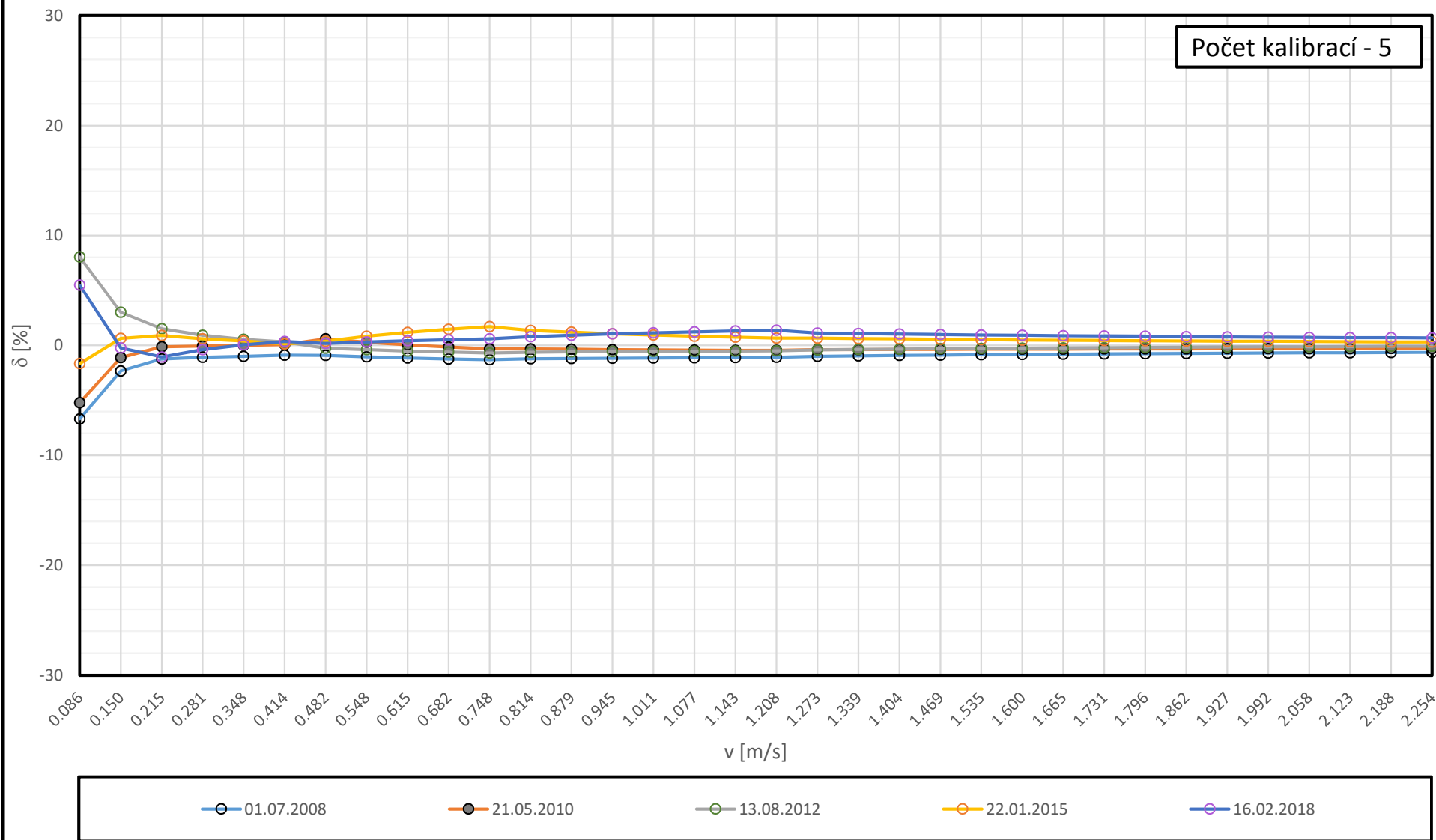
Relativní odchylka jednotlivých kalibrací v závislosti na průměrné rychlosti všech dostupných kalibrací vodoměrné vrtule OTT-C-2, tělo 141768/propeler 5-01, VUT



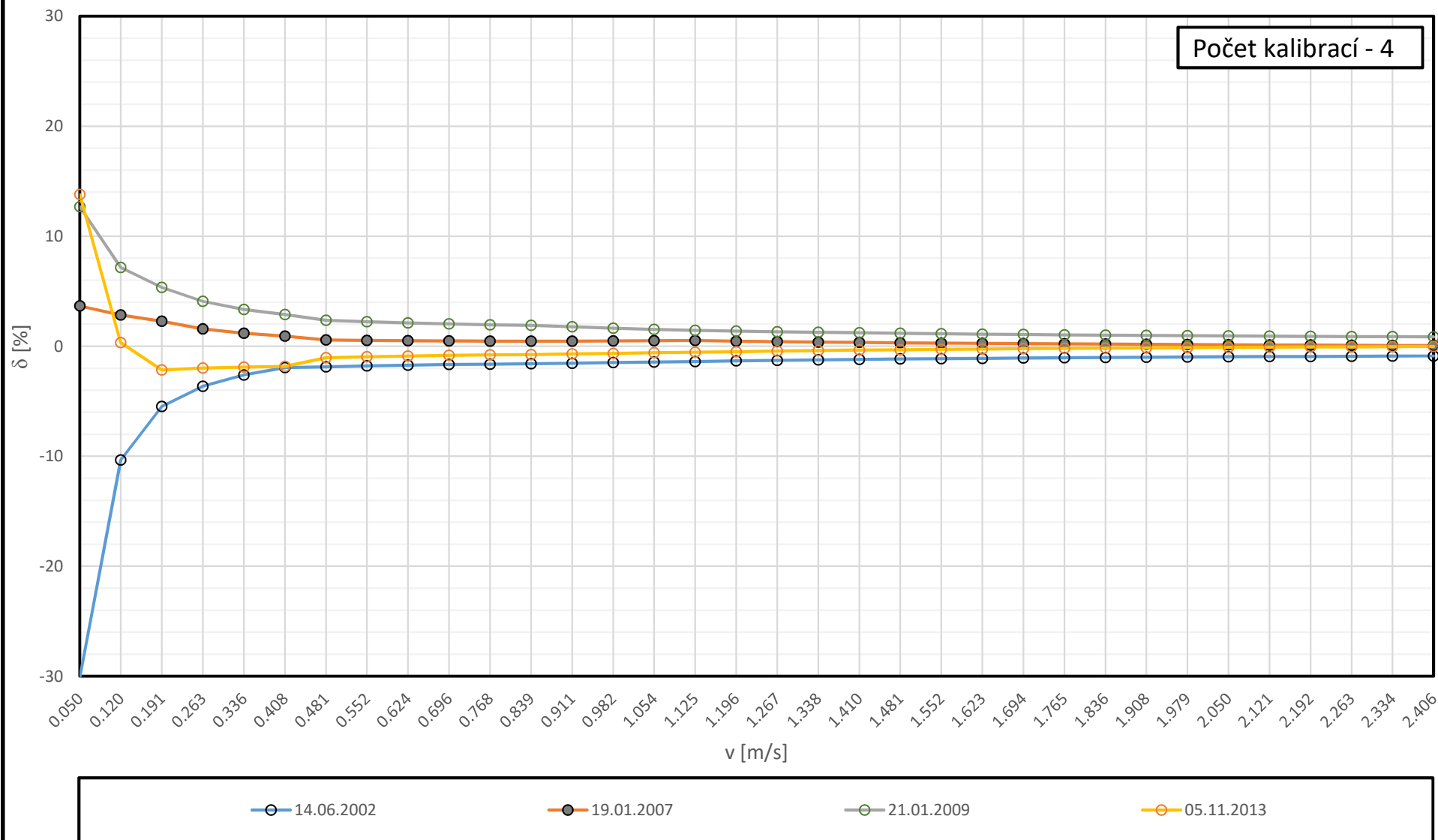
Relativní odchylka jednotlivých kalibrací v závislosti na průměrné rychlosti všech dostupných kalibrací vodoměrné vrtule OTT-C-2, tělo 115285/propeler 6-113168, ČEVAK



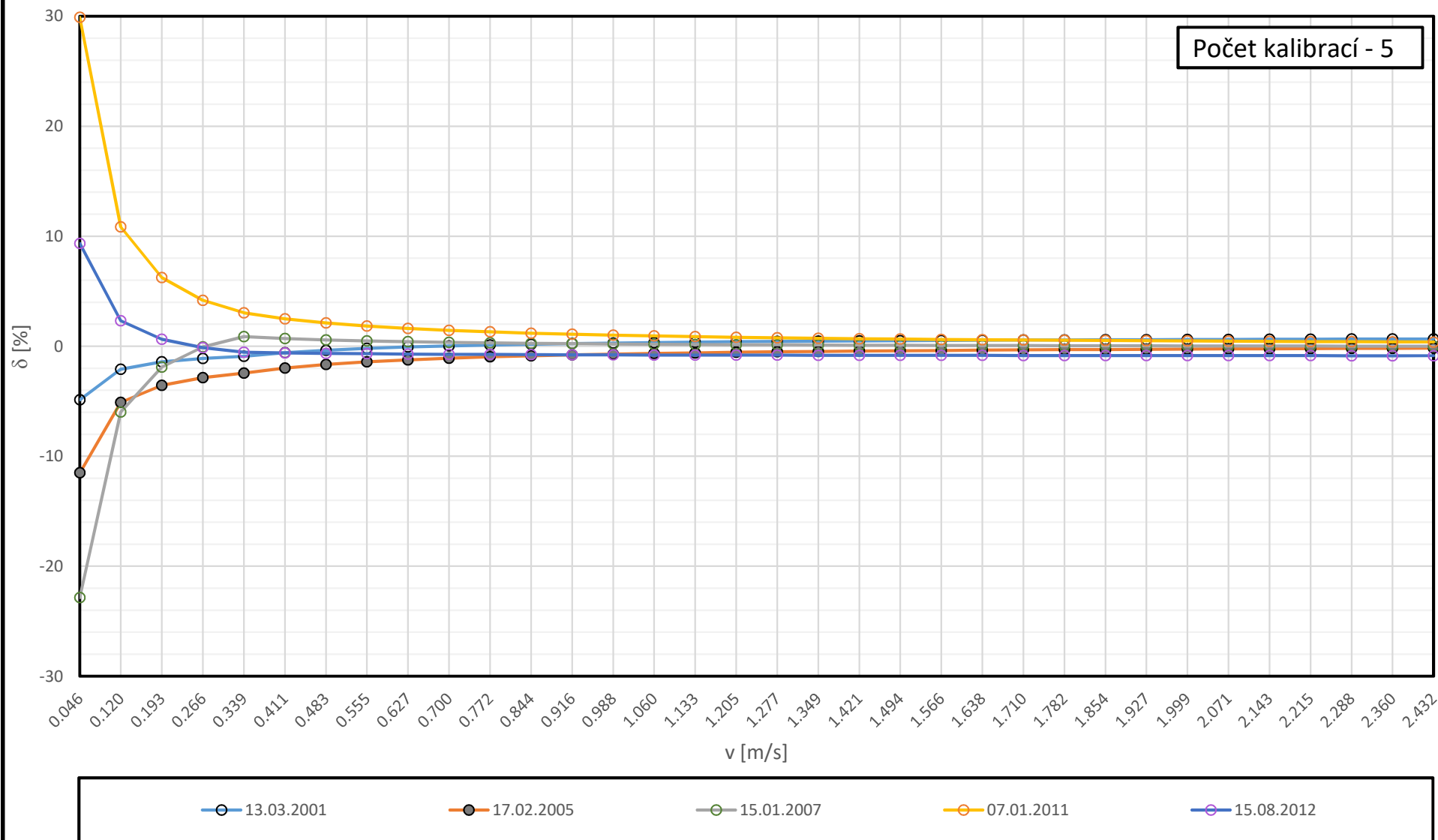
Relativní odchylka jednotlivých kalibrací v závislosti na průměrné rychlosti všech dostupných kalibrací vodoměrné vrtule OTT-C-2, tělo 232210/propeler 6-203507, DHI



Relativní odchylka jednotlivých kalibrací v závislosti na průměrné rychlosti všech dostupných kalibrací vodoměrné vrtule OTT-C-2, tělo 168876/propeler 6-169294, PVK

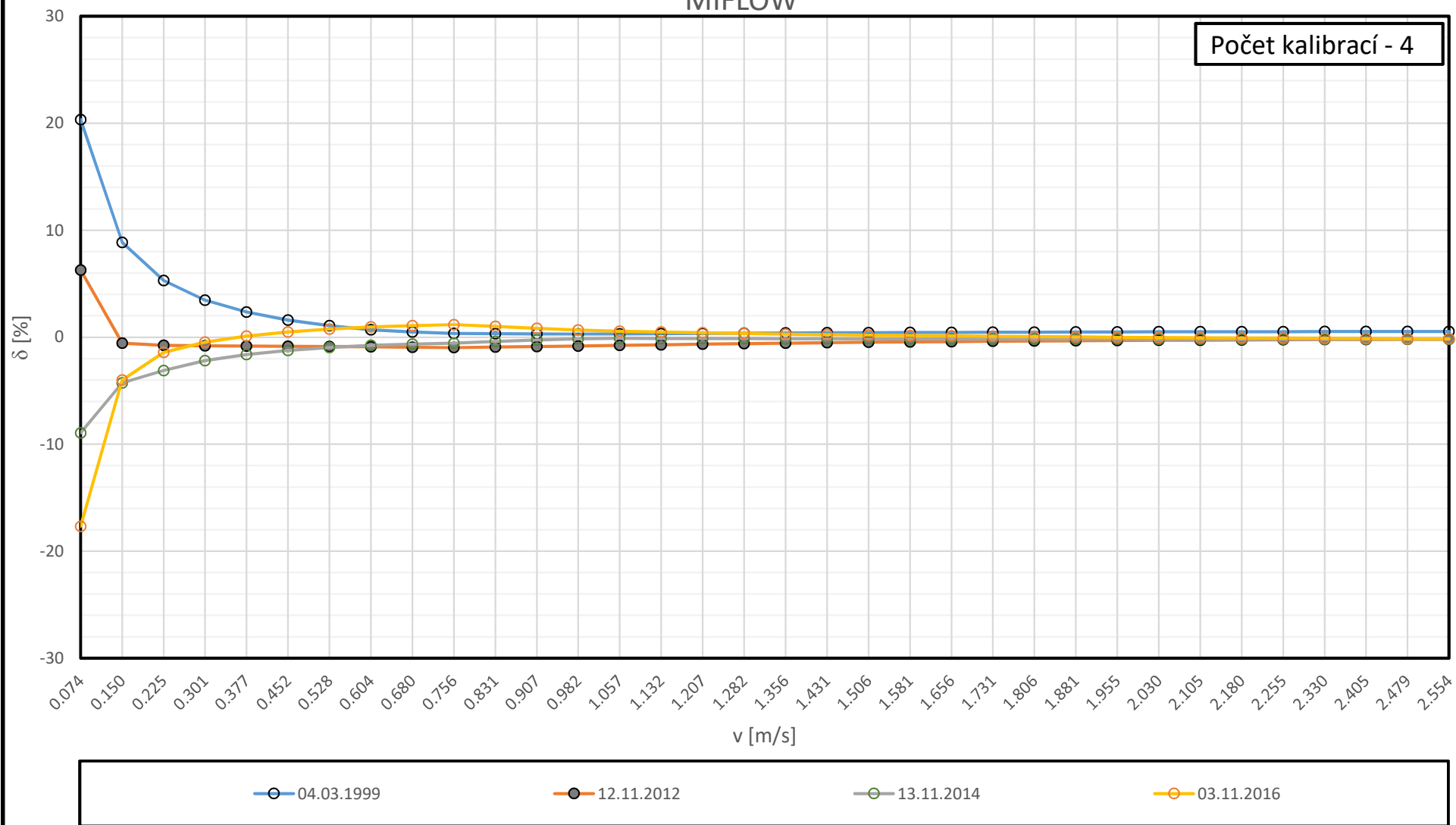


Relativní odchylka jednotlivých kalibrací v závislosti na průměrné rychlosti všech dostupných kalibrací vodoměrné vrtule OTT-C-2, tělo 141762/propeler 6-144976, PVK

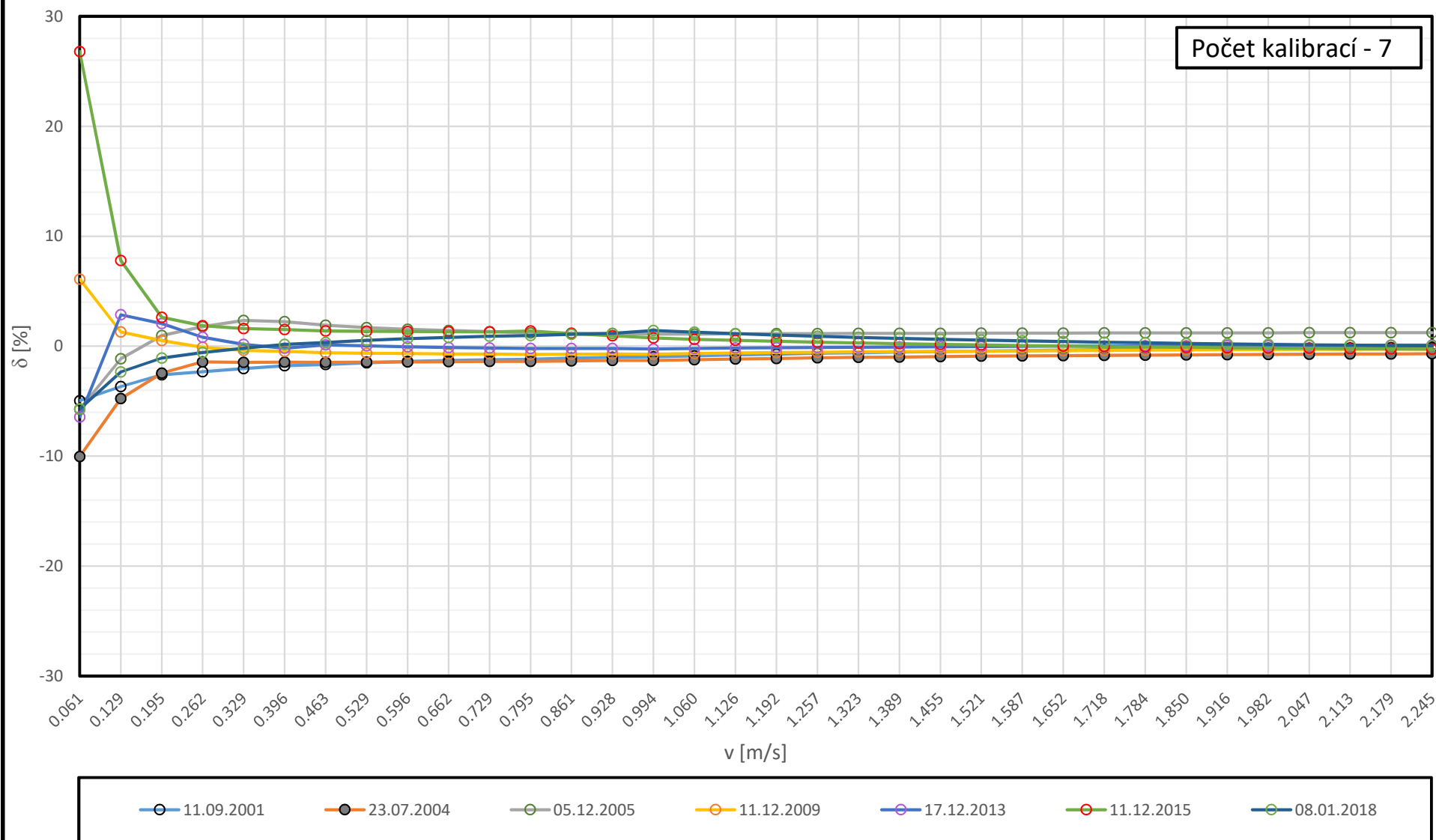


Relativní odchylka jednotlivých kalibrací v závislosti na průměrné rychlosti všech dostupných kalibrací vodoměrné vrtule OTT-C-2, tělo 106087/propeler 6-107411,

MIFLOW



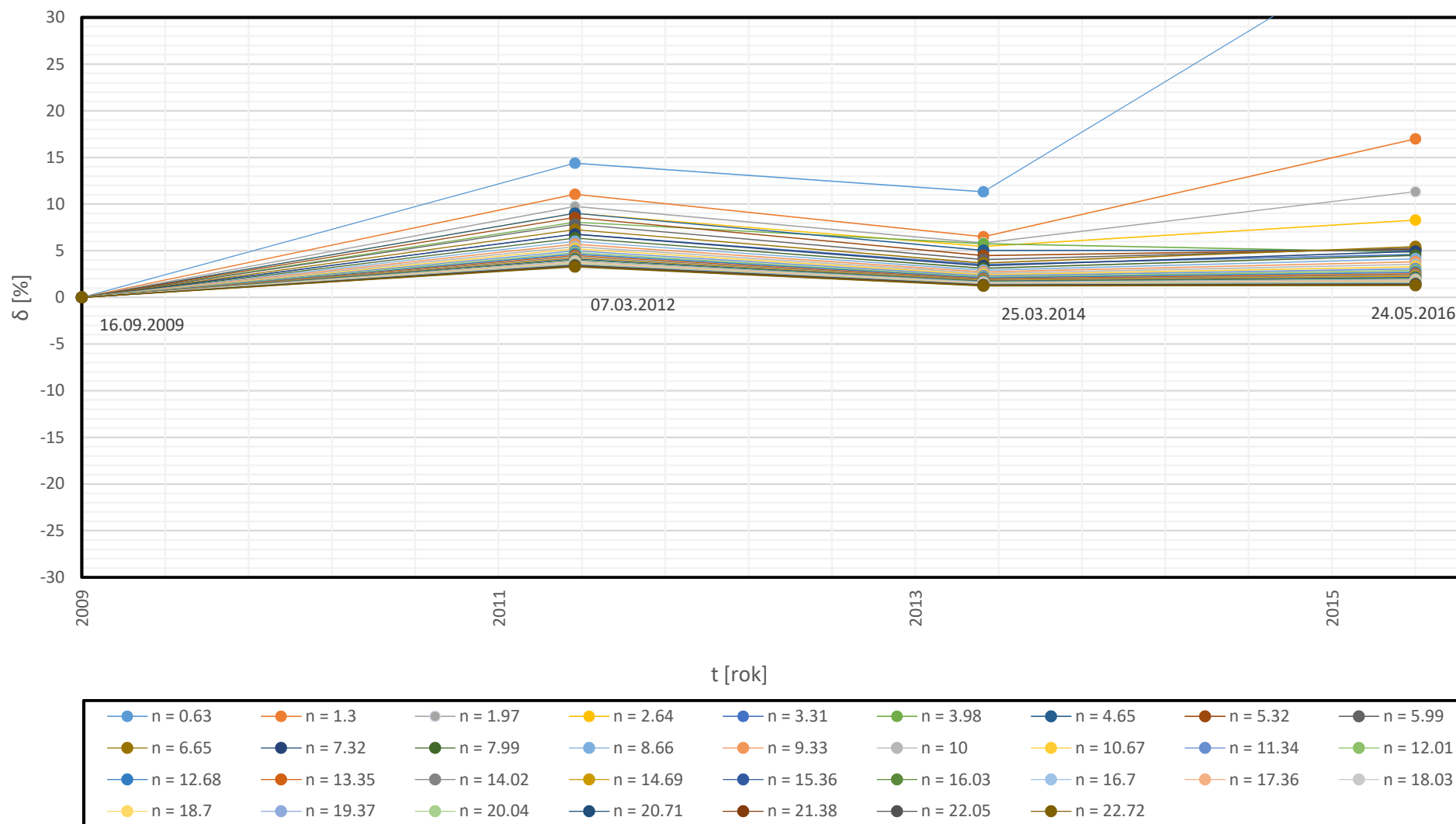
Relativní odchylka jednotlivých kalibrací v závislosti na průměrné rychlosti všech dostupných kalibrací vodoměrné vrtule OTT-C-2, tělo 141736/propeler 6-144977, VAS



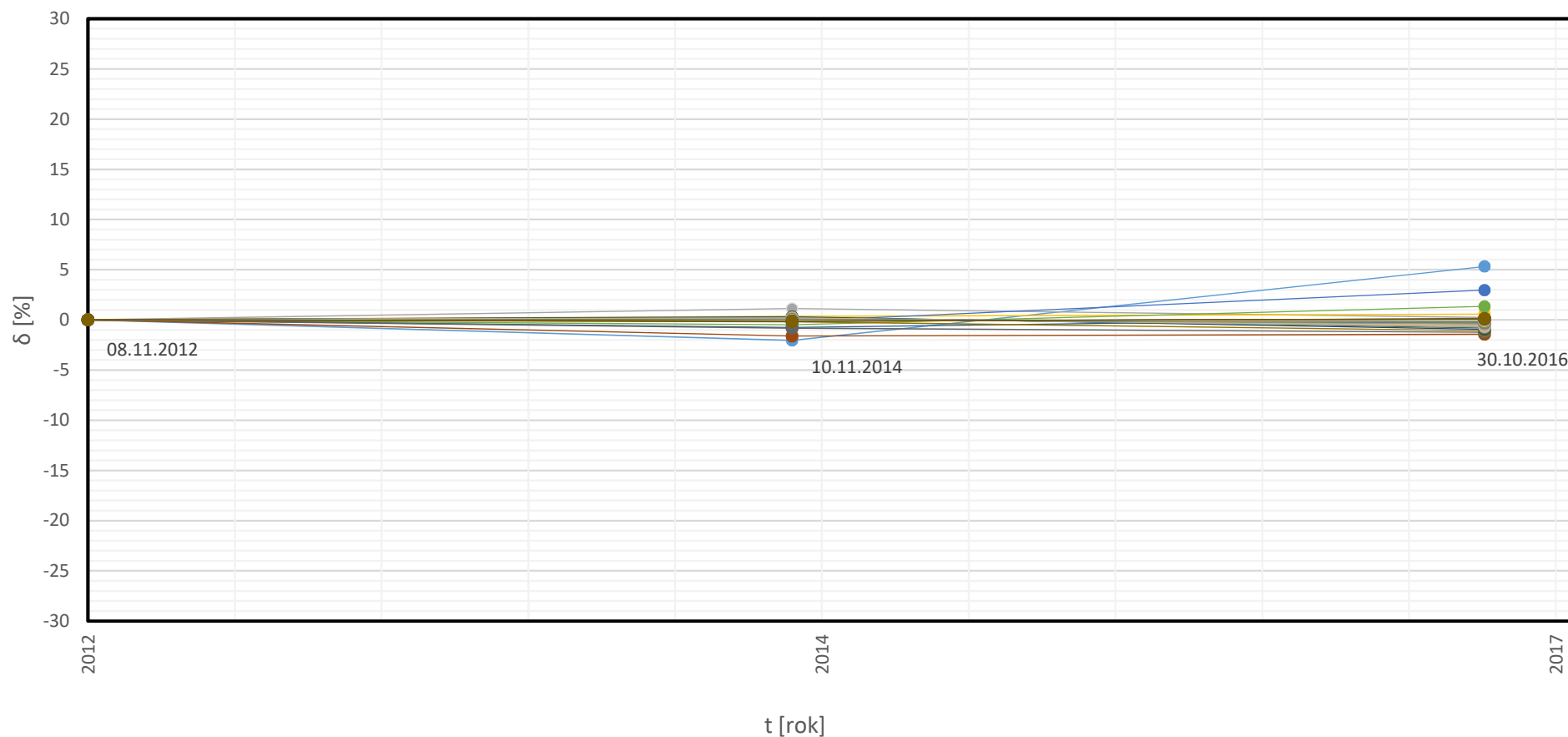
## **PŘÍLOHA P2**

Časový vývoj relativních odchylek rychlostí vodoměrné vrtule pro zvolené otáčky a jednotlivá data kalibrace, vztažený k první prováděné kalibraci

Časový vývoj relativních odchylek rychlostí vodoměrné vrtule  
 OTT-C-2, 243915/propeler 1-241830, pro zvolené otáčky a jednotlivá data kalibrace,  
 vztažený k první prováděné kalibraci, KOCMAN

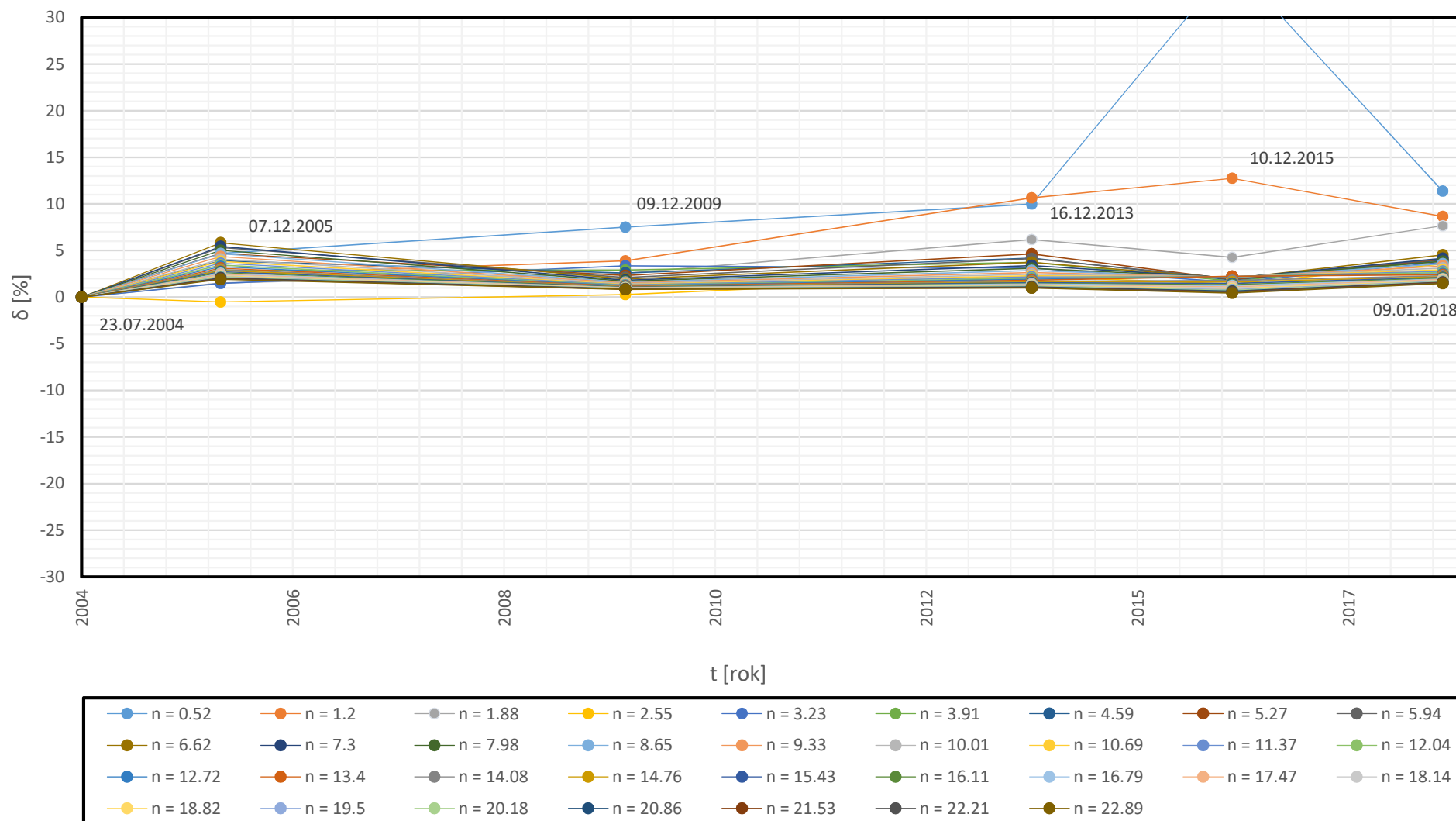


Časový vývoj relativních odchylek rychlostí vodoměrné vrtule  
 OTT-C-2, tělo 106087/propeler V31, pro zvolené otáčky a jednotlivá data kalibrace, vztažený  
 k první prováděné kalibraci, MIFLOW

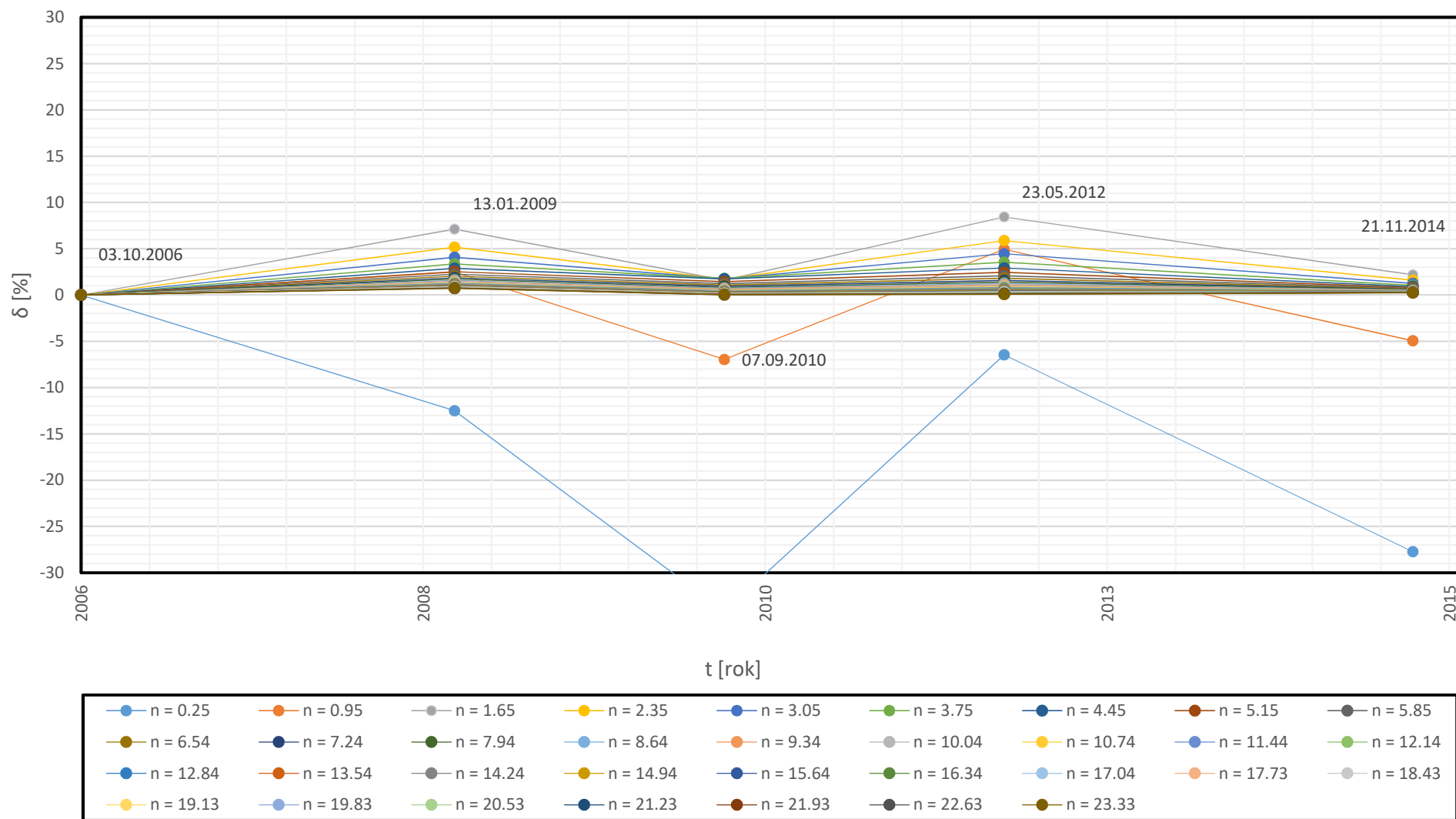


<span style="color: blue;">●</span> $n = 0.77$	<span style="color: orange;">●</span> $n = 1.41$	<span style="color: gray;">●</span> $n = 2.06$	<span style="color: yellow;">●</span> $n = 2.7$	<span style="color: blue;">●</span> $n = 3.35$	<span style="color: green;">●</span> $n = 3.99$	<span style="color: darkblue;">●</span> $n = 4.64$	<span style="color: brown;">●</span> $n = 5.28$	<span style="color: black;">●</span> $n = 5.92$
<span style="color: darkblue;">●</span> $n = 6.57$	<span style="color: darkblue;">●</span> $n = 7.21$	<span style="color: darkgreen;">●</span> $n = 7.86$	<span style="color: lightblue;">●</span> $n = 8.5$	<span style="color: orange;">●</span> $n = 9.15$	<span style="color: gray;">●</span> $n = 9.79$	<span style="color: yellow;">●</span> $n = 10.43$	<span style="color: blue;">●</span> $n = 11.08$	<span style="color: green;">●</span> $n = 11.72$
<span style="color: blue;">●</span> $n = 12.37$	<span style="color: orange;">●</span> $n = 13.01$	<span style="color: gray;">●</span> $n = 13.65$	<span style="color: yellow;">●</span> $n = 14.3$	<span style="color: blue;">●</span> $n = 14.94$	<span style="color: green;">●</span> $n = 15.59$	<span style="color: lightblue;">●</span> $n = 16.23$	<span style="color: orange;">●</span> $n = 16.88$	<span style="color: gray;">●</span> $n = 17.52$
<span style="color: yellow;">●</span> $n = 18.16$	<span style="color: lightblue;">●</span> $n = 18.81$	<span style="color: lightgreen;">●</span> $n = 19.45$	<span style="color: darkblue;">●</span> $n = 20.1$	<span style="color: brown;">●</span> $n = 20.74$	<span style="color: black;">●</span> $n = 21.39$	<span style="color: darkblue;">●</span> $n = 22.03$		

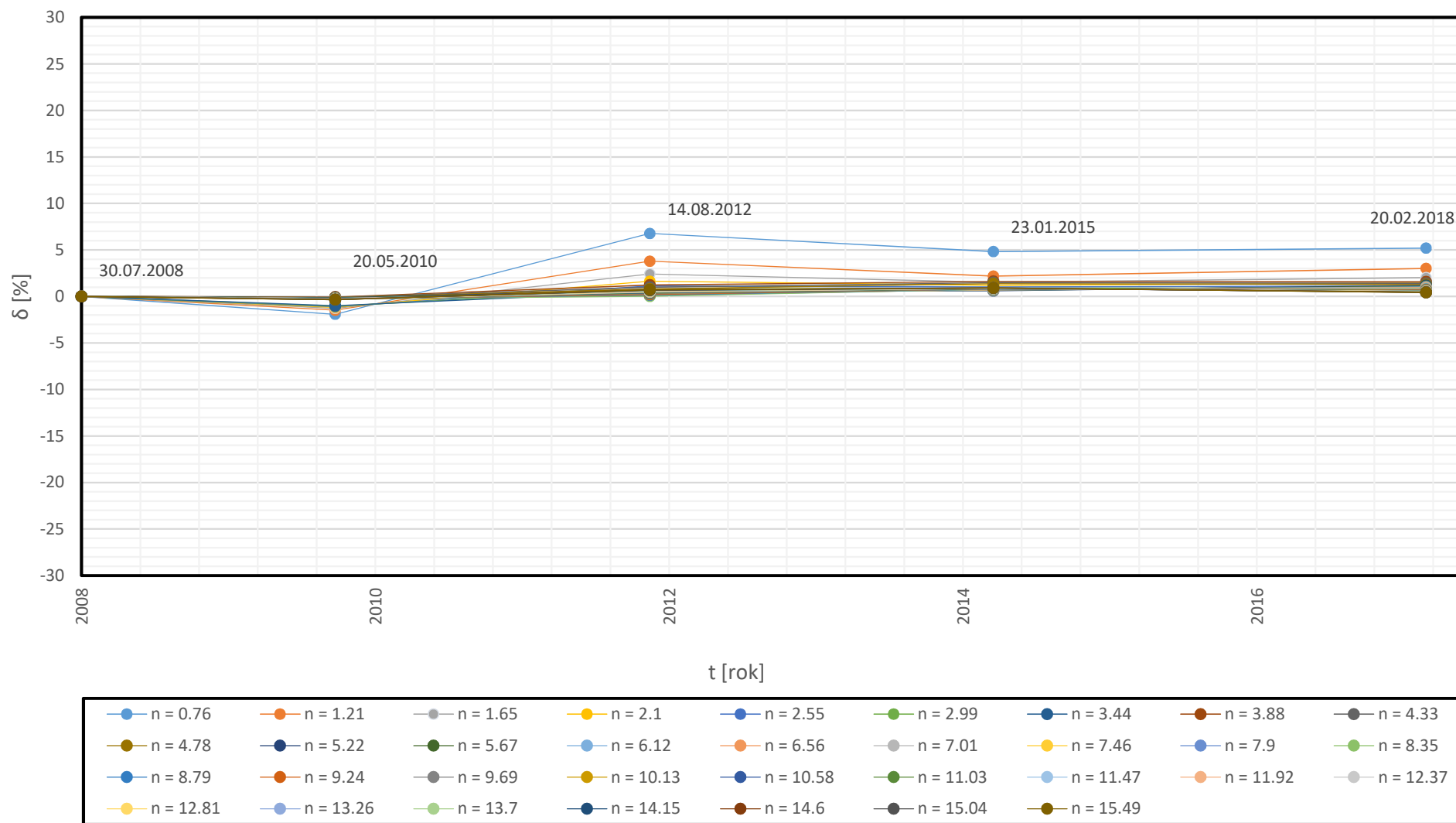
Časový vývoj relativních odchylek rychlostí vodoměrné vrtule  
 OTT-C-2, tělo 169249/propeler 1-141763, pro zvolené otáčky a jednotlivá data kalibrace,  
 vztažený k první prováděné kalibraci, VAS



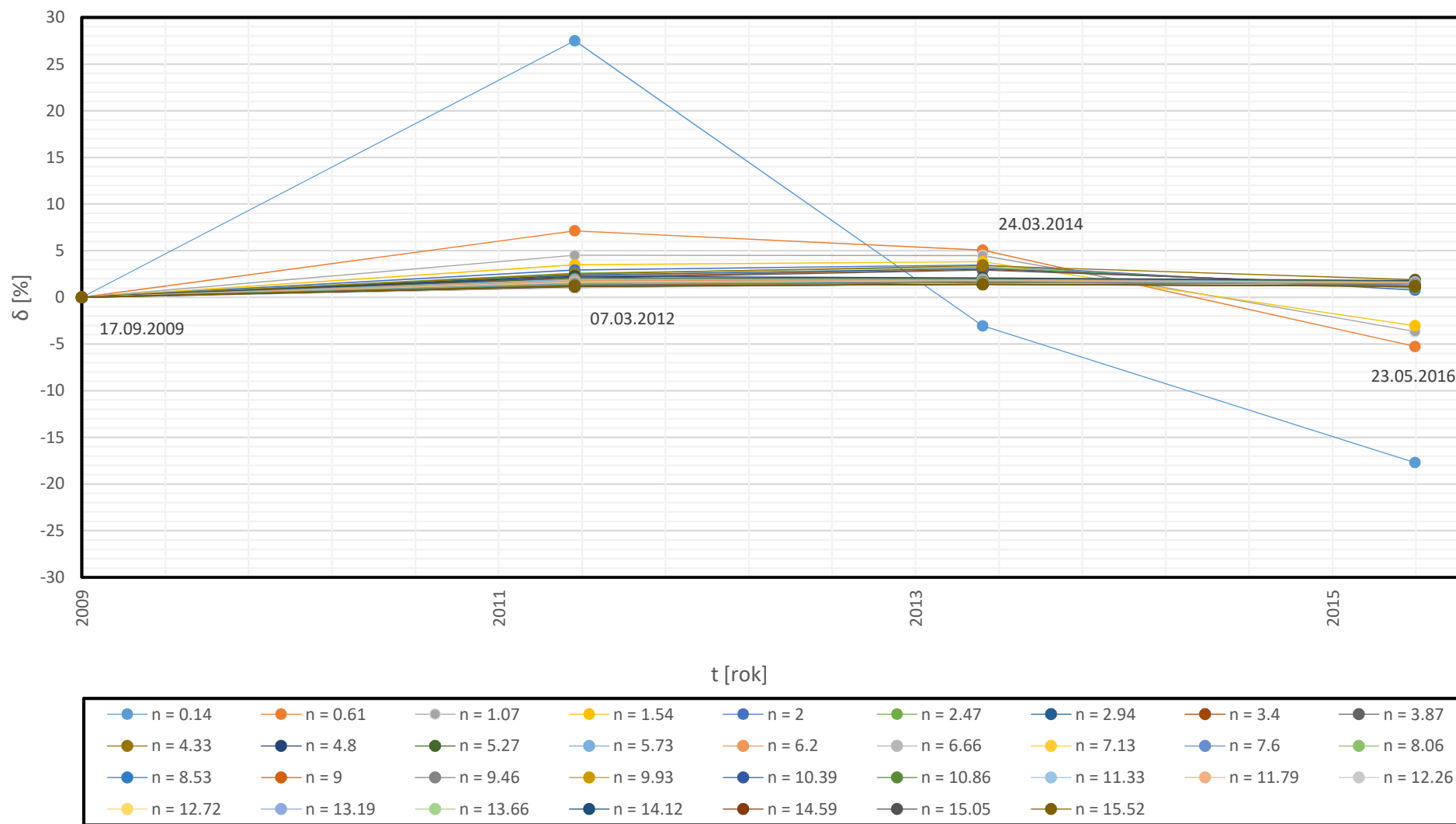
Časový vývoj relativních odchylek rychlostí vodoměrné vrtule  
 OTT-C-2, tělo 129865/propeler 2-81093, pro zvolené otáčky a jednotlivá data kalibrace,  
 vztažený k první prováděné kalibraci, ČHMÚ



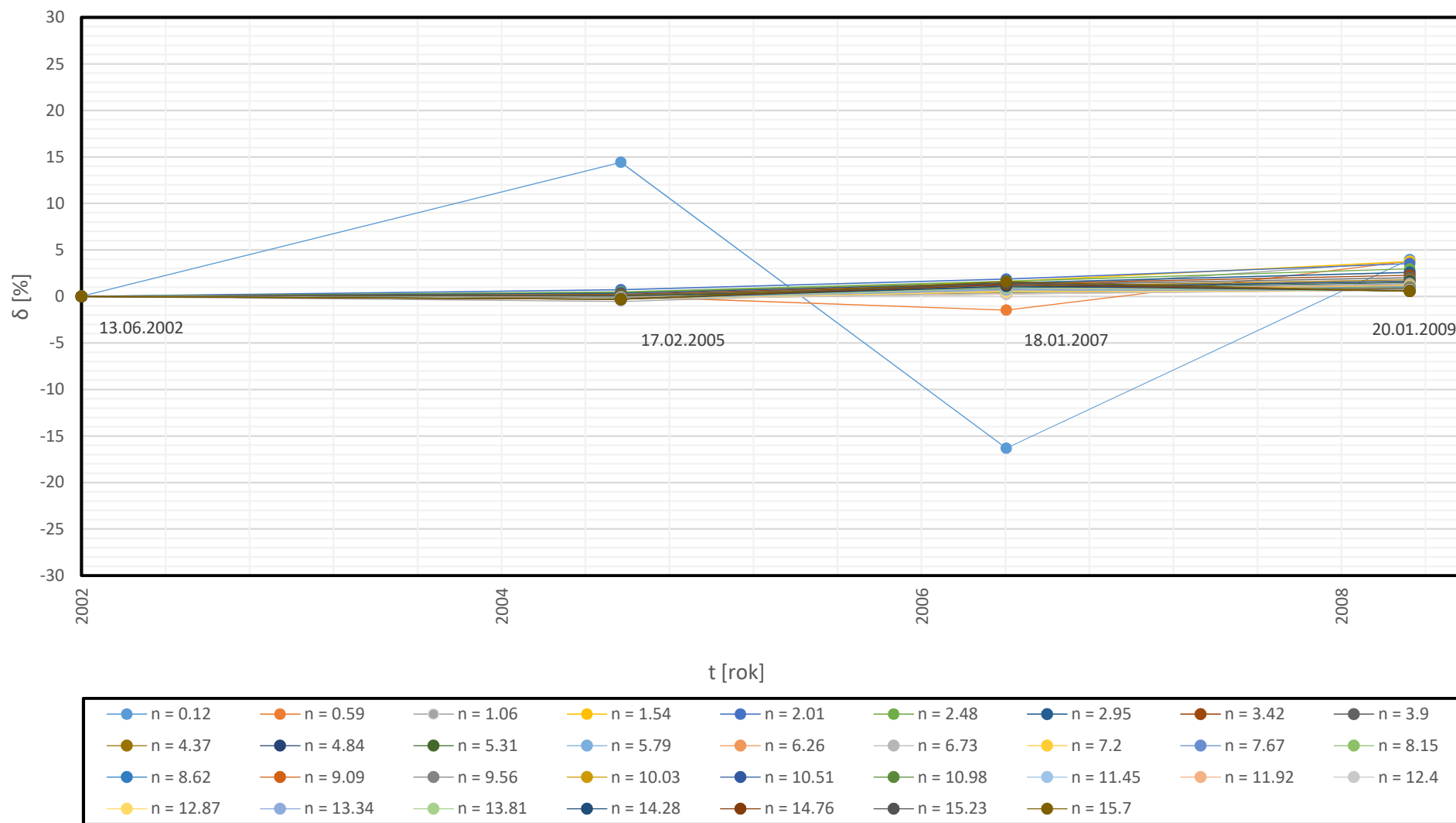
Časový vývoj relativních odchylek rychlostí vodoměrné vrtule  
 OTT-C-2, tělo 232210/propeler 3-232106, pro zvolené otáčky a jednotlivá data kalibrace,  
 vztažený k první prováděné kalibraci, DHI



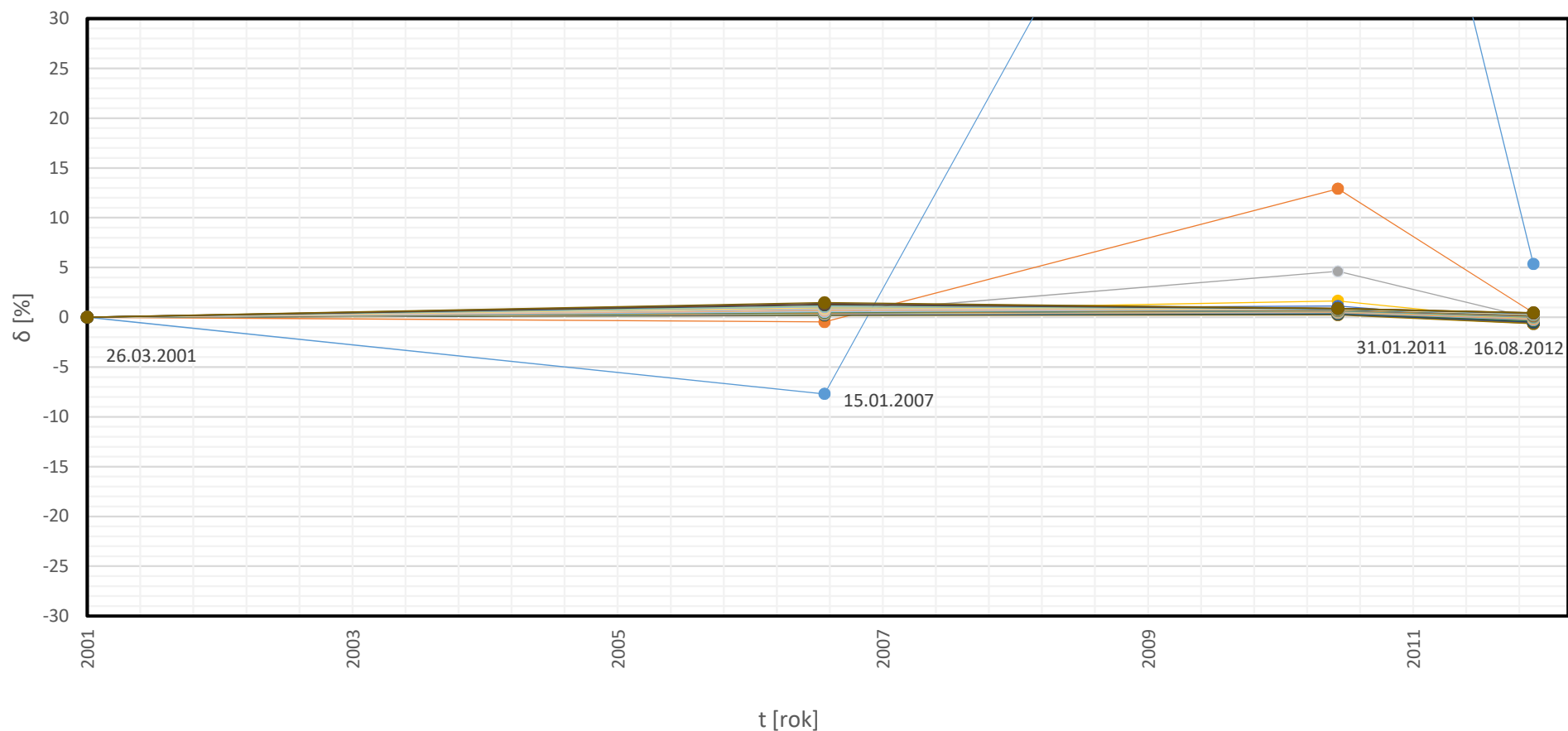
Časový vývoj relativních odchylek rychlostí vodoměrné vrtule  
 OTT-C-2, 243915/propeler 3-244256, pro zvolené otáčky a jednotlivá data kalibrace,  
 vztažený k první prováděné kalibraci, KOCMAN



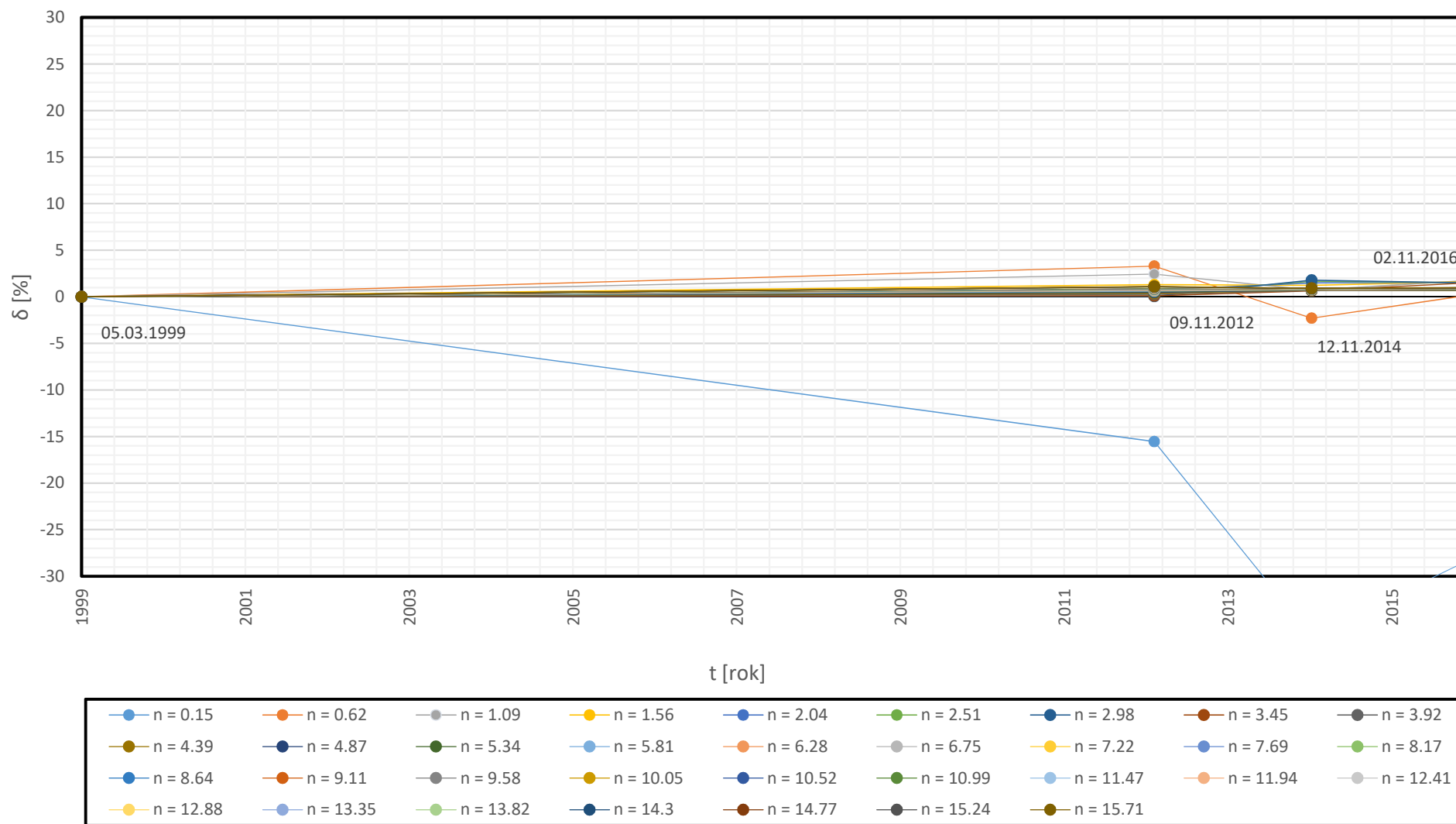
Časový vývoj relativních odchylek rychlostí vodoměrné vrtule  
 OTT-C-2, tělo 168876/propeler 3-169558, pro zvolené otáčky a jednotlivá data kalibrace,  
 vztažený k první prováděné kalibraci, PVK



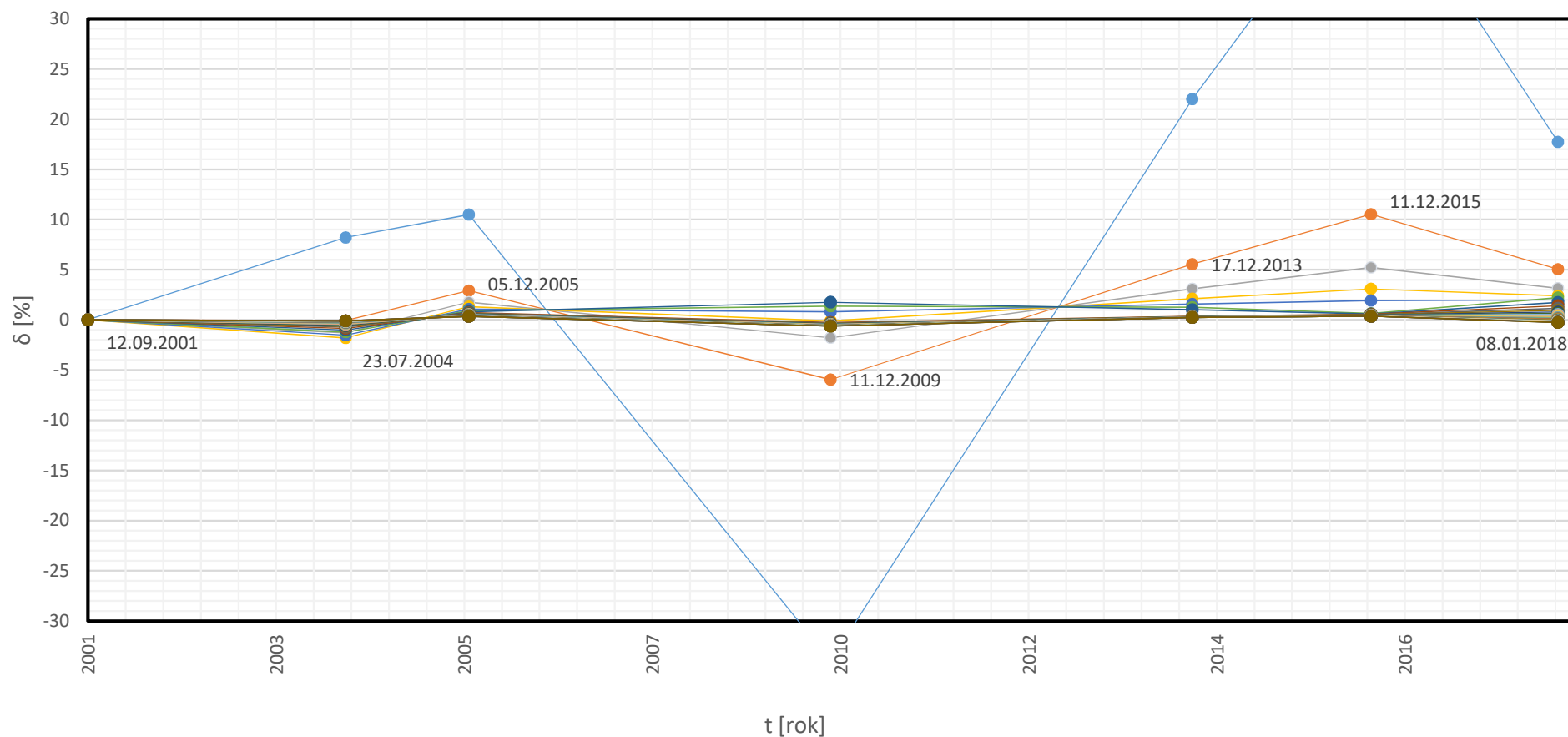
Časový vývoj relativních odchylek rychlostí vodoměrné vrtule  
 OTT-C-2, tělo 141762/propeler 3-147132, pro zvolené otáčky a jednotlivá data kalibrace,  
 vztažený k první prováděné kalibraci, PVK



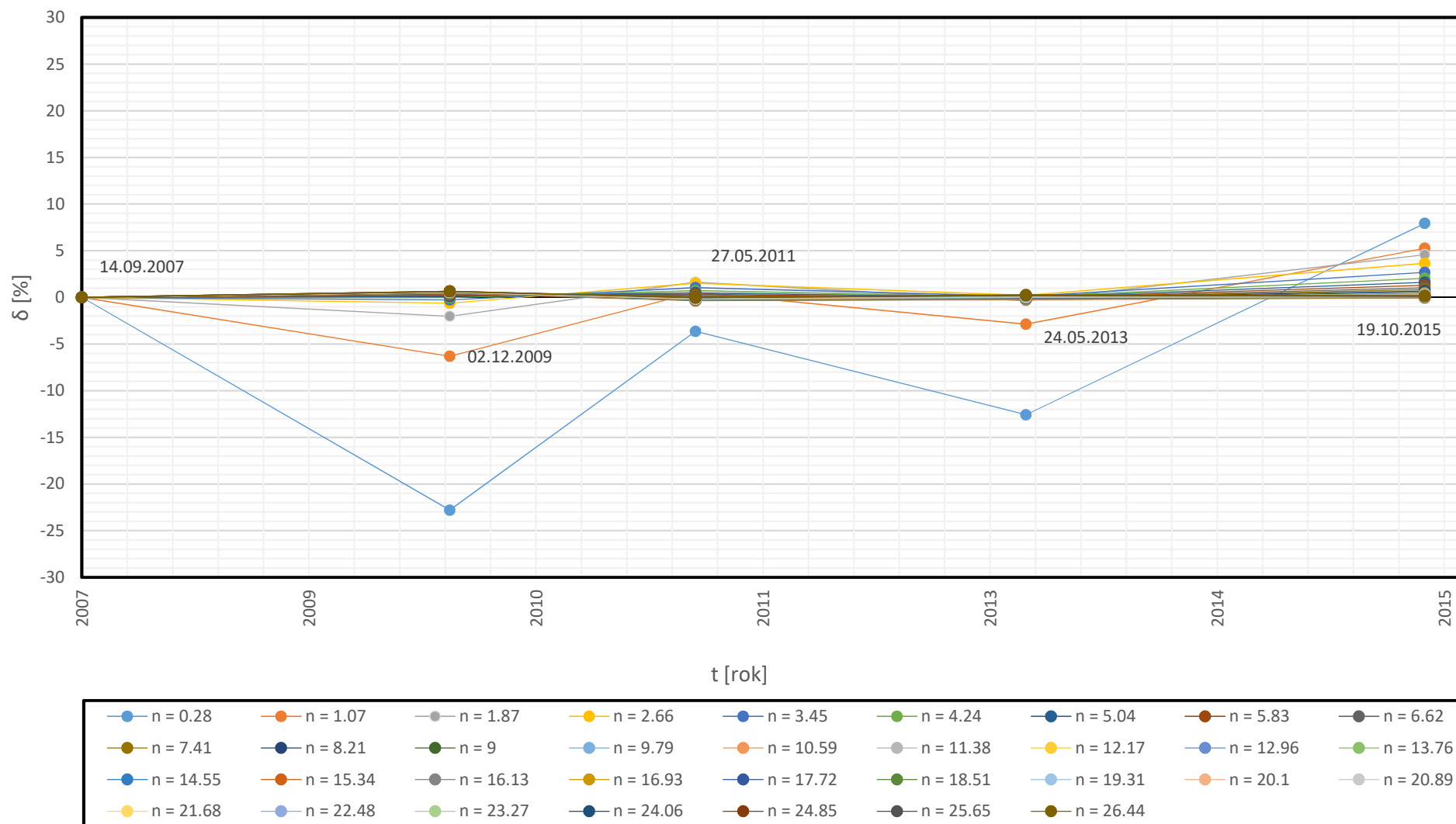
Časový vývoj relativních odchylek rychlostí vodoměrné vrtule  
 OTT-C-2, tělo 106087/propeler 3-107327, pro zvolené otáčky a jednotlivá data kalibrace,  
 vztažený k první prováděné kalibraci, MIFLOW



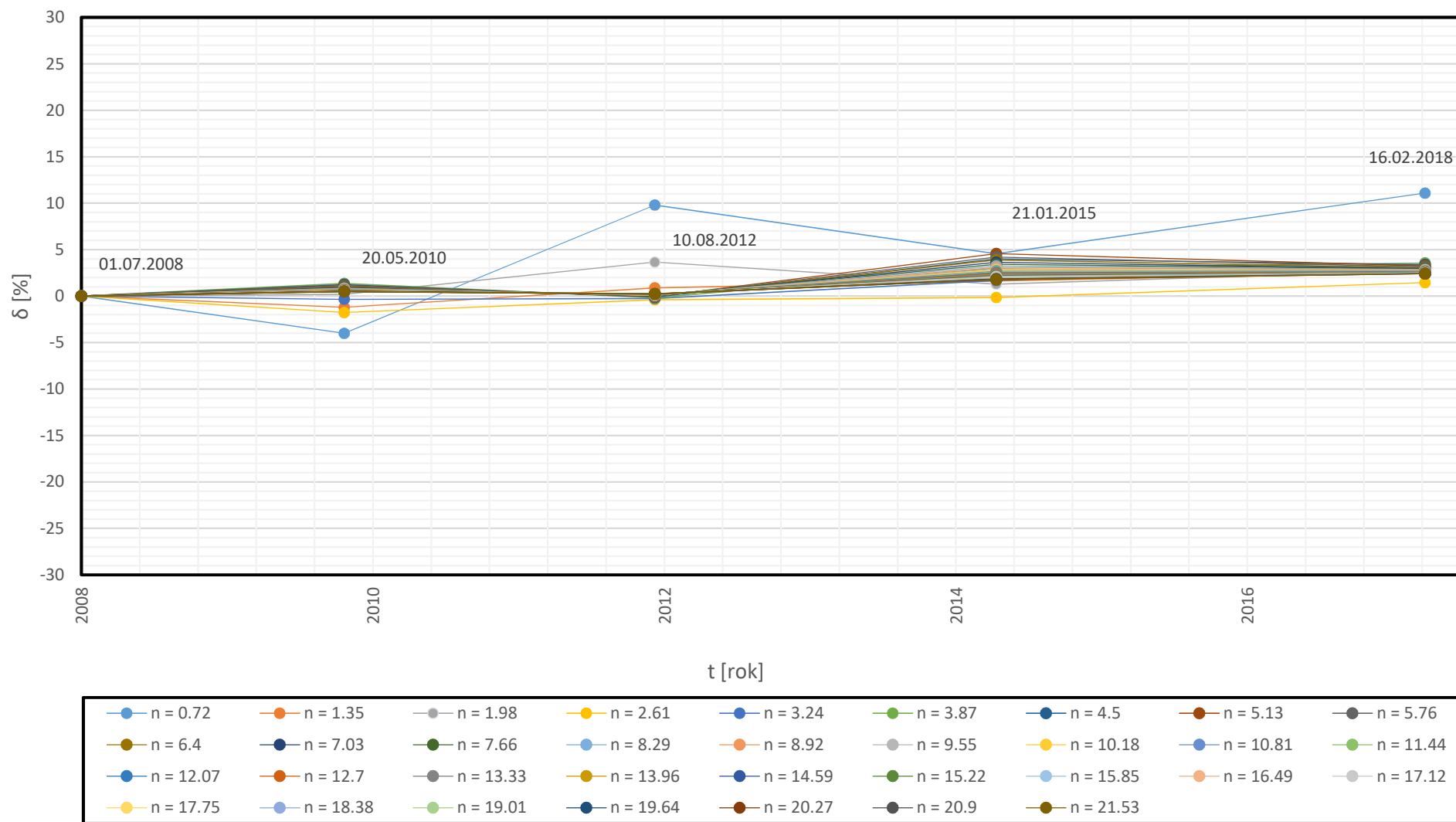
Časový vývoj relativních odchylek rychlostí vodoměrné vrtule  
OTT-C-2, tělo 141736/propeler 3-141733, pro zvolené otáčky a jednotlivá data kalibrace,  
vztažený k první prováděné kalibraci, VAS



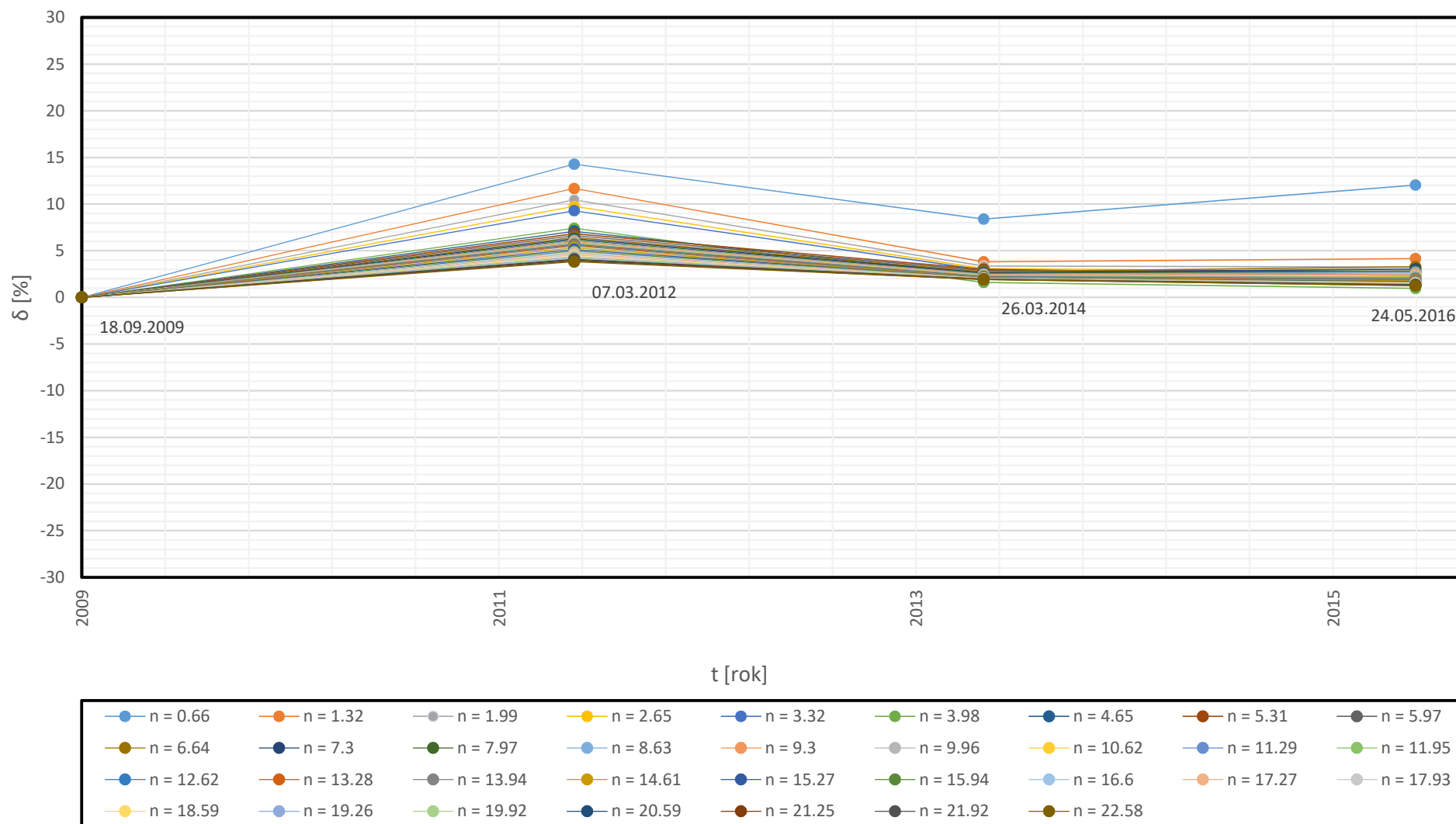
Časový vývoj relativních odchylek rychlostí vodoměrné vrtule  
 OTT-C-31, tělo 54776/propeler 4-55706, pro zvolené otáčky a jednotlivá data kalibrace,  
 vztažený k první prováděné kalibraci, ČHMÚ



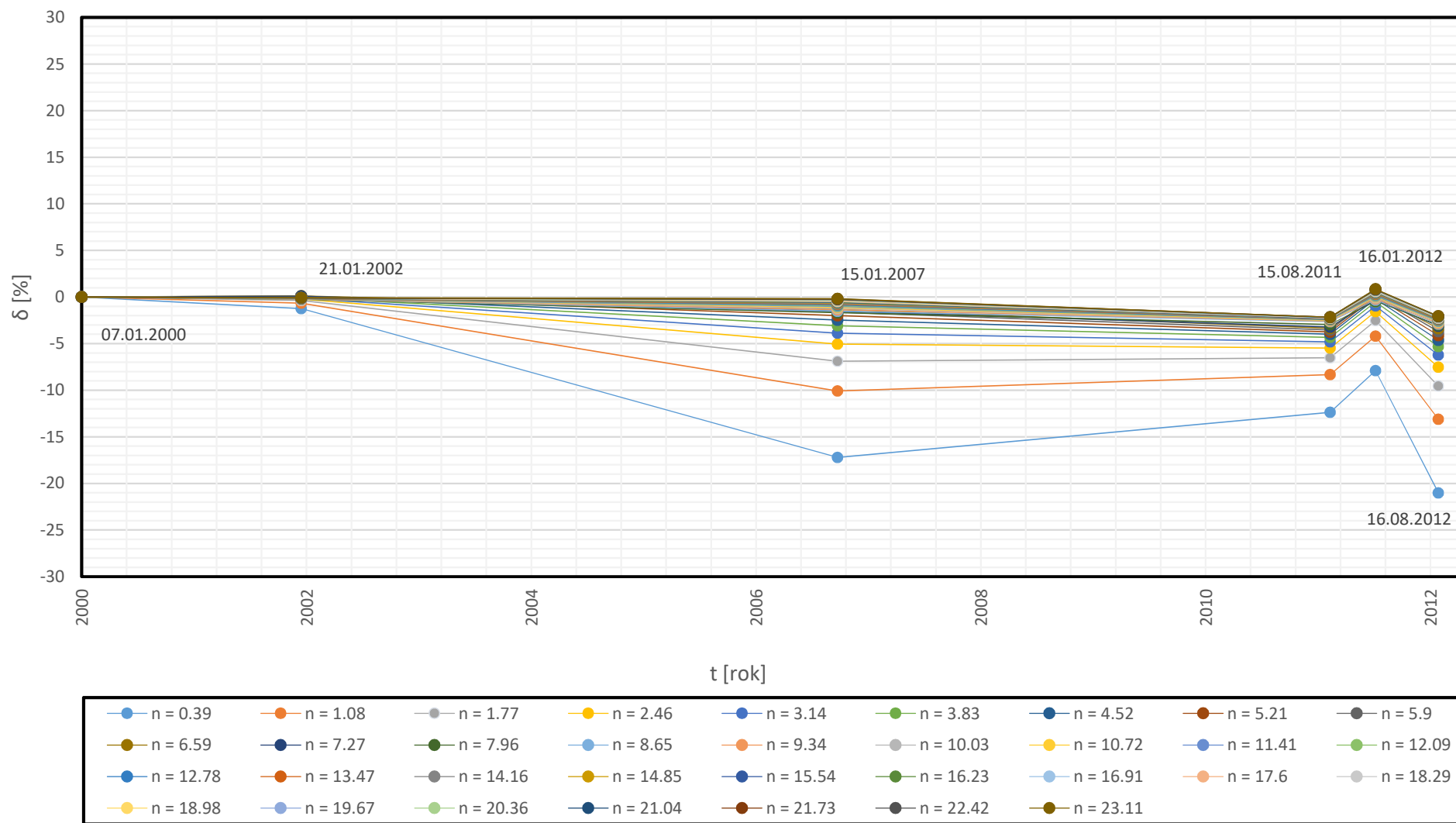
Časový vývoj relativních odchylek rychlostí vodoměrné vrtule  
 OTT-C-2, tělo 232210/propeler 5-212753, pro zvolené otáčky a jednotlivá data kalibrace,  
 vztažený k první prováděné kalibraci, DHI



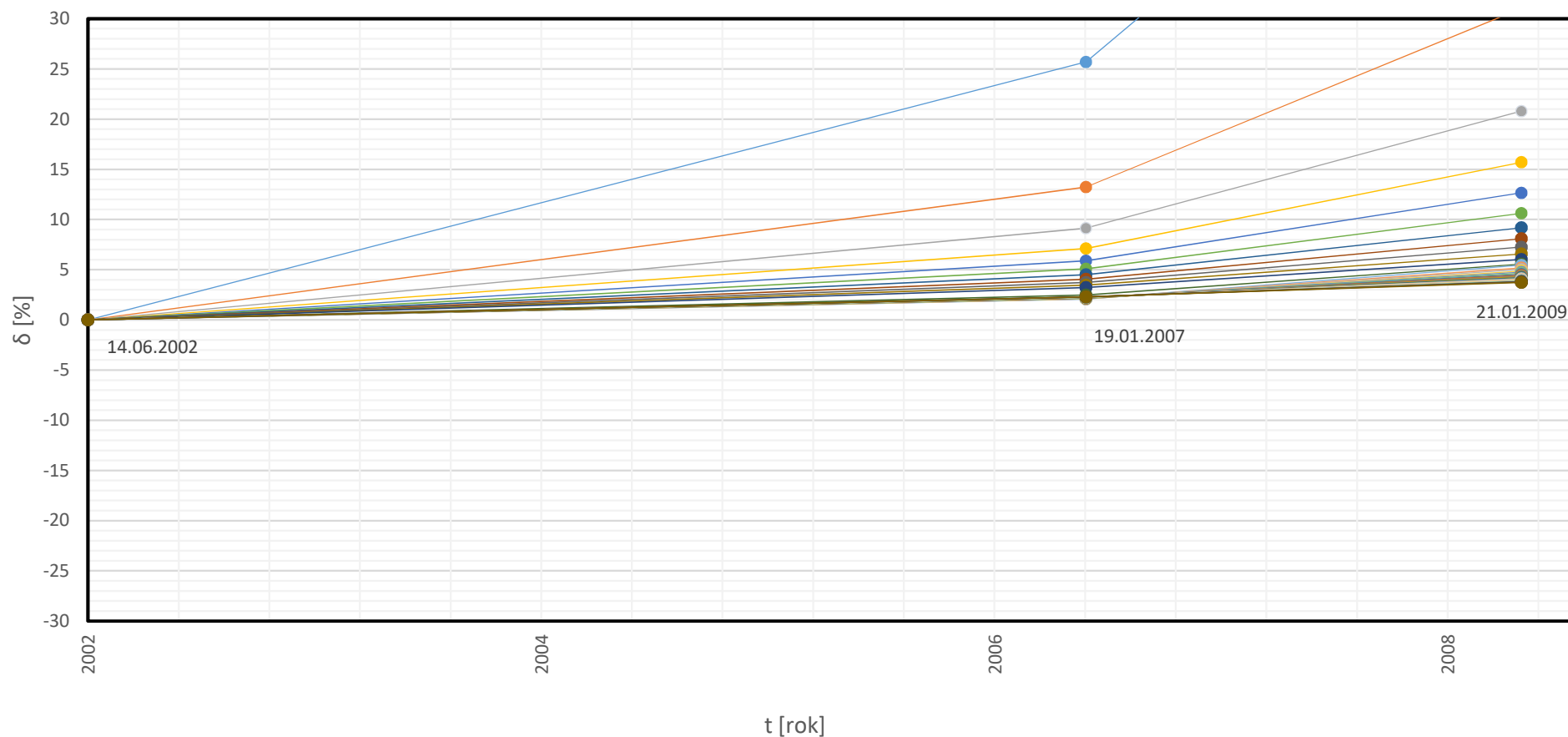
Časový vývoj relativních odchylek rychlostí vodoměrné vrtule  
 OTT-C-2, 243915/propeler 5-249827, pro zvolené otáčky a jednotlivá data kalibrace,  
 vztažený k první prováděné kalibraci, KOCMAN



Časový vývoj relativních odchylek rychlostí vodoměrné vrtule  
 OTT-C-2, tělo 115285/propeler 6-113168, pro zvolené otáčky a jednotlivá data kalibrace,  
 vztažený k první prováděné kalibraci, ČEVAK

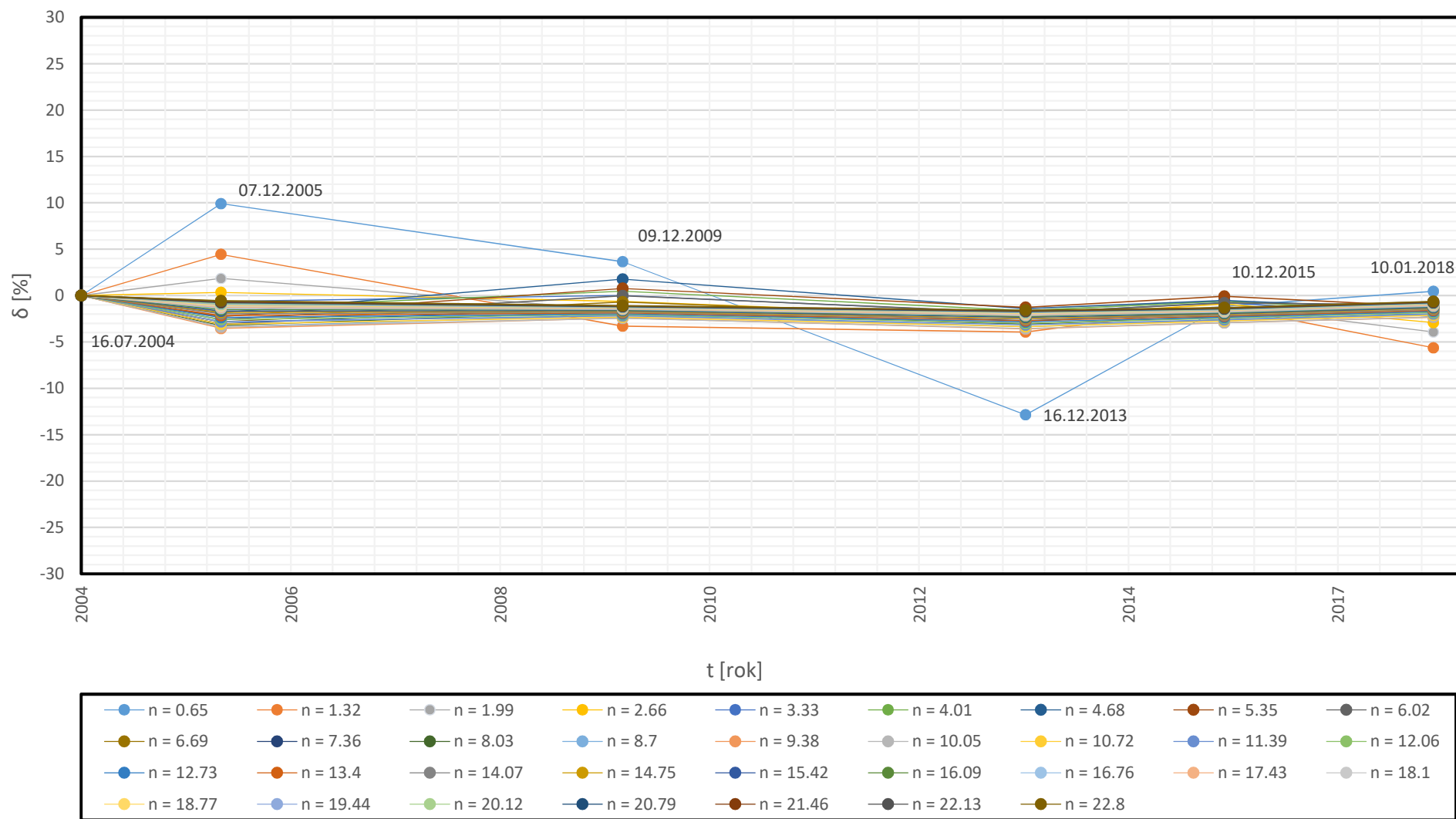


Časový vývoj relativních odchylek rychlostí vodoměrné vrtule  
 OTT-C-2, tělo 168876/propeler 5-169321, pro zvolené otáčky a jednotlivá data kalibrace,  
 vztažený k první prováděné kalibraci, PVK

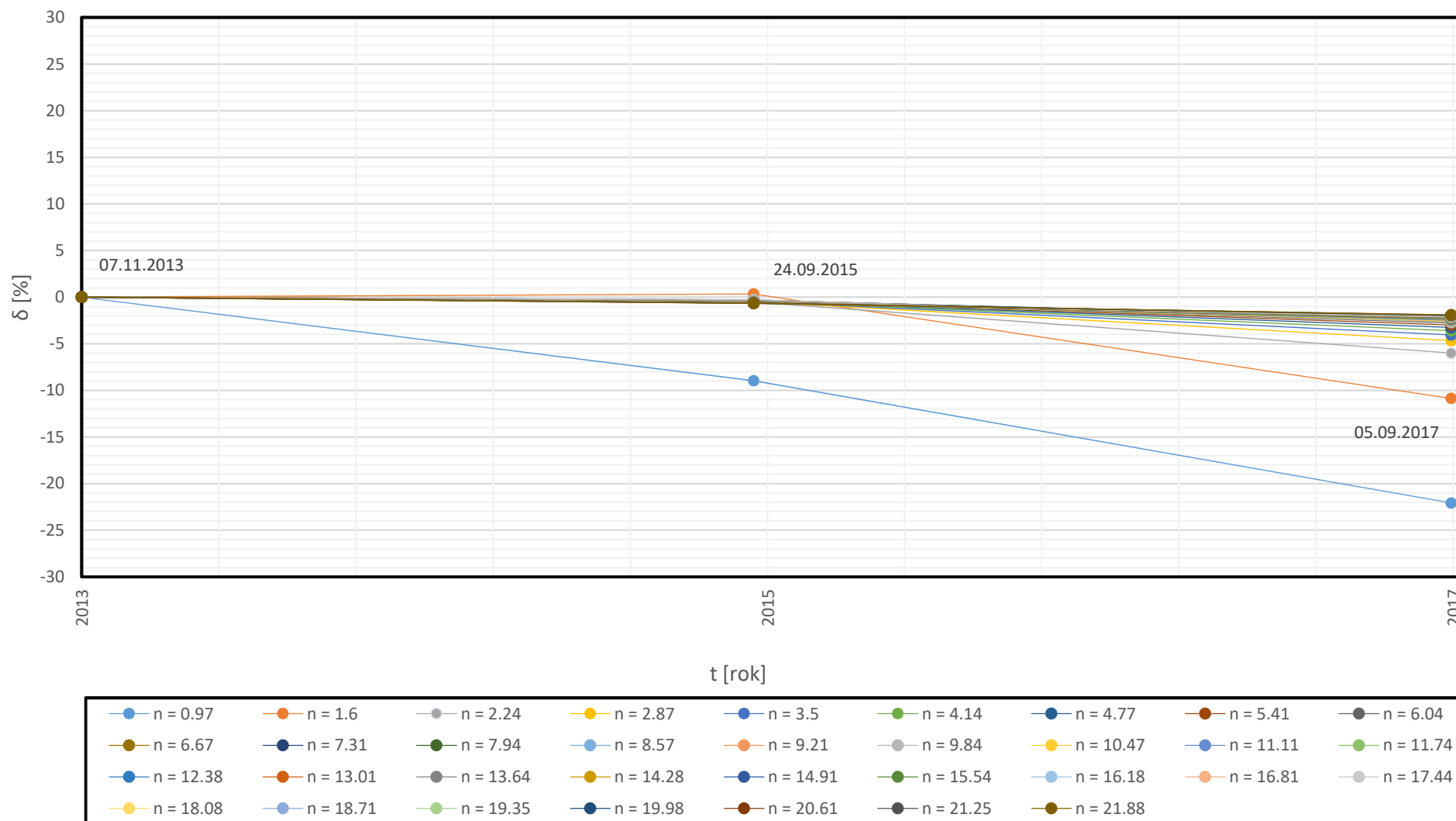


<span style="color: blue;">●</span> n = 0.3	<span style="color: orange;">●</span> n = 0.99	<span style="color: grey;">●</span> n = 1.68	<span style="color: yellow;">●</span> n = 2.37	<span style="color: blue;">●</span> n = 3.06	<span style="color: green;">●</span> n = 3.75	<span style="color: darkblue;">●</span> n = 4.43	<span style="color: brown;">●</span> n = 5.12	<span style="color: black;">●</span> n = 5.81
<span style="color: brown;">●</span> n = 6.5	<span style="color: darkblue;">●</span> n = 7.19	<span style="color: darkgreen;">●</span> n = 7.88	<span style="color: lightblue;">●</span> n = 8.57	<span style="color: orange;">●</span> n = 9.26	<span style="color: grey;">●</span> n = 9.95	<span style="color: yellow;">●</span> n = 10.64	<span style="color: blue;">●</span> n = 11.33	<span style="color: green;">●</span> n = 12.01
<span style="color: blue;">●</span> n = 12.7	<span style="color: orange;">●</span> n = 13.39	<span style="color: grey;">●</span> n = 14.08	<span style="color: yellow;">●</span> n = 14.77	<span style="color: darkblue;">●</span> n = 15.46	<span style="color: darkgreen;">●</span> n = 16.15	<span style="color: lightblue;">●</span> n = 16.84	<span style="color: orange;">●</span> n = 17.53	<span style="color: grey;">●</span> n = 18.22
<span style="color: yellow;">●</span> n = 18.91	<span style="color: lightblue;">●</span> n = 19.59	<span style="color: lightgreen;">●</span> n = 20.28	<span style="color: darkblue;">●</span> n = 20.97	<span style="color: brown;">●</span> n = 21.66	<span style="color: black;">●</span> n = 22.35	<span style="color: brown;">●</span> n = 23.04		

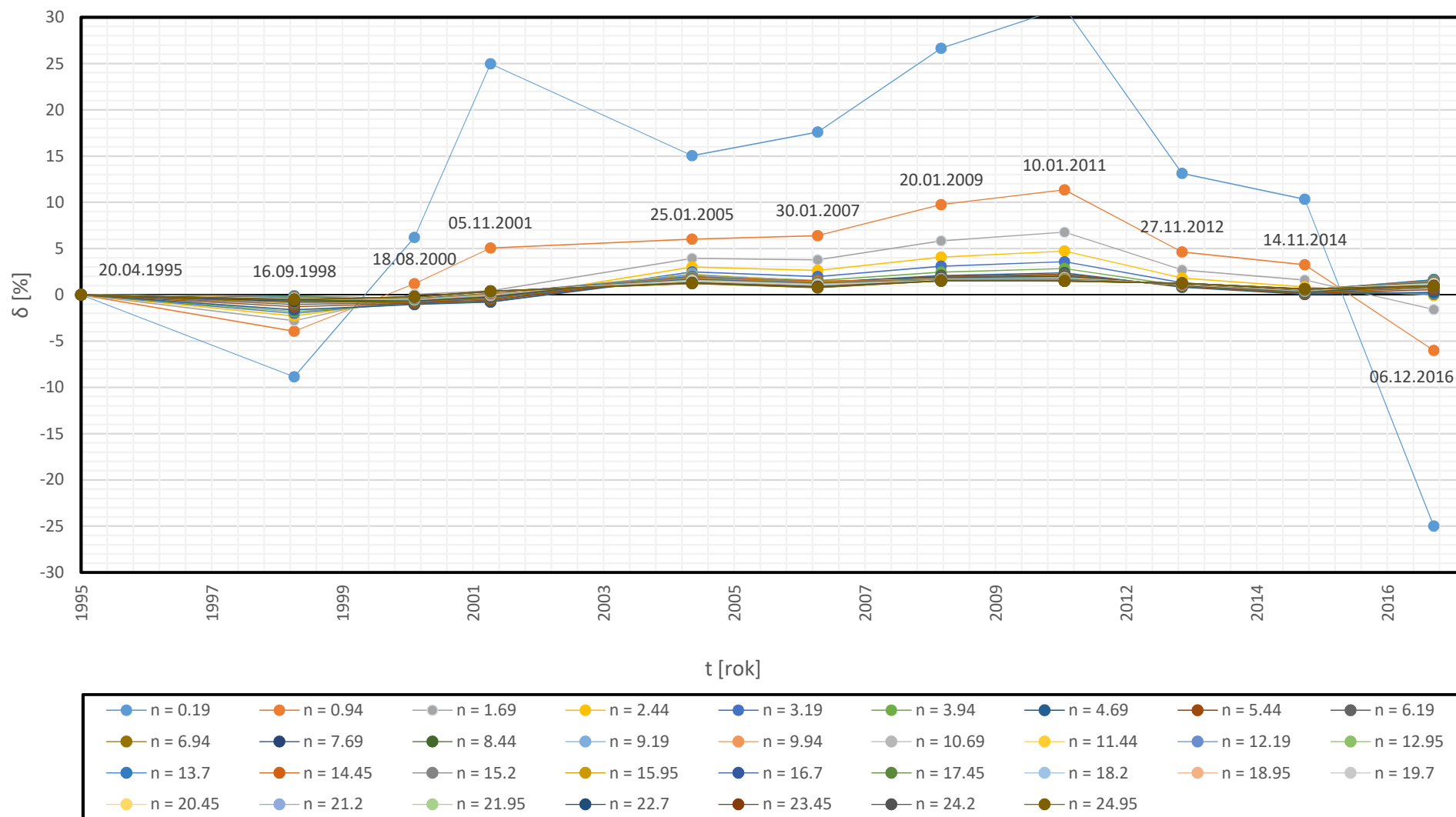
Časový vývoj relativních odchylek rychlostí vodoměrné vrtule  
OTT-C-2, tělo 141736/propeler 5-203490, pro zvolené otáčky a jednotlivá data kalibrace,  
vztažený k první prováděné kalibraci, VAS



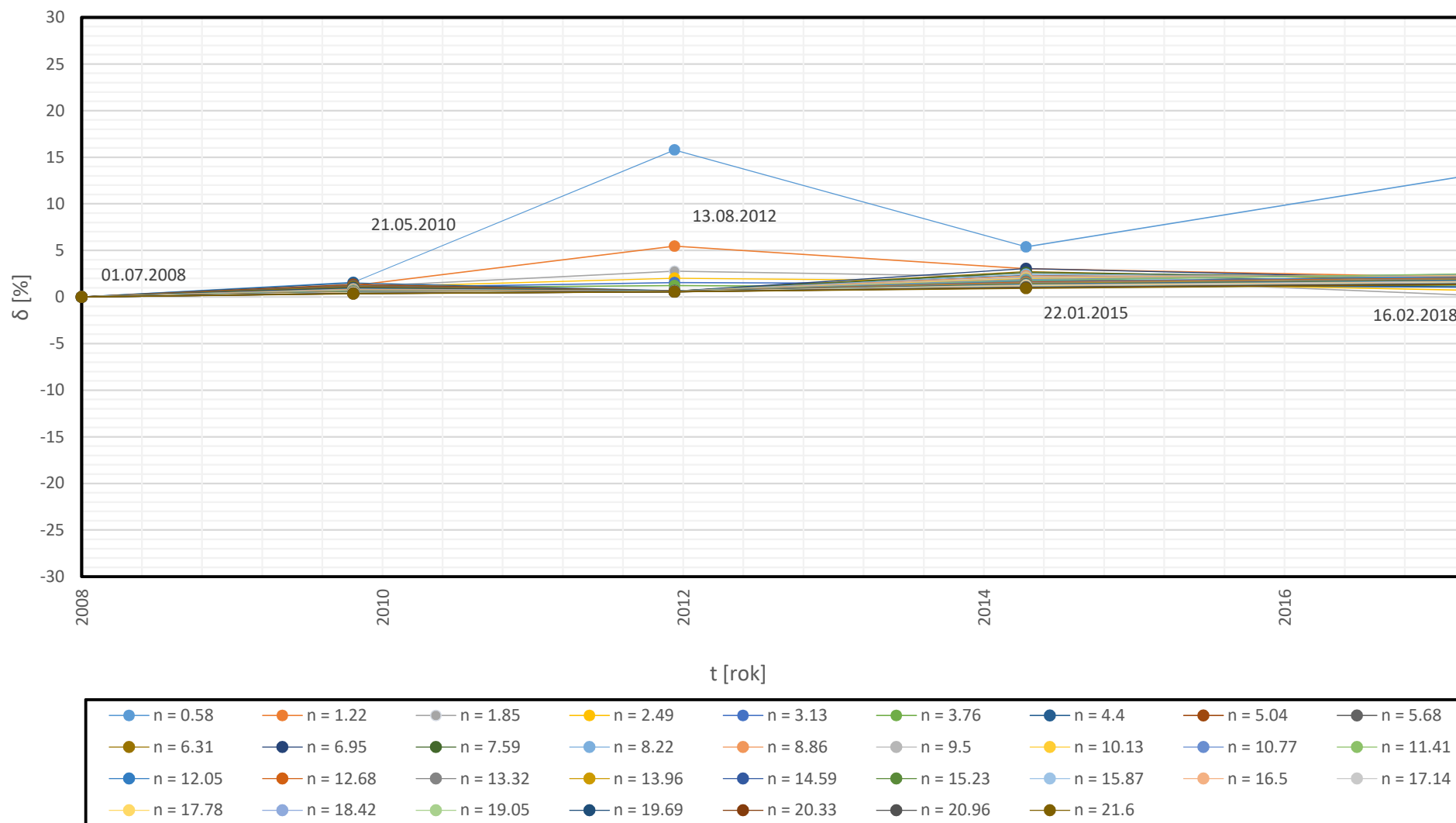
Časový vývoj relativních odchylek rychlostí vodoměrné vrtule  
 OTT-C-2, tělo 141768/propeler 5-01, pro zvolené otáčky a jednotlivá data kalibrace,  
 vztažený k první prováděné kalibraci, VUT



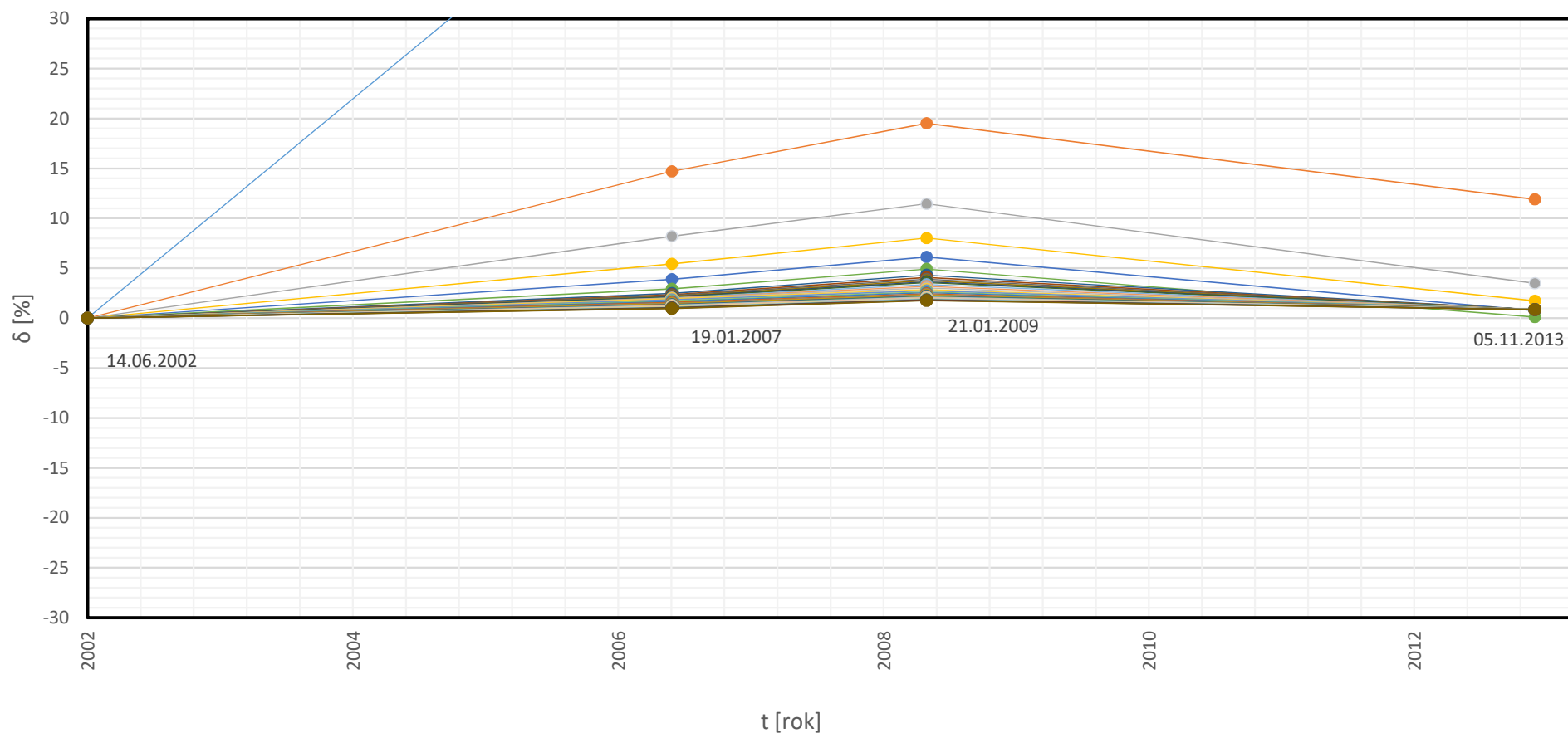
Časový vývoj relativních odchylek rychlostí vodoměrné vrtule  
OTT-C-2, tělo 115285/propeler 6-113168, pro zvolené otáčky a jednotlivá data kalibrace,  
vztažený k první prováděné kalibraci, ČEVAK



Časový vývoj relativních odchylek rychlostí vodoměrné vrtule  
 OTT-C-2, tělo 232210/propeler 6-203507, pro zvolené otáčky a jednotlivá data kalibrace,  
 vztažený k první prováděné kalibraci, DHI

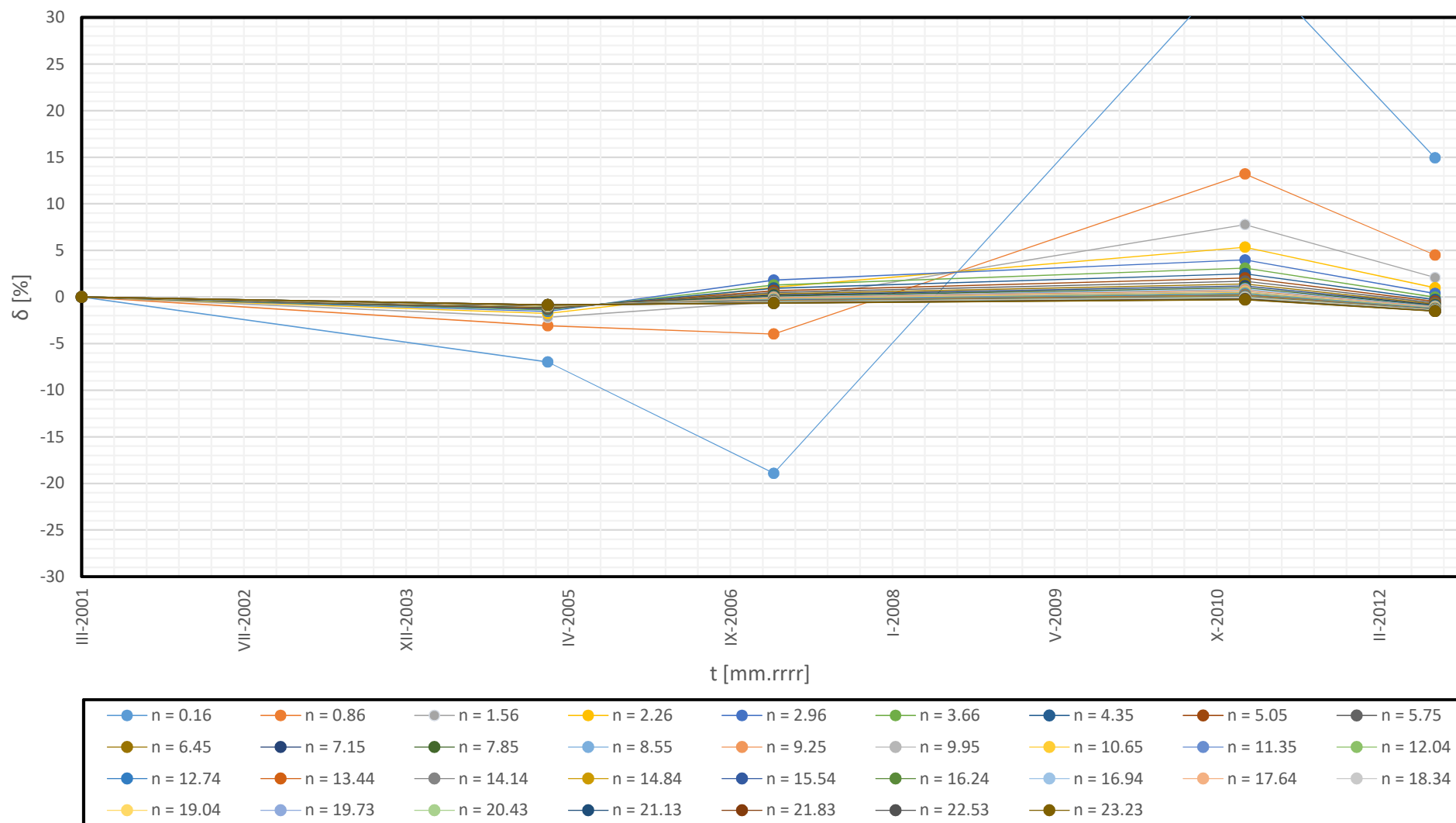


Časový vývoj relativních odchylek rychlostí vodoměrné vrtule  
OTT-C-2, tělo 168876/propeler 6-169294, pro zvolené otáčky a jednotlivá data kalibrace,  
vztažený k první prováděné kalibraci, PVK

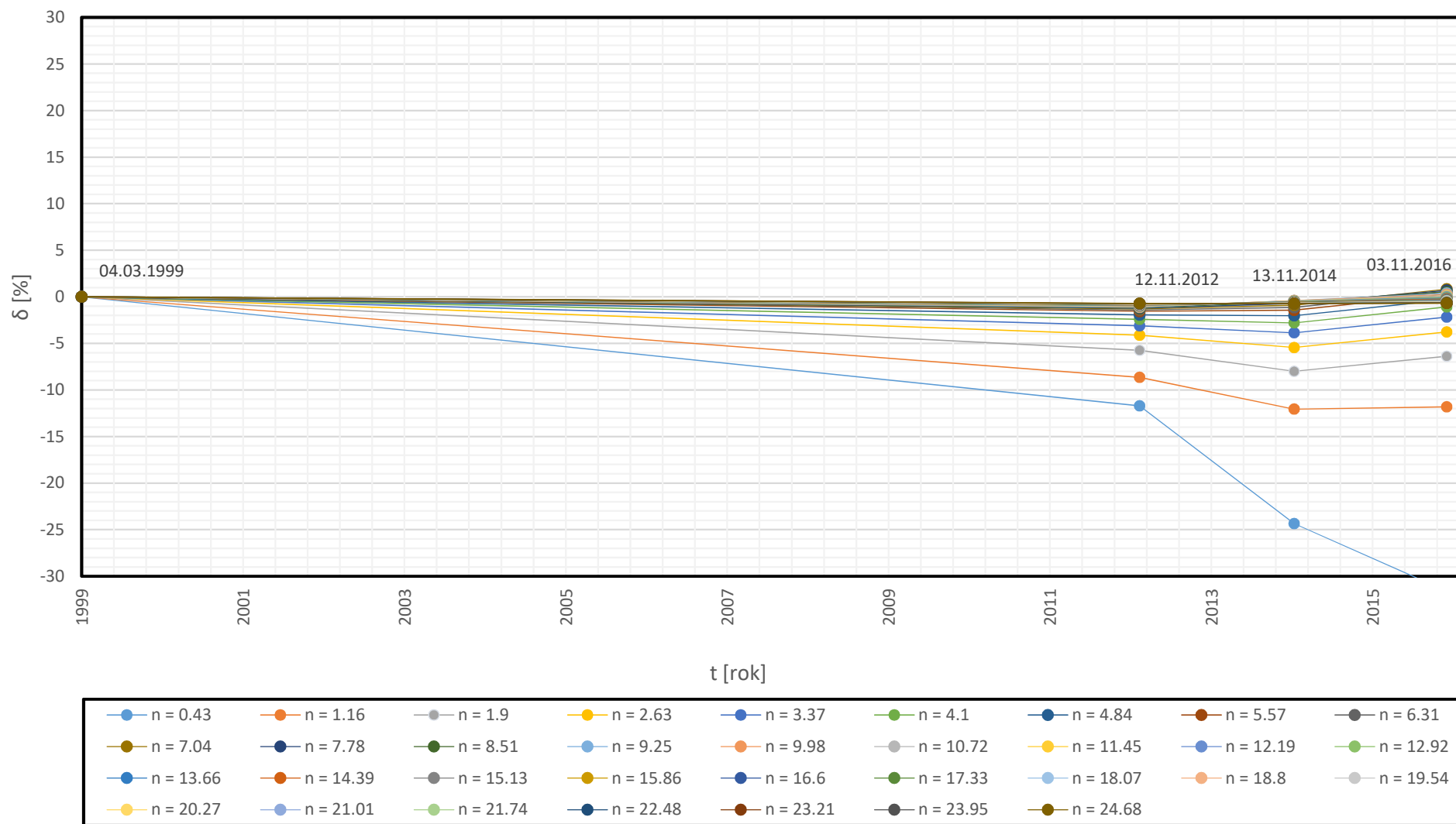


<span style="color: blue;">●</span> n = 0.21	<span style="color: orange;">●</span> n = 0.9	<span style="color: gray;">●</span> n = 1.59	<span style="color: yellow;">●</span> n = 2.28	<span style="color: blue;">●</span> n = 2.97	<span style="color: green;">●</span> n = 3.66	<span style="color: darkblue;">●</span> n = 4.35	<span style="color: brown;">●</span> n = 5.04	<span style="color: darkgray;">●</span> n = 5.73
<span style="color: brown;">●</span> n = 6.42	<span style="color: darkblue;">●</span> n = 7.11	<span style="color: darkgreen;">●</span> n = 7.8	<span style="color: lightblue;">●</span> n = 8.49	<span style="color: orange;">●</span> n = 9.18	<span style="color: gray;">●</span> n = 9.87	<span style="color: yellow;">●</span> n = 10.56	<span style="color: blue;">●</span> n = 11.25	<span style="color: lightgreen;">●</span> n = 11.93
<span style="color: blue;">●</span> n = 12.62	<span style="color: orange;">●</span> n = 13.31	<span style="color: gray;">●</span> n = 14	<span style="color: yellow;">●</span> n = 14.69	<span style="color: darkblue;">●</span> n = 15.38	<span style="color: green;">●</span> n = 16.07	<span style="color: lightblue;">●</span> n = 16.76	<span style="color: orange;">●</span> n = 17.45	<span style="color: gray;">●</span> n = 18.14
<span style="color: yellow;">●</span> n = 18.83	<span style="color: lightblue;">●</span> n = 19.52	<span style="color: lightgreen;">●</span> n = 20.21	<span style="color: darkblue;">●</span> n = 20.9	<span style="color: brown;">●</span> n = 21.59	<span style="color: darkgray;">●</span> n = 22.28	<span style="color: brown;">●</span> n = 22.97		

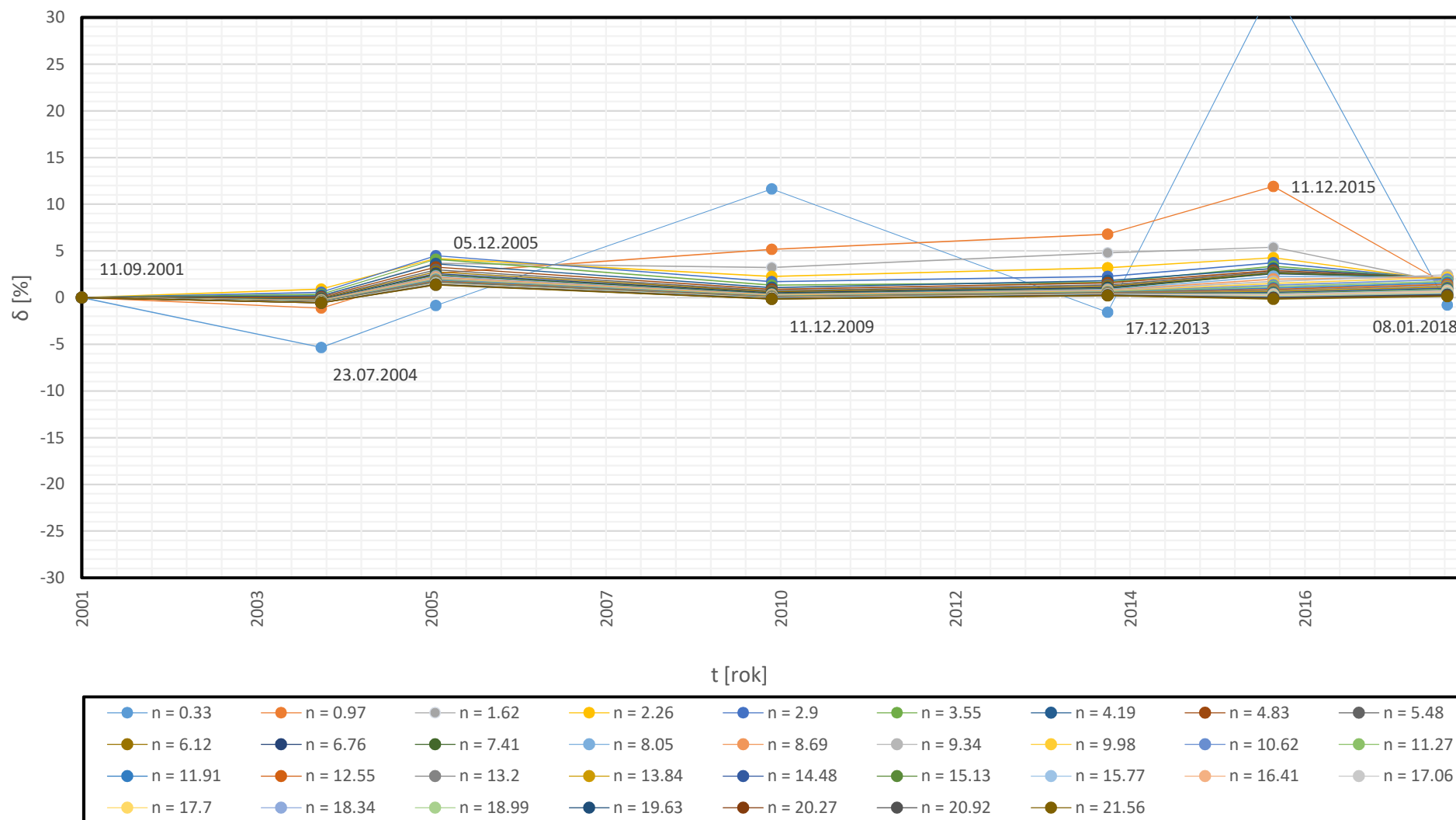
Časový vývoj relativních odchylek rychlostí vodoměrné vrtule  
 OTT-C-2, tělo 141762/propeler 6-144976, pro zvolené otáčky a jednotlivá data kalibrace,  
 vztažený k první prováděné kalibraci, PVK



Časový vývoj relativních odchylek rychlostí vodoměrné vrtule  
 OTT-C-2, tělo 106087/propeler 6-107411, pro zvolené otáčky a jednotlivá data kalibrace,  
 vztažený k první prováděné kalibraci, MIFLOW



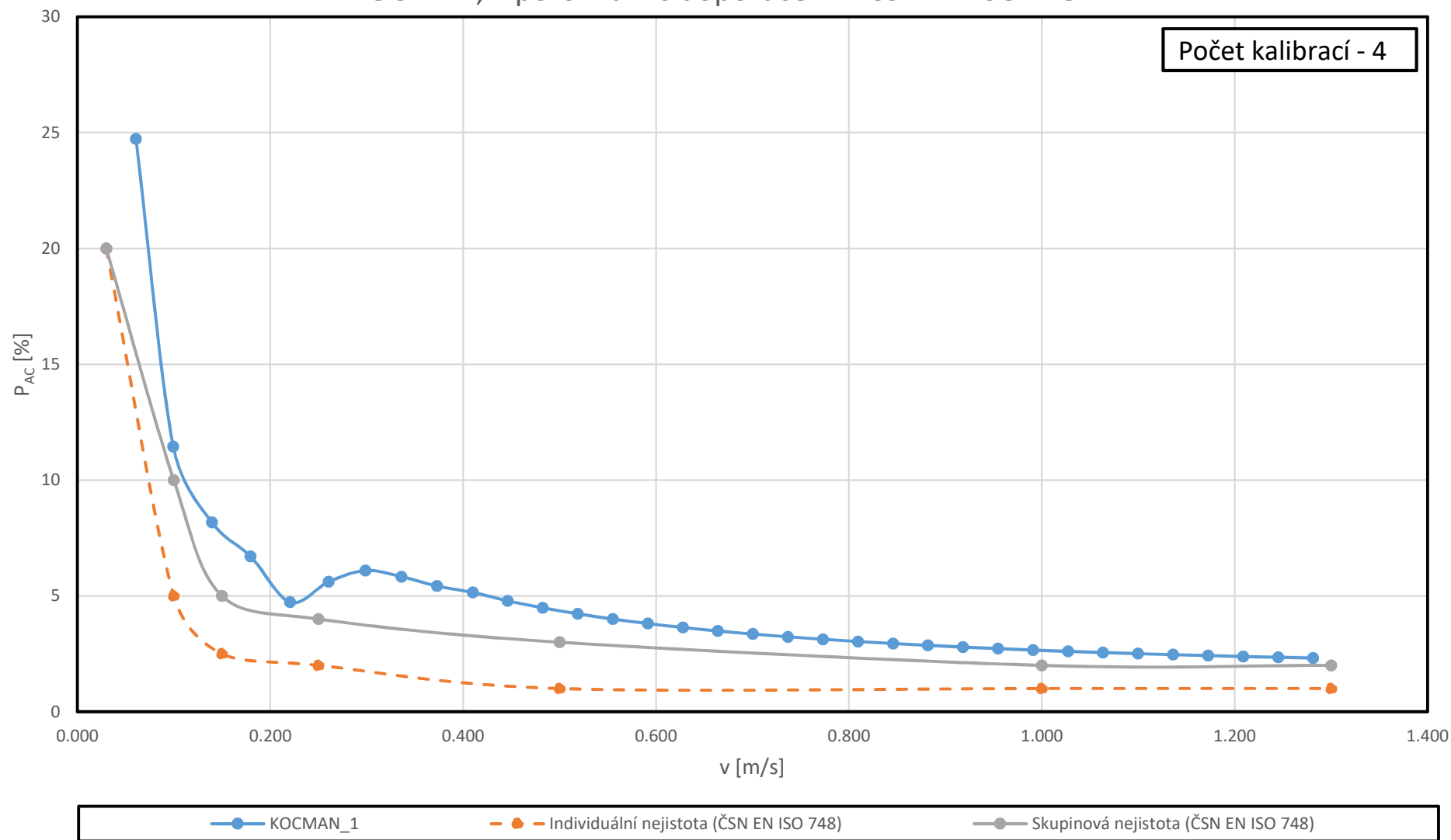
Časový vývoj relativních odchylek rychlostí vodoměrné vrtule  
 OTT-C-2, tělo 141736/propeler 6-144977, pro zvolené otáčky a jednotlivá data kalibrace,  
 vztažený k první prováděné kalibraci, VAS



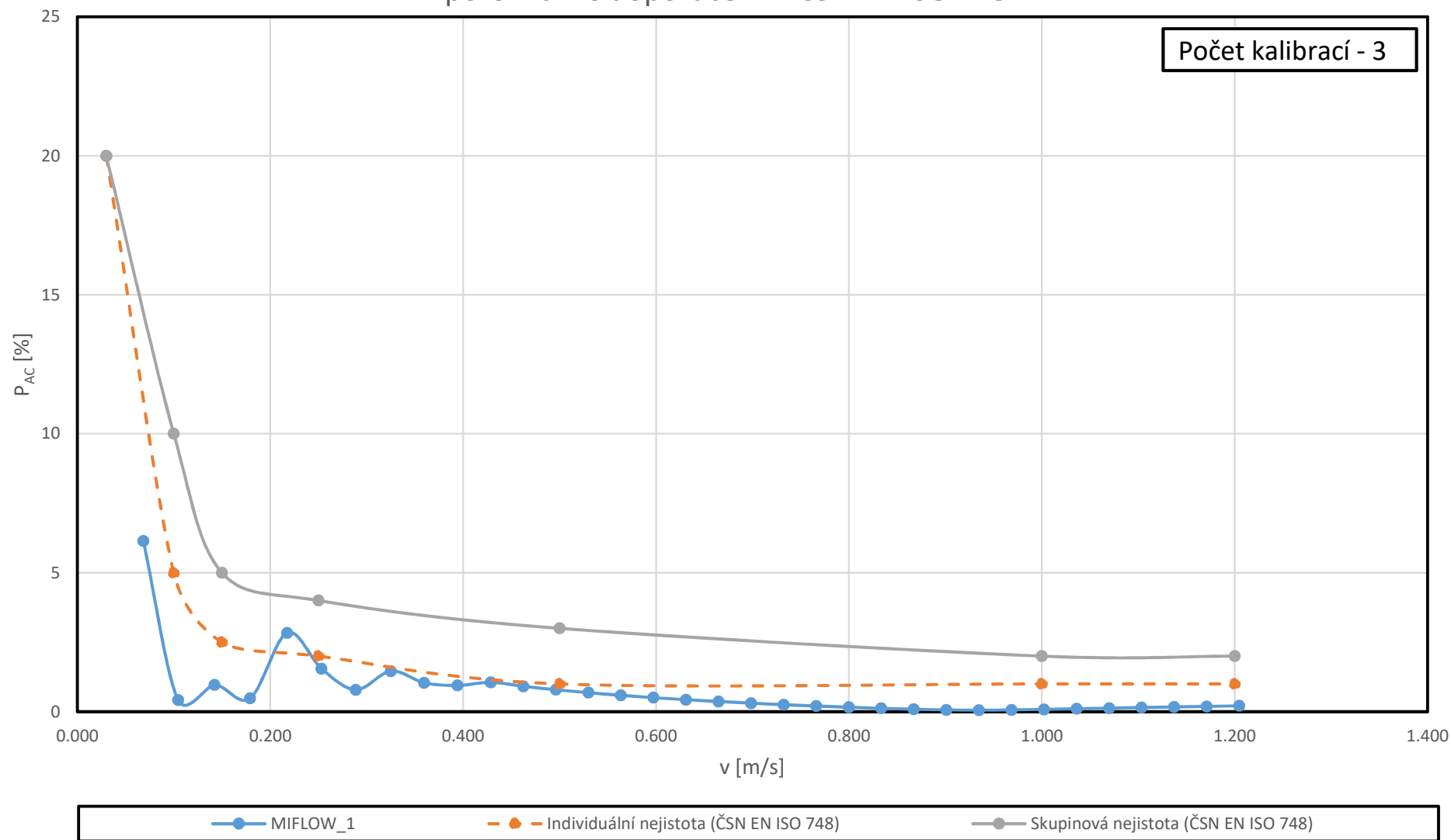
## **PŘÍLOHA P3**

Rozšířená nejistota opakovaných kalibrací v závislosti na průměrné rychlosti  
všech dostupných kalibrací vodoměrné vrtule v porovnání s doporučením  
ČSN EN ISO 748

Rozšířená nejistota opakovaných kalibrací v závislosti na průměrné rychlosti všech dostupných kalibrací vodoměrné vrtule OTT-C-2, tělo 243915/propeler 1-241830, KOCMAN, v porovnání s doporučením ČSN EN ISO 748

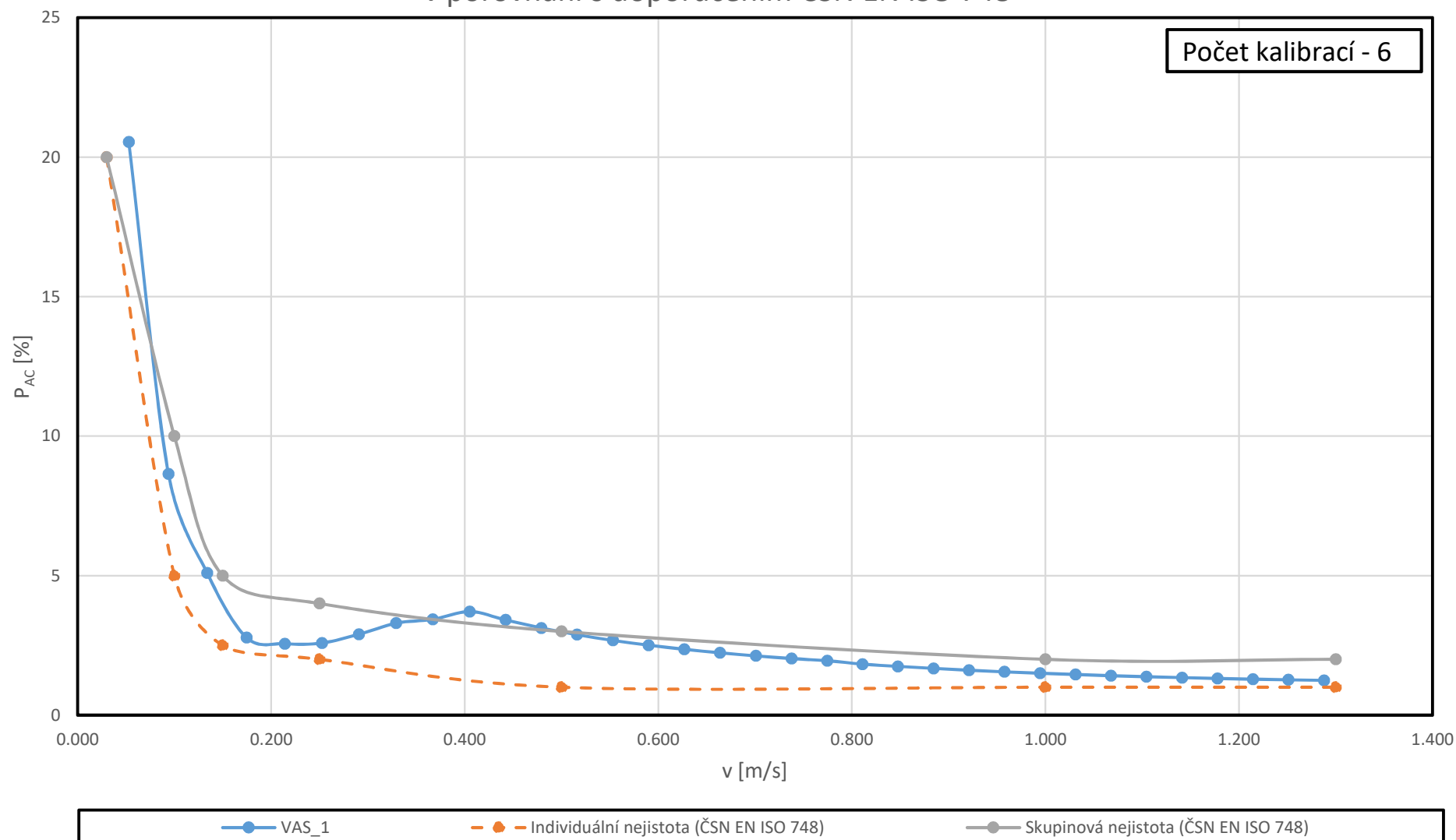


Rozšířená nejistota opakovaných kalibrací v závislosti na průměrné rychlosti všech dostupných kalibrací vodoměrné vrtule OTT-C-2, tělo 106087/propeler V31, MIFLOW, v porovnání s doporučením ČSN EN ISO 748

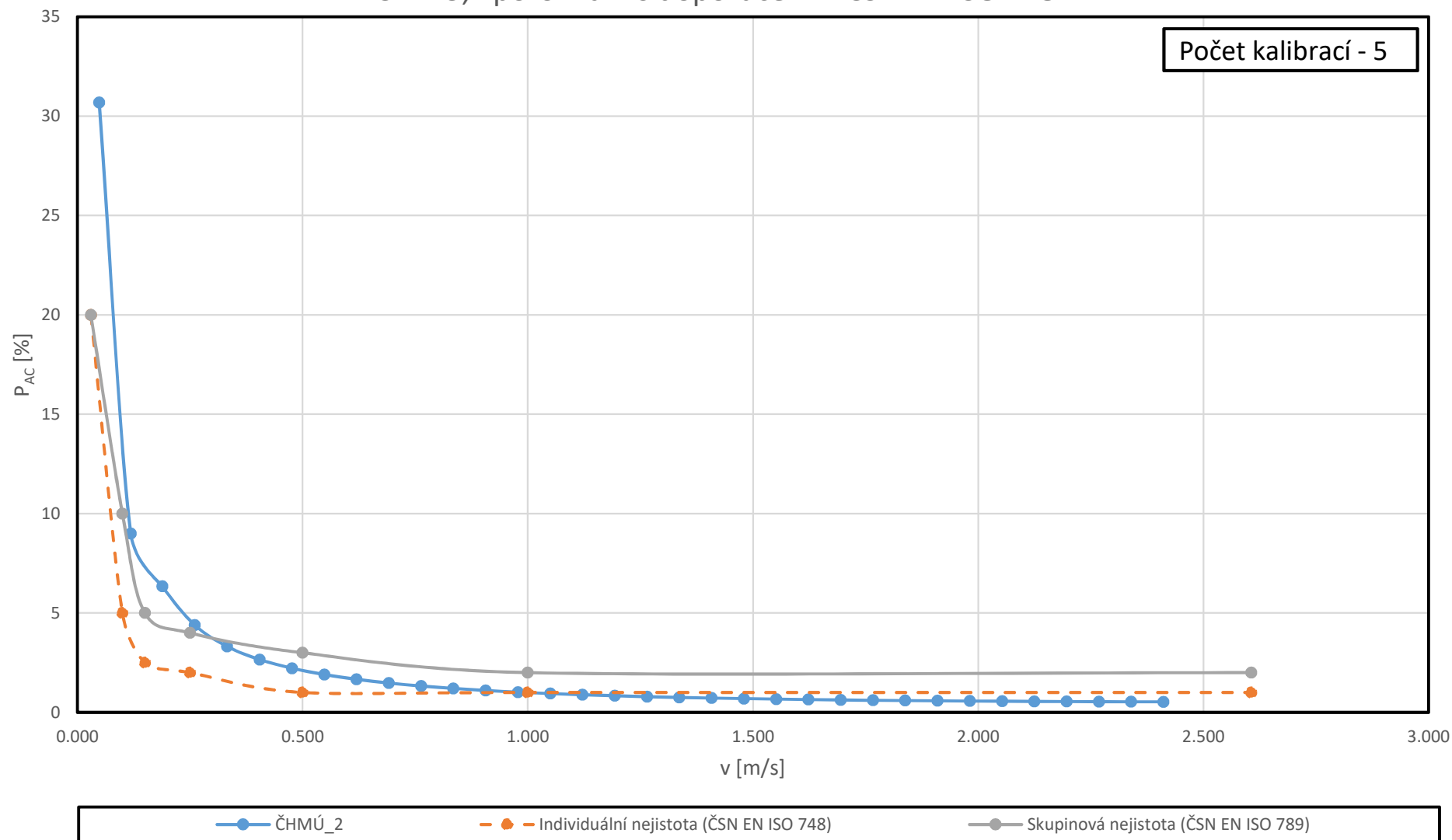


Rozšířená nejistota opakovaných kalibrací v závislosti na průměrné rychlosti všech dostupných kalibrací vodoměrné vrtule OTT-C-2, tělo 169249/propeler 1-141763, VAS, v porovnání s doporučením ČSN EN ISO 748

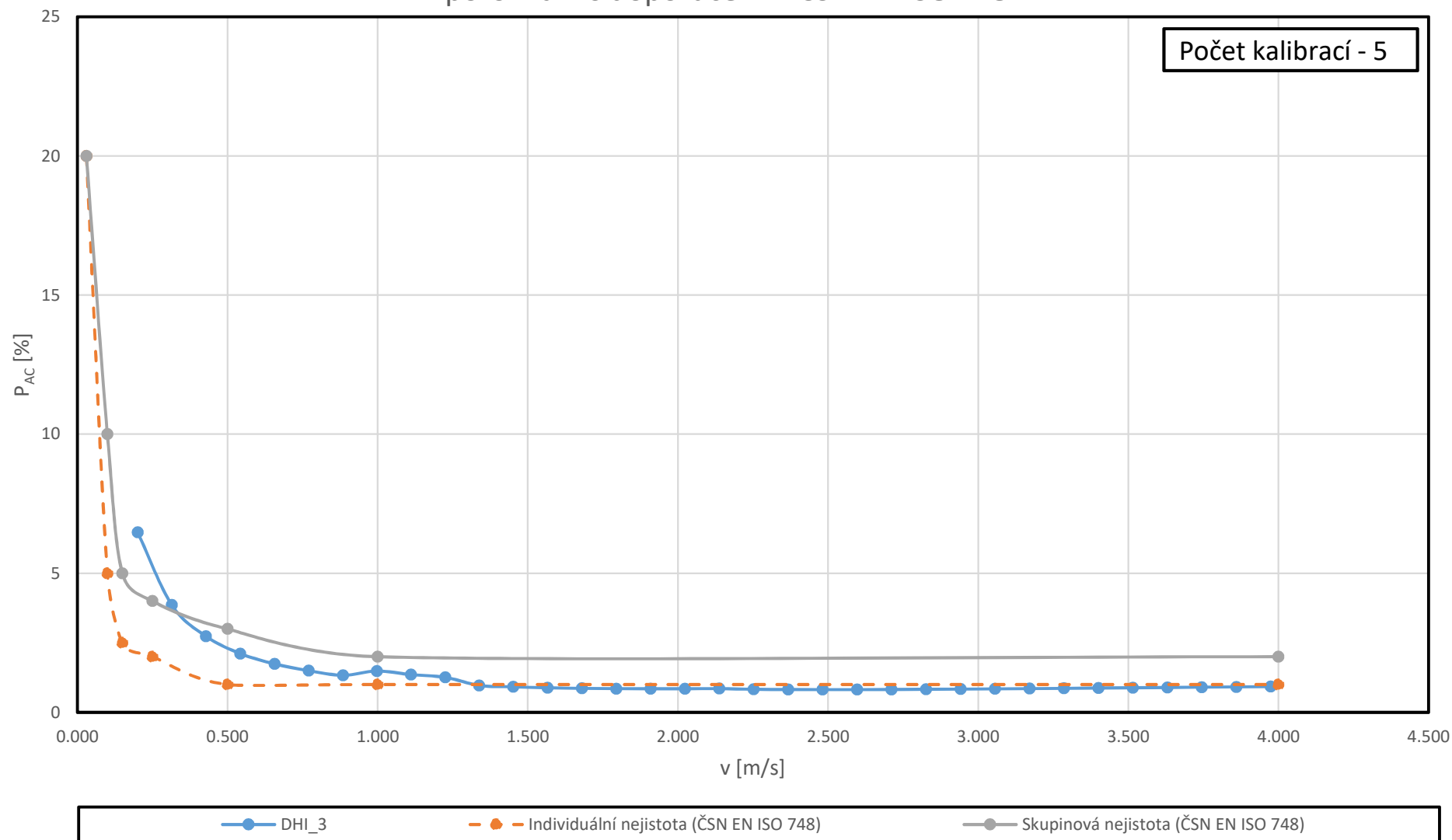
Počet kalibrací - 6



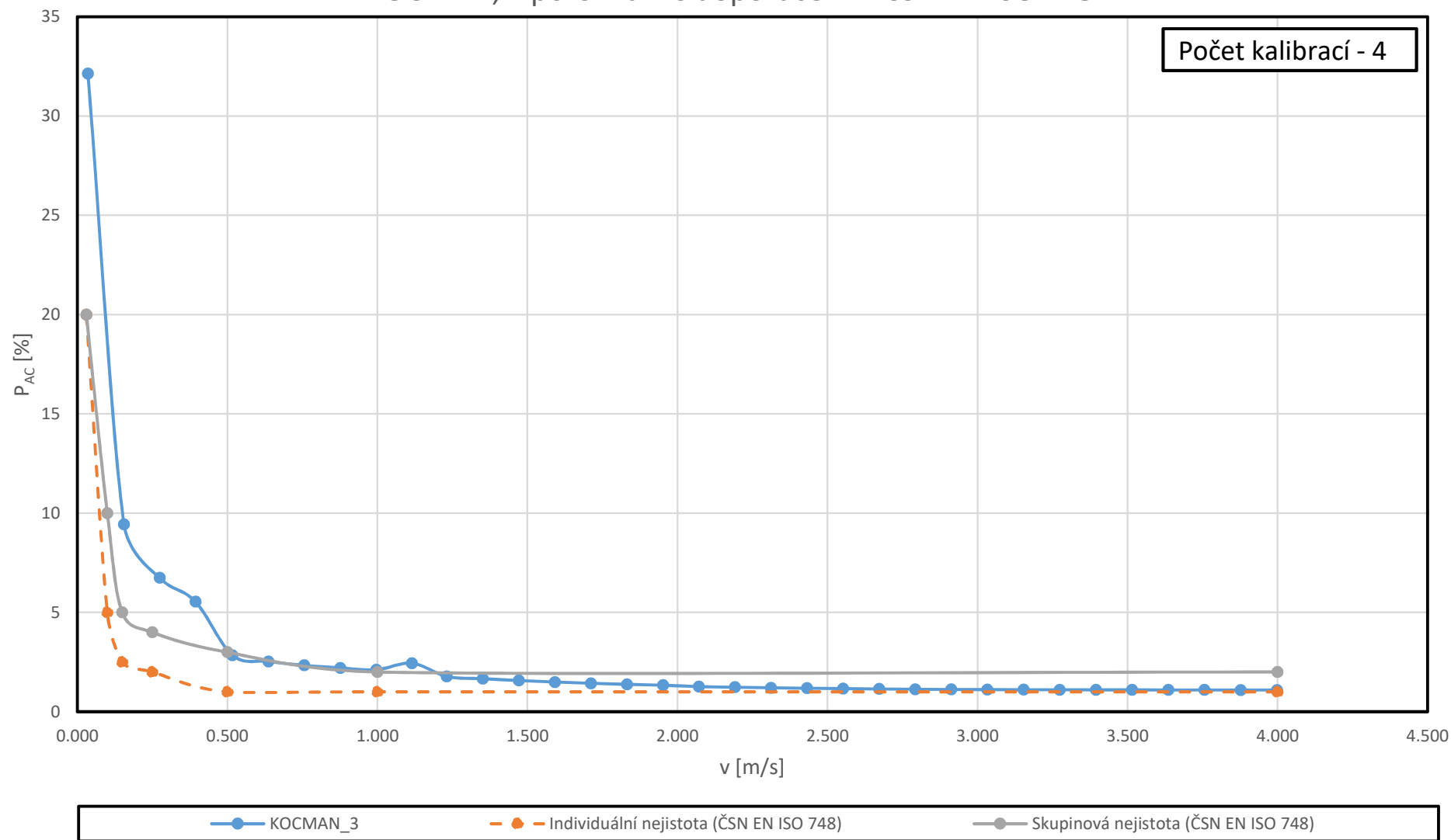
Rozšířená nejistota opakovaných kalibrací v závislosti na průměrné rychlosti všech dostupných kalibrací vodoměrné vrtule OTT-C-2, tělo 129865/propeler 2-281093, ČHMÚ, v porovnání s doporučením ČSN EN ISO 748



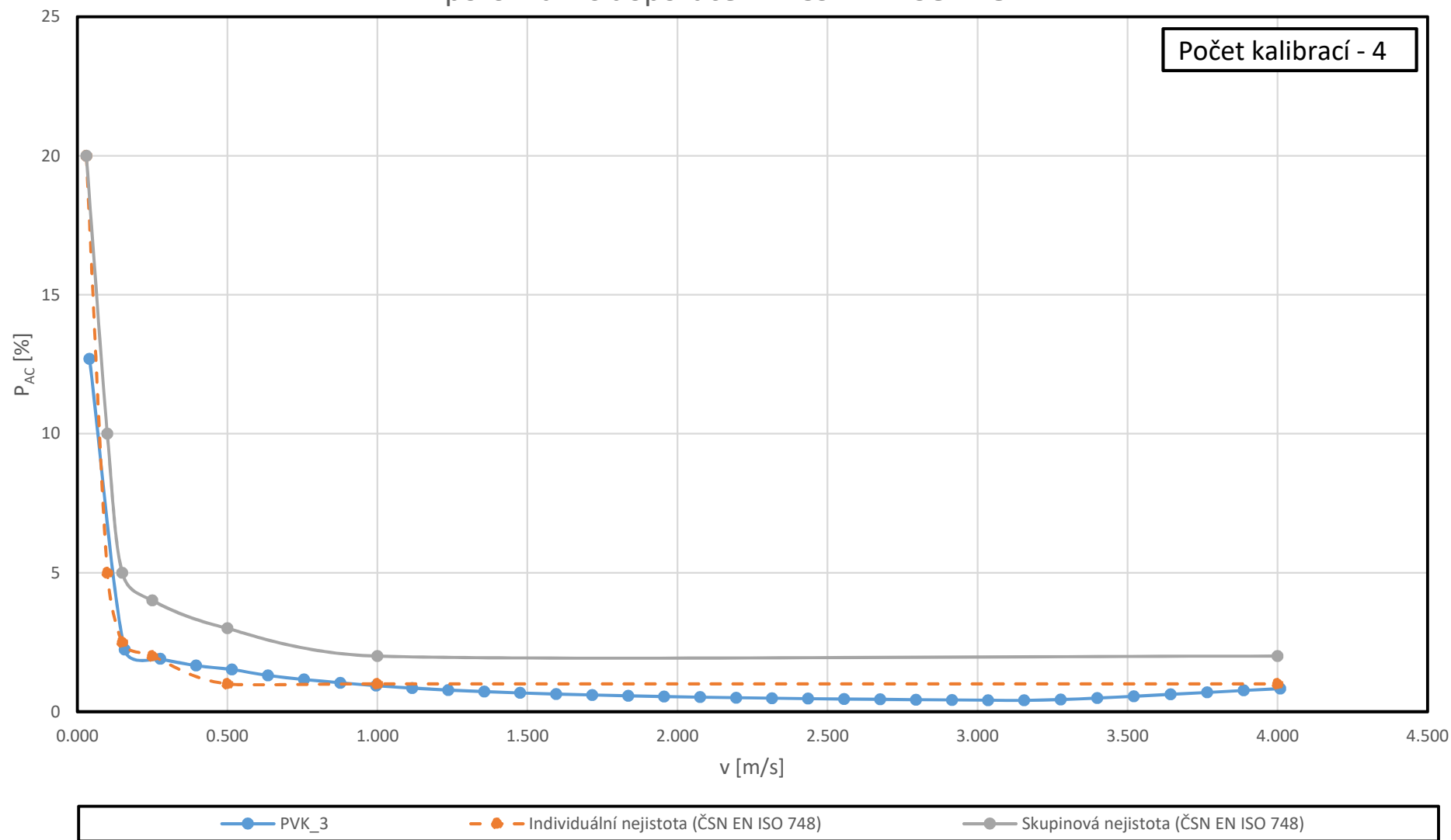
Rozšířená nejistota opakovaných kalibrací v závislosti na průměrné rychlosti všech dostupných kalibrací vodoměrné vrtule OTT-C-2, tělo 232210/propeler 3-232106, DHI, v porovnání s doporučením ČSN EN ISO 748



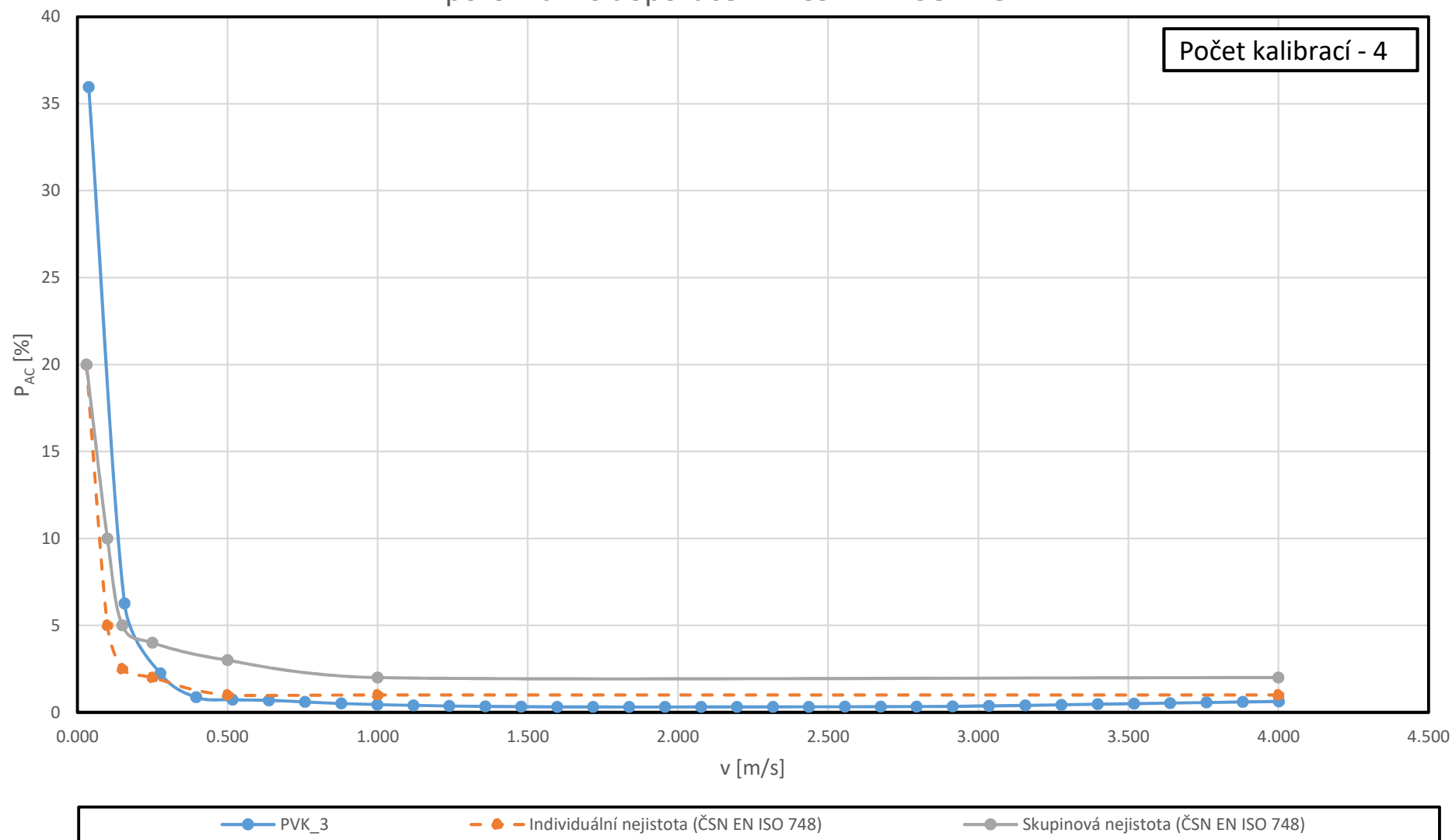
Rozšířená nejistota opakovaných kalibrací v závislosti na průměrné rychlosti všech dostupných kalibrací vodoměrné vrtule OTT-C-2, tělo 243915/propeler 3-244256, KOCMAN, v porovnání s doporučením ČSN EN ISO 748



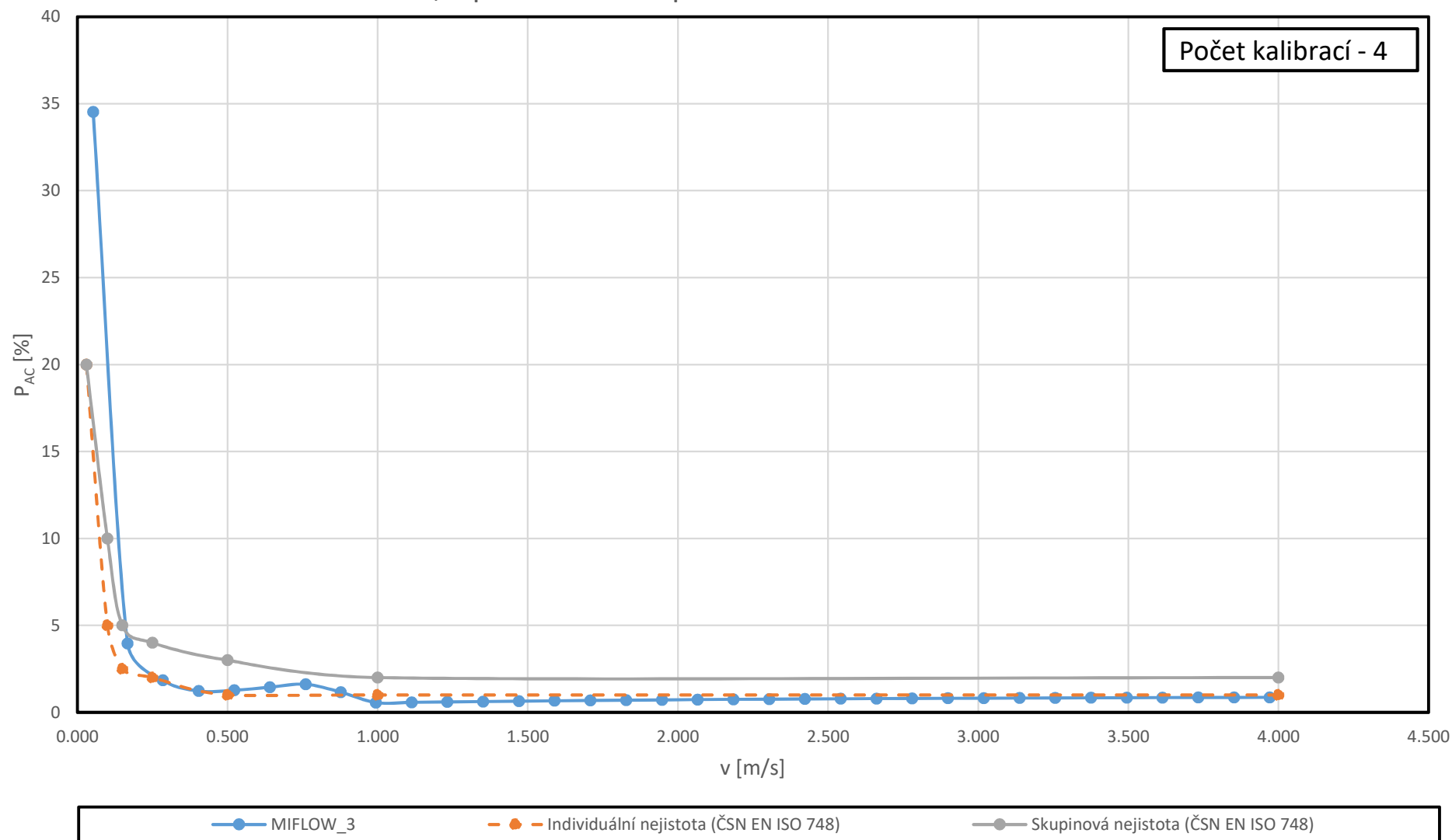
Rozšířená nejistota opakovaných kalibrací v závislosti na průměrné rychlosti všech dostupných kalibrací vodoměrné vrtule OTT-C-2, tělo 168876/propeler 3-169558, PVK, v porovnání s doporučením ČSN EN ISO 748



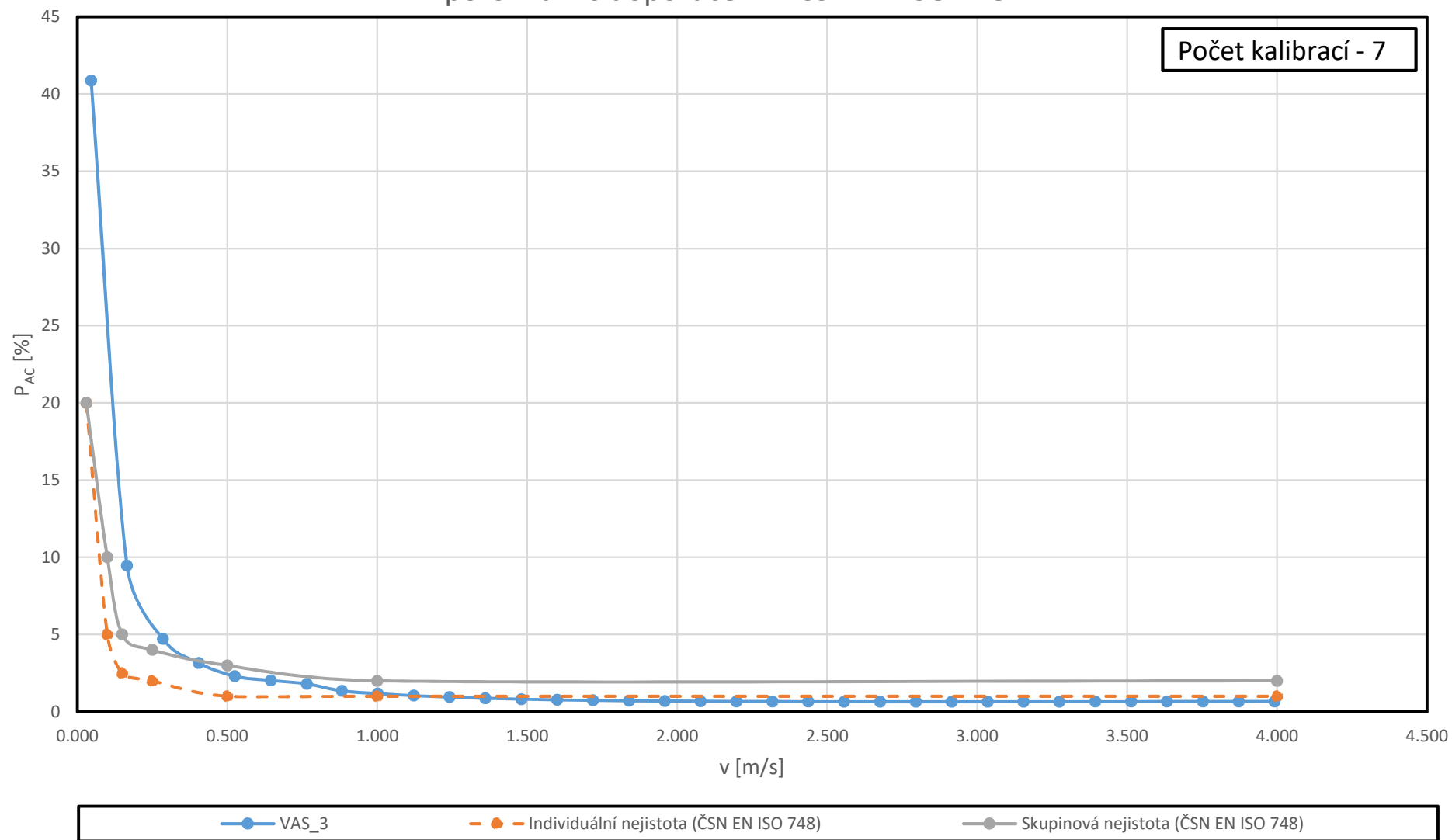
Rozšířená nejistota opakovaných kalibrací v závislosti na průměrné rychlosti všech dostupných kalibrací vodoměrné vrtule OTT-C-2, tělo 141762/propeler 3-147132, PVK, v porovnání s doporučením ČSN EN ISO 748



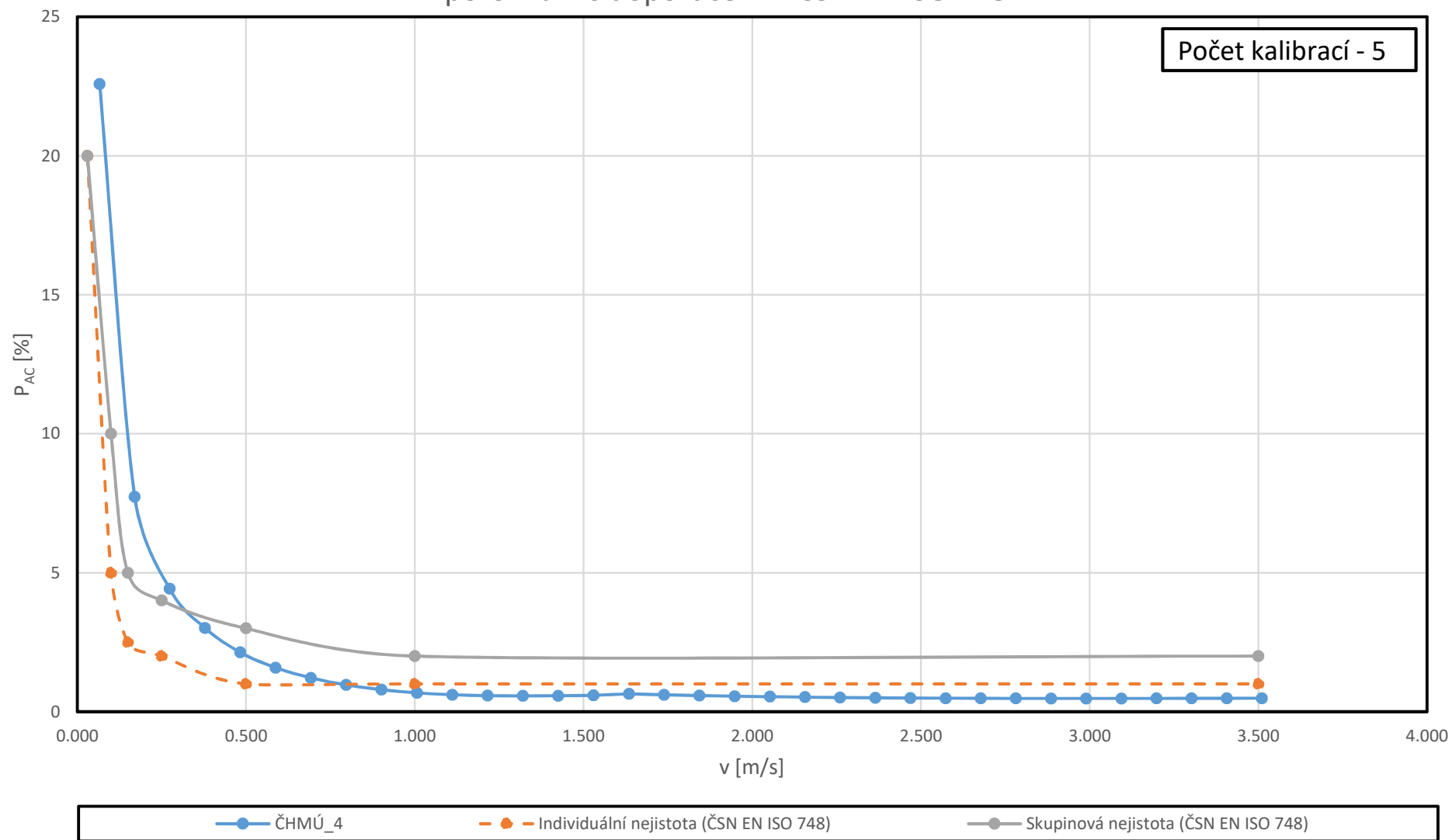
Rozšířená nejistota opakovaných kalibrací v závislosti na průměrné rychlosti všech dostupných kalibrací vodoměrné vrtule OTT-C-2, tělo 106087/propeler 3-107327, MIFLOW, v porovnání s doporučením ČSN EN ISO 748



Rozšířená nejistota opakovaných kalibrací v závislosti na průměrné rychlosti všech dostupných kalibrací vodoměrné vrtule OTT-C-2, tělo 141736/propeler 3-141733, VAS, v porovnání s doporučením ČSN EN ISO 748

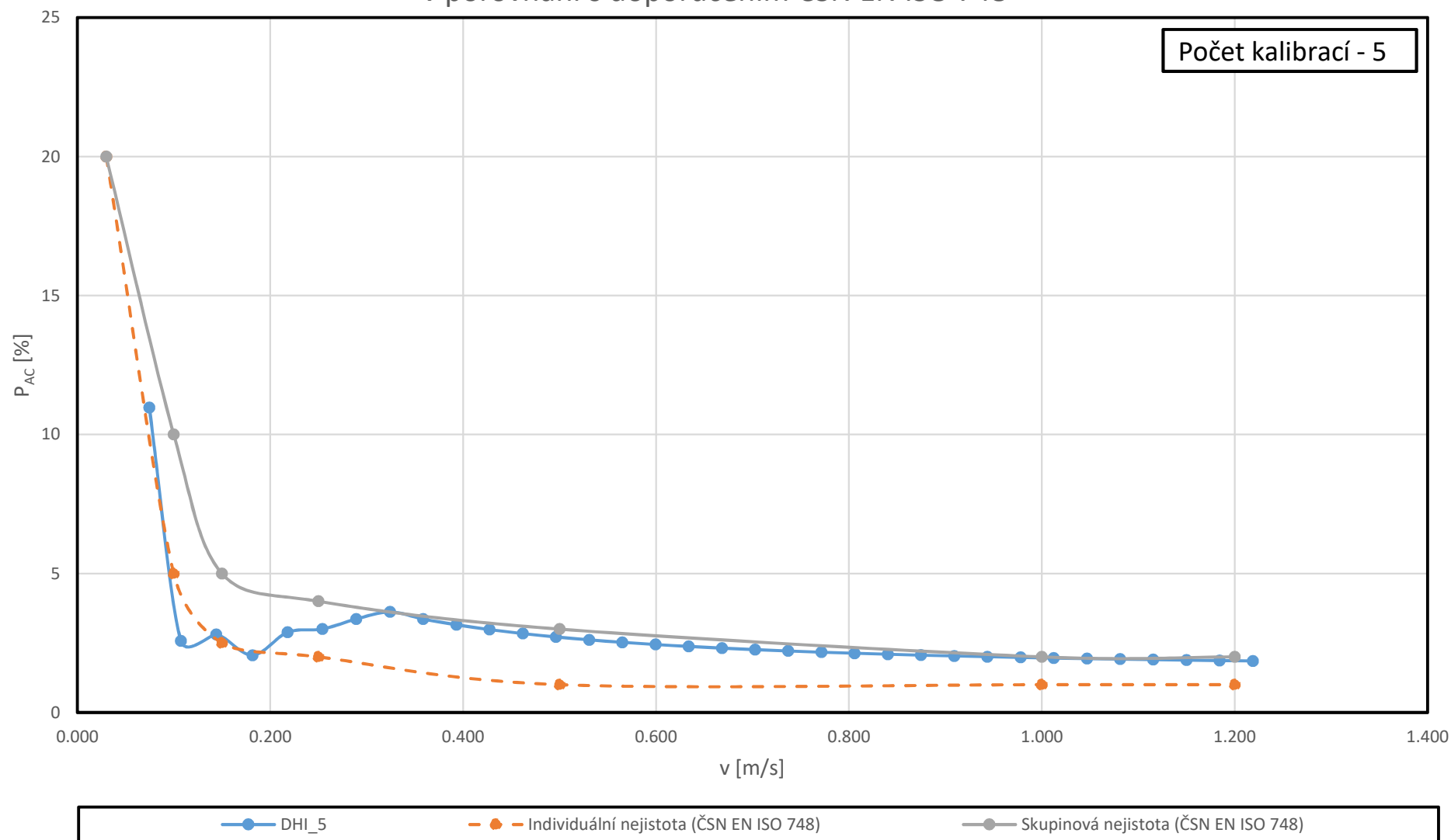


Rozšířená nejistota opakovaných kalibrací v závislosti na průměrné rychlosti všech dostupných kalibrací vodoměrné vrtule OTT-C-31, tělo 54776/propeler 4-55706, ČHMÚ, v porovnání s doporučením ČSN EN ISO 748



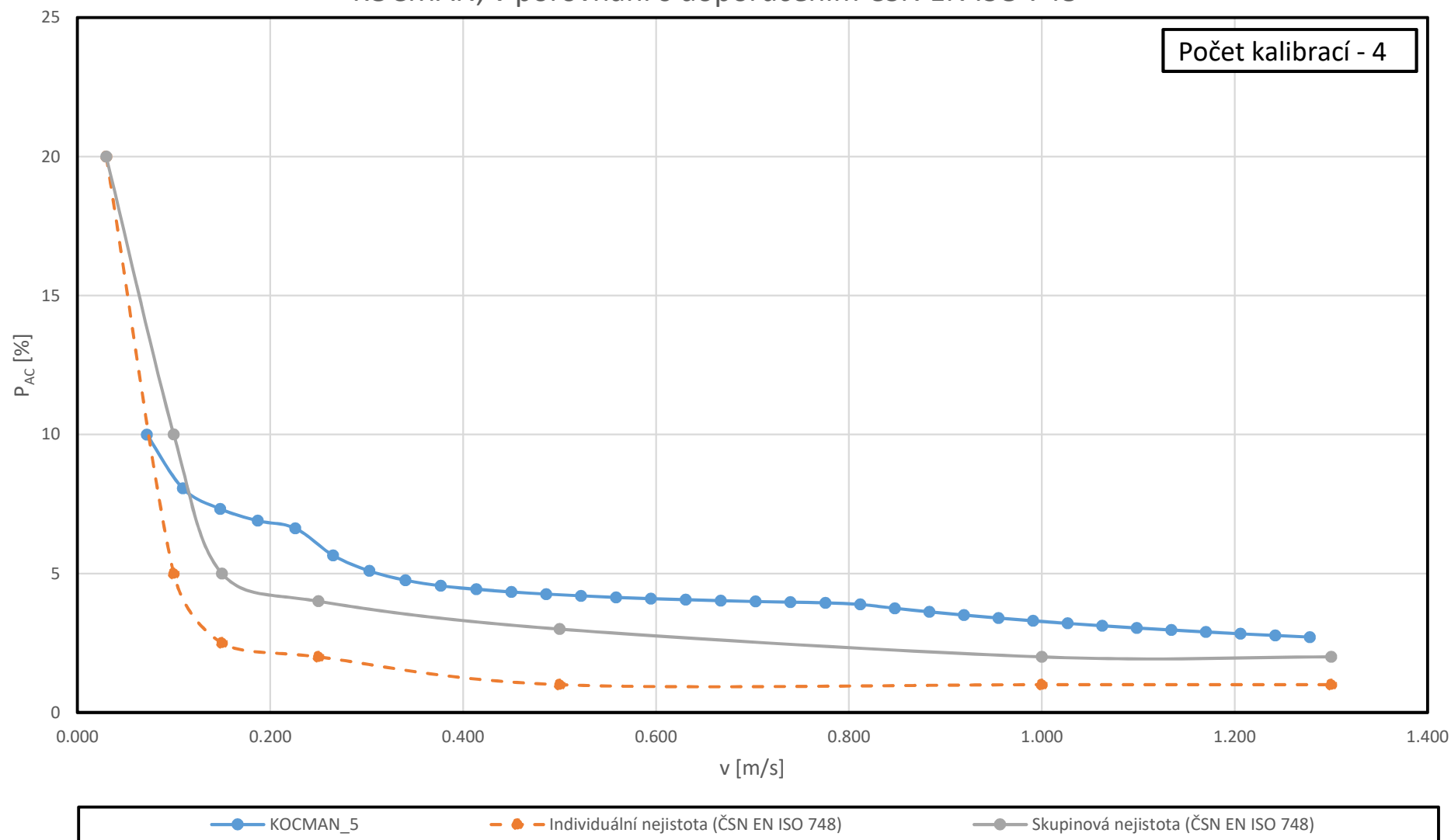
Rozšířená nejistota opakovaných kalibrací v závislosti na průměrné rychlosti všech dostupných kalibrací vodoměrné vrtule OTT-C-2, tělo 232210/propeler 5-212753, DHI, v porovnání s doporučením ČSN EN ISO 748

Počet kalibrací - 5



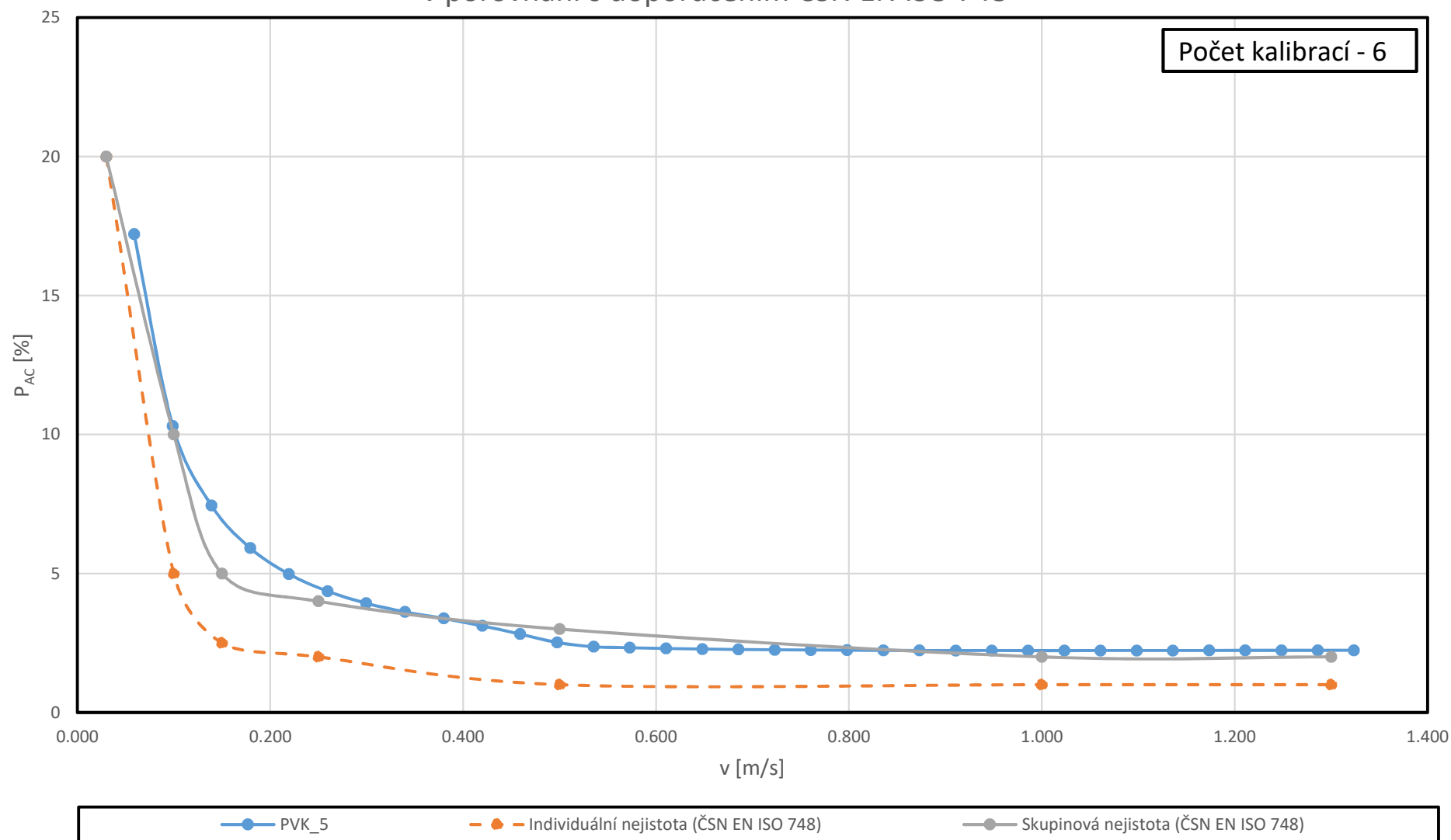
Rozšířená nejistota opakovaných kalibrací v závislosti na průměrné rychlosti všech dostupných kalibrací vodoměrné vrtule OTT-C-2, tělo 243915/propeler 5-249827, KOCMAN, v porovnání s doporučením ČSN EN ISO 748

Počet kalibrací - 4



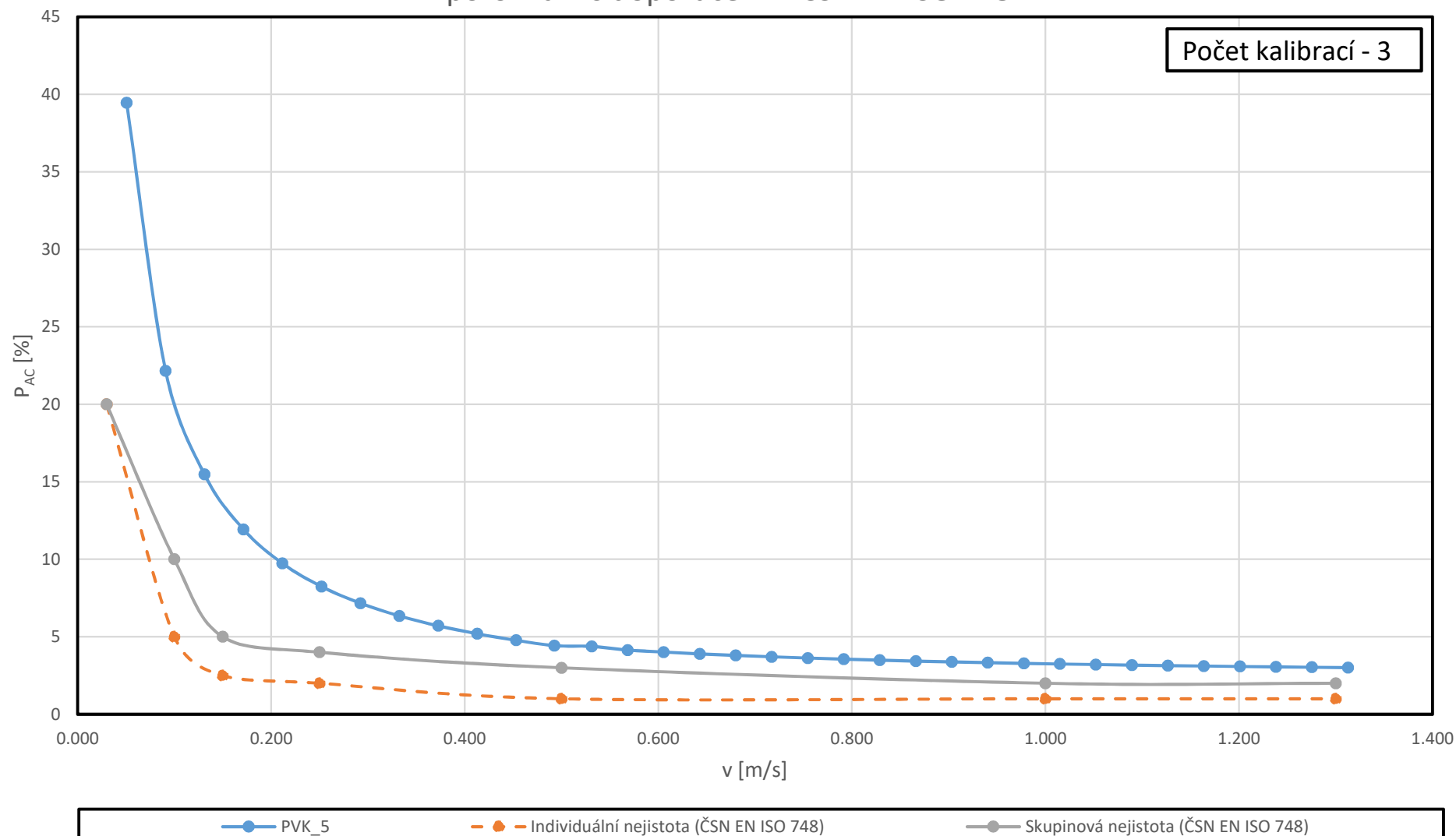
Rozšířená nejistota opakovaných kalibrací v závislosti na průměrné rychlosti všech dostupných kalibrací vodoměrné vrtule OTT-C-2, tělo 141762/propeler 5-46276, PVK, v porovnání s doporučením ČSN EN ISO 748

Počet kalibrací - 6



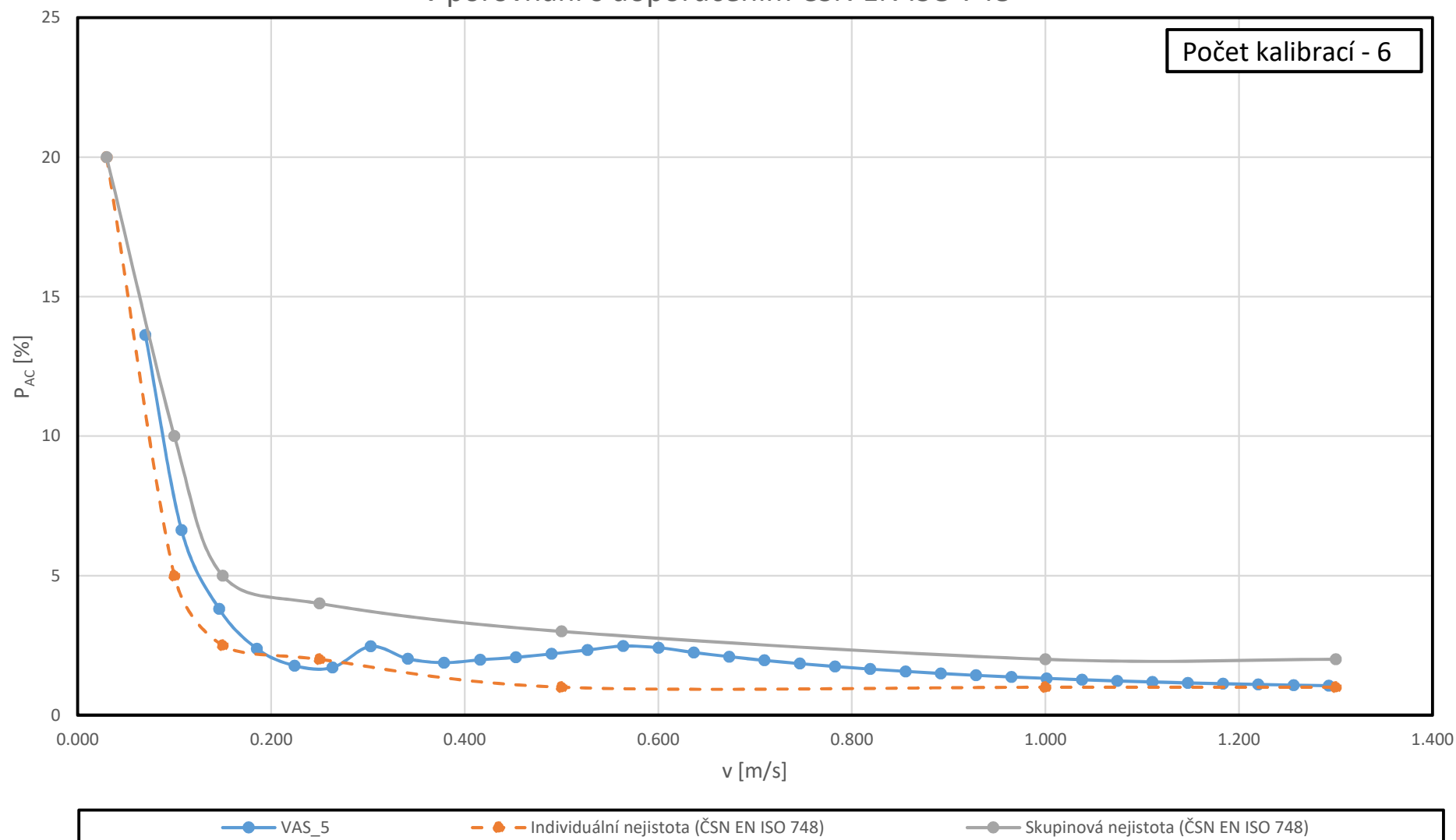
Rozšířená nejistota opakovaných kalibrací v závislosti na průměrné rychlosti všech dostupných kalibrací vodoměrné vrtule OTT-C-2, tělo 168876/propeler 5-169321, PVK, v porovnání s doporučením ČSN EN ISO 748

Počet kalibrací - 3



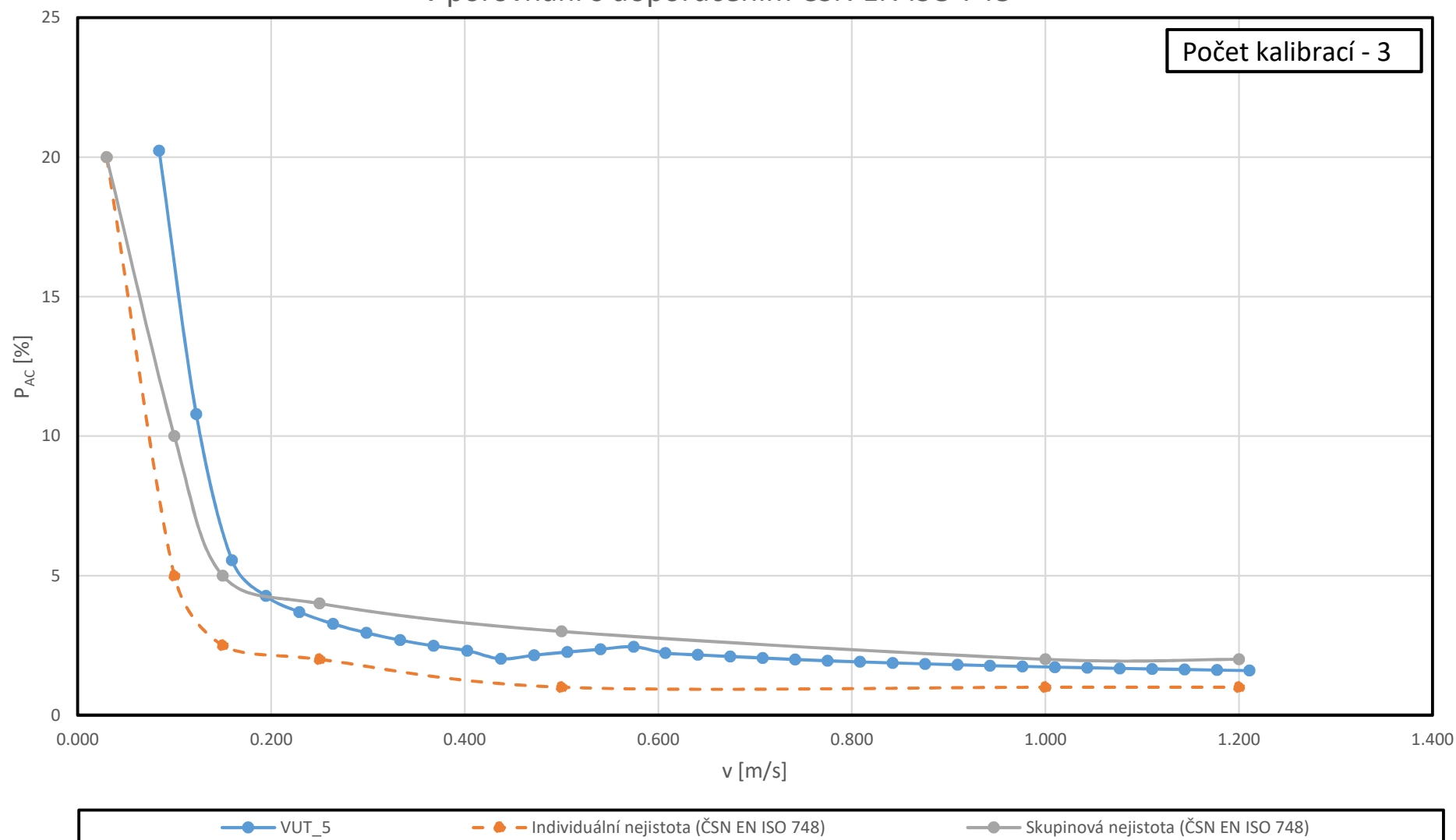
Rozšířená nejistota opakovaných kalibrací v závislosti na průměrné rychlosti všech dostupných kalibrací vodoměrné vrtule OTT-C-2, tělo 141736/propeler 5-203490, VAS, v porovnání s doporučením ČSN EN ISO 748

Počet kalibrací - 6



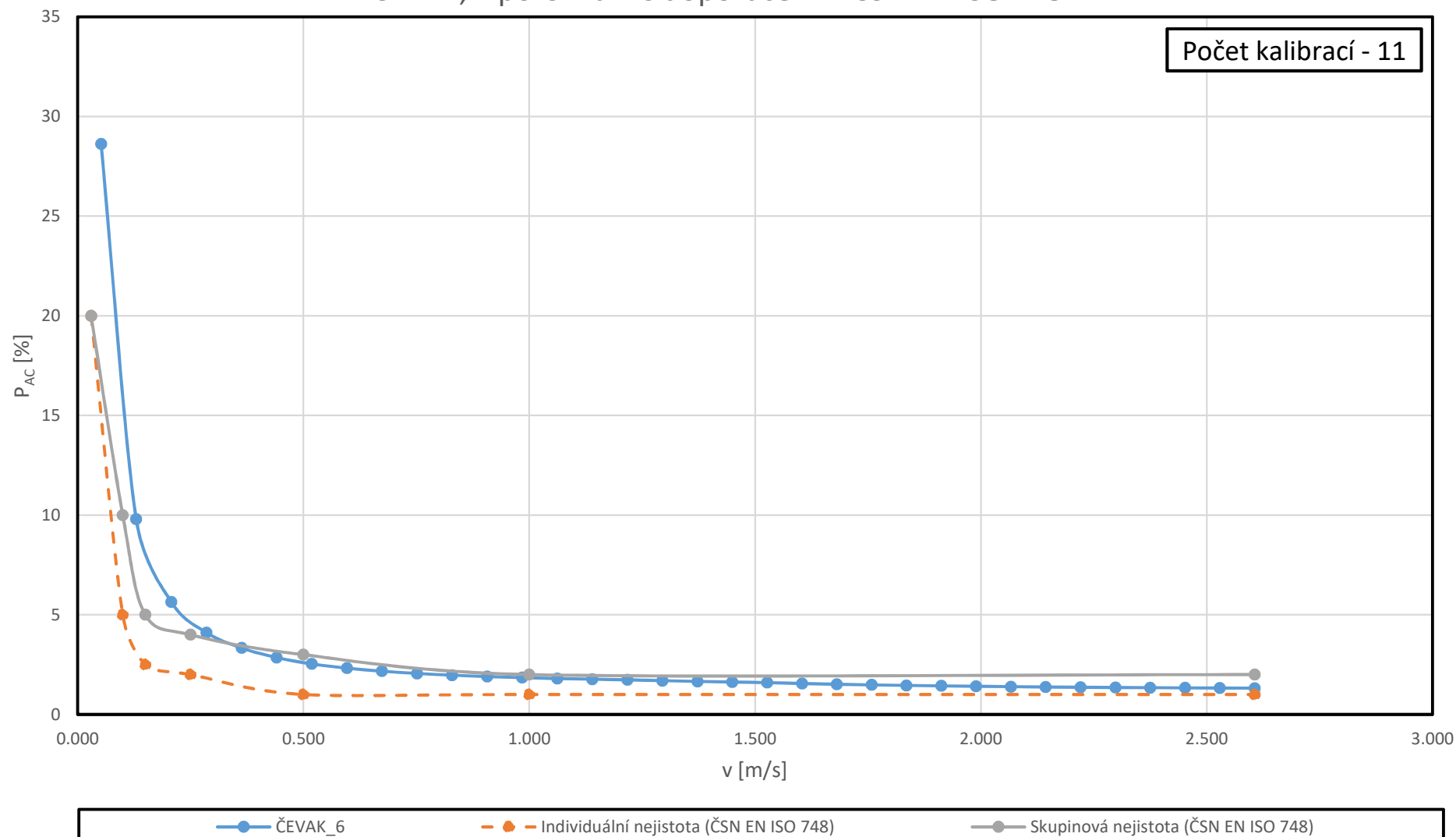
Rozšířená nejistota opakovaných kalibrací v závislosti na průměrné rychlosti všech dostupných kalibrací vodoměrné vrtule OTT-C-2, tělo 141768/propeler 5-01, VUT, v porovnání s doporučením ČSN EN ISO 748

Počet kalibrací - 3

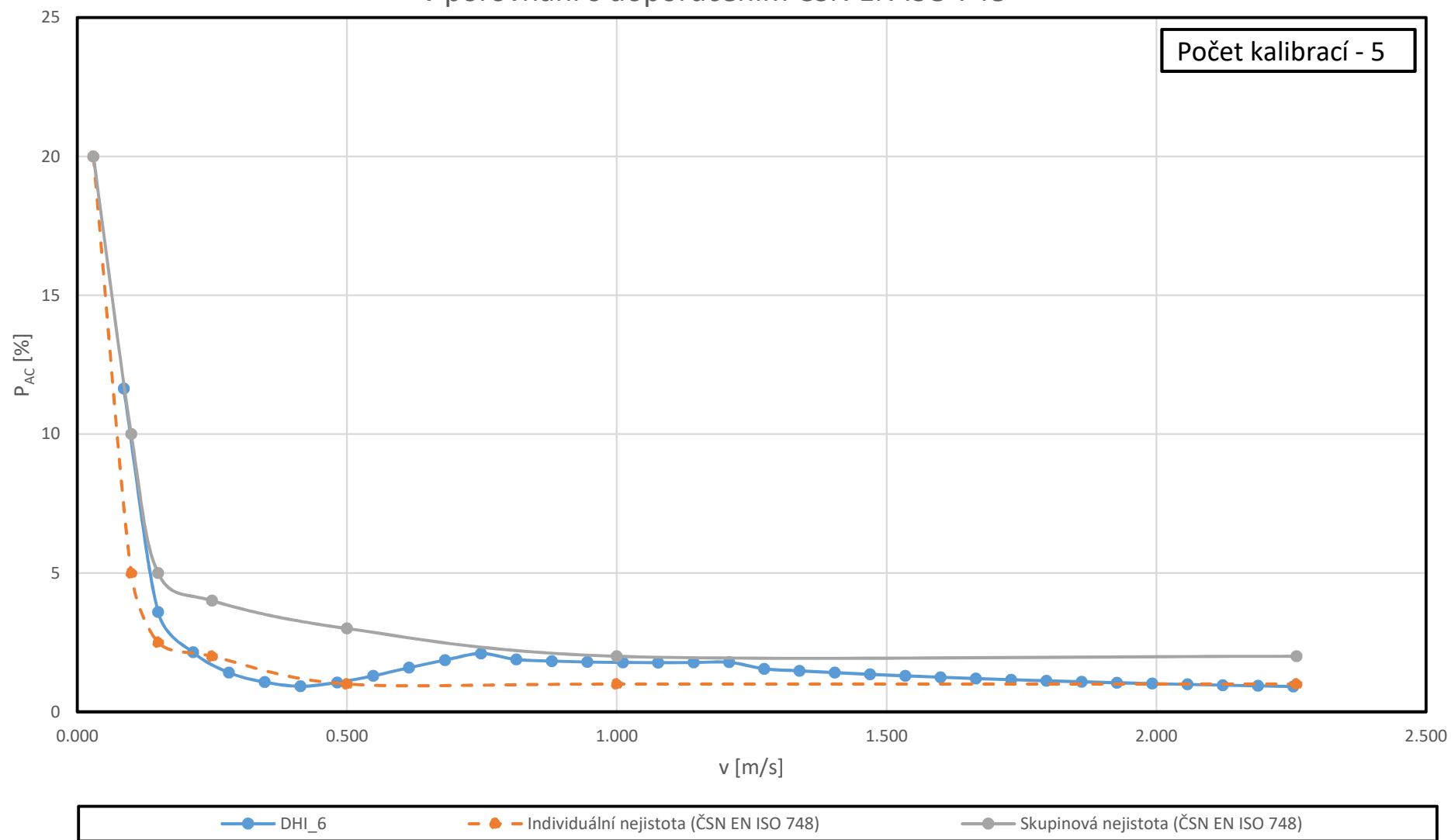


Rozšířená nejistota opakovaných kalibrací v závislosti na průměrné rychlosti všech dostupných kalibrací vodoměrné vrtule OTT-C-2, tělo 115285/propeler 6-113168, ČEVAK, v porovnání s doporučením ČSN EN ISO 748

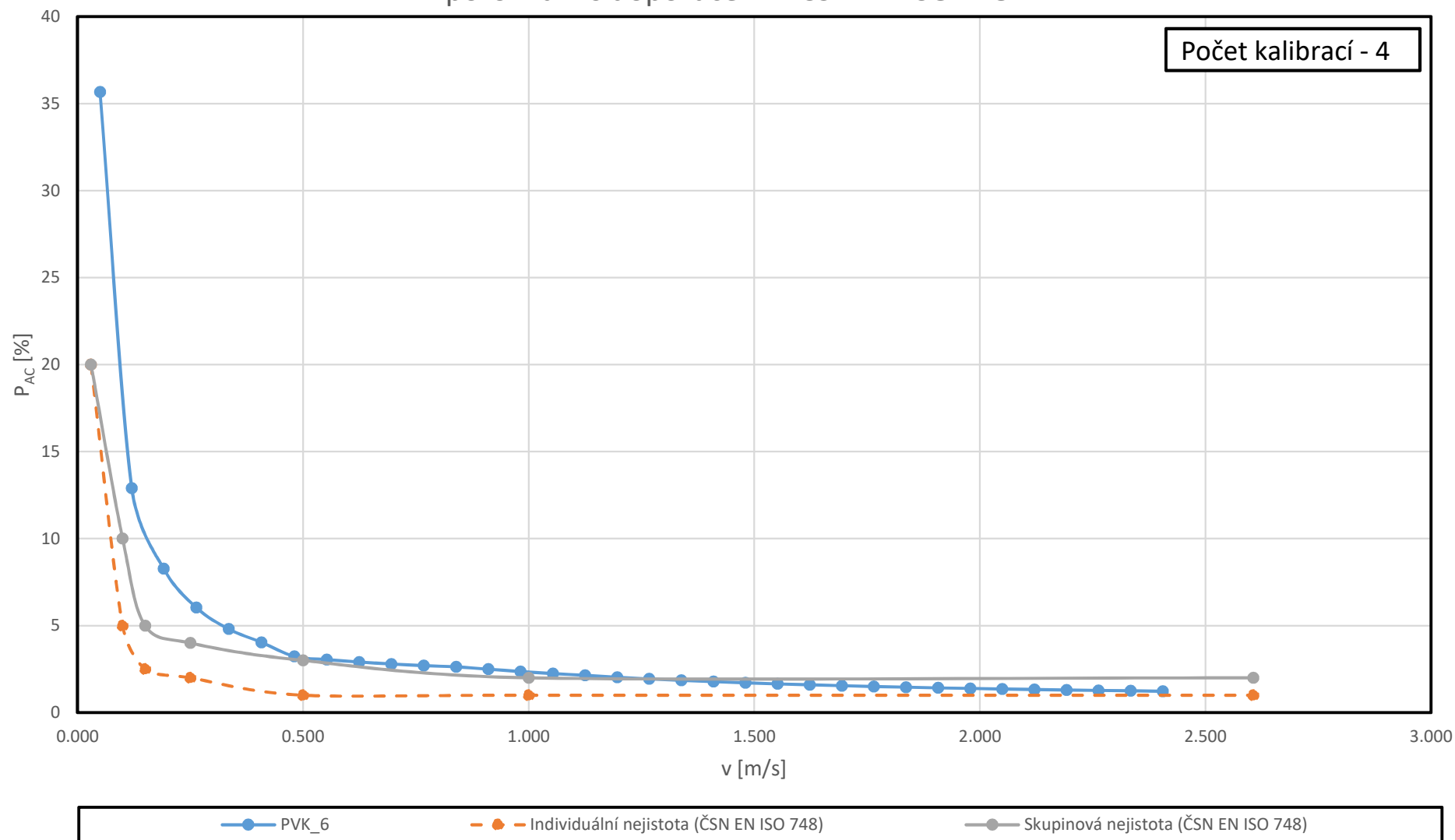
Počet kalibrací - 11



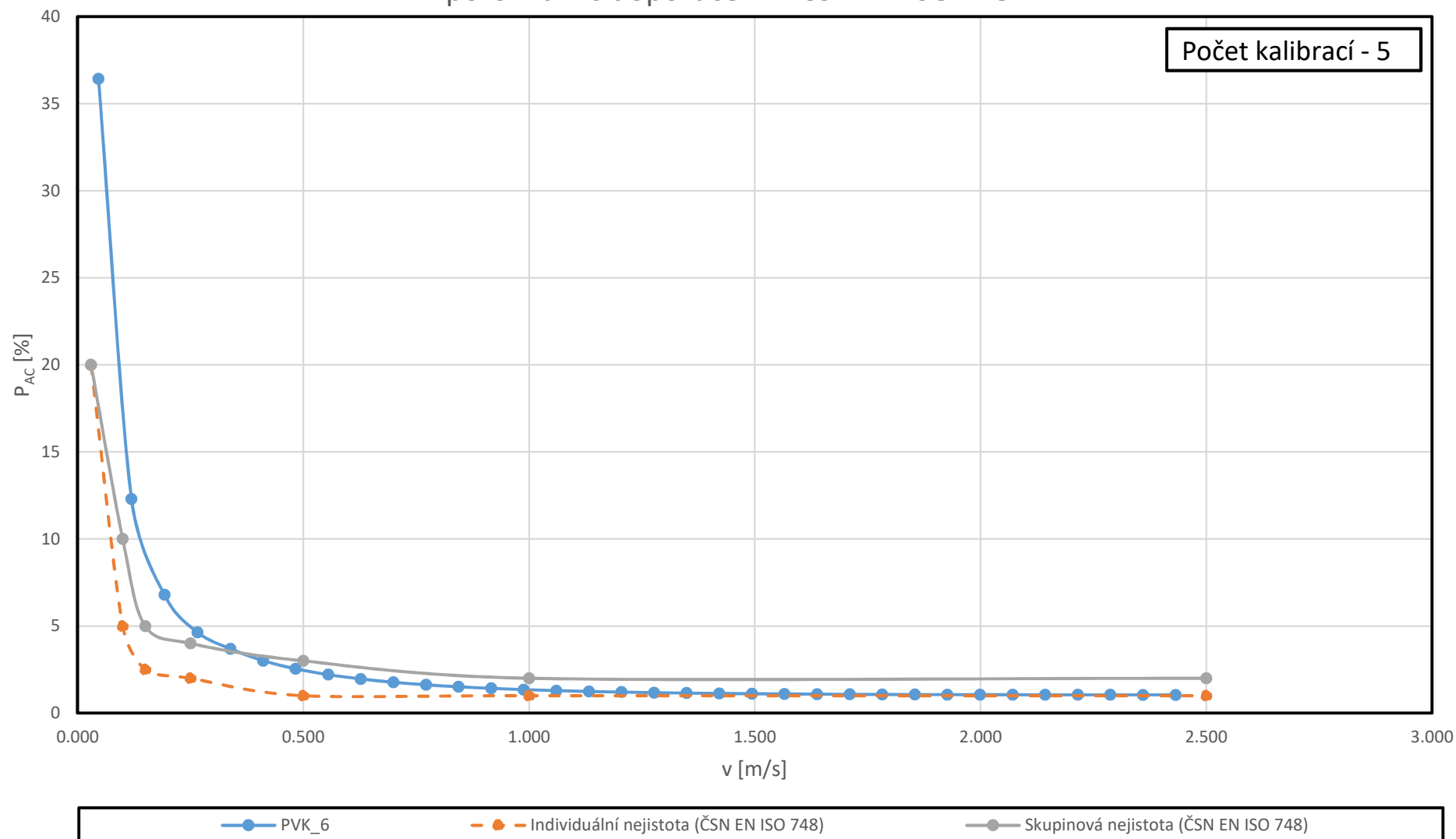
Rozšířená nejistota opakovaných kalibrací v závislosti na průměrné rychlosti všech dostupných kalibrací vodoměrné vrtule OTT-C-2, tělo 232210/propeler 6-203507, DHI, v porovnání s doporučením ČSN EN ISO 748



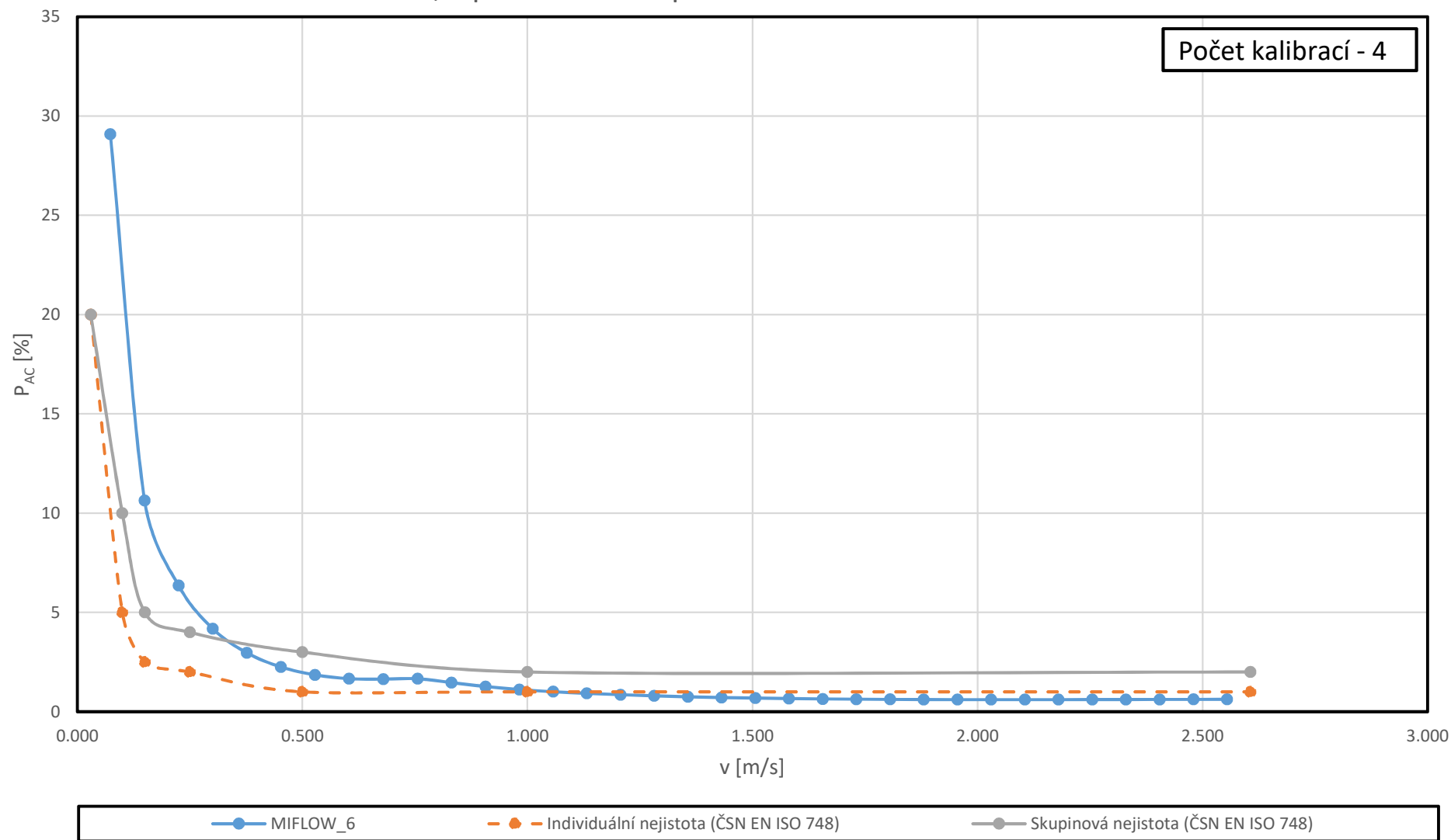
Rozšířená nejistota opakovaných kalibrací v závislosti na průměrné rychlosti všech dostupných kalibrací vodoměrné vrtule OTT-C-2, tělo 168876/propeler 6-169294, PVK, v porovnání s doporučením ČSN EN ISO 748



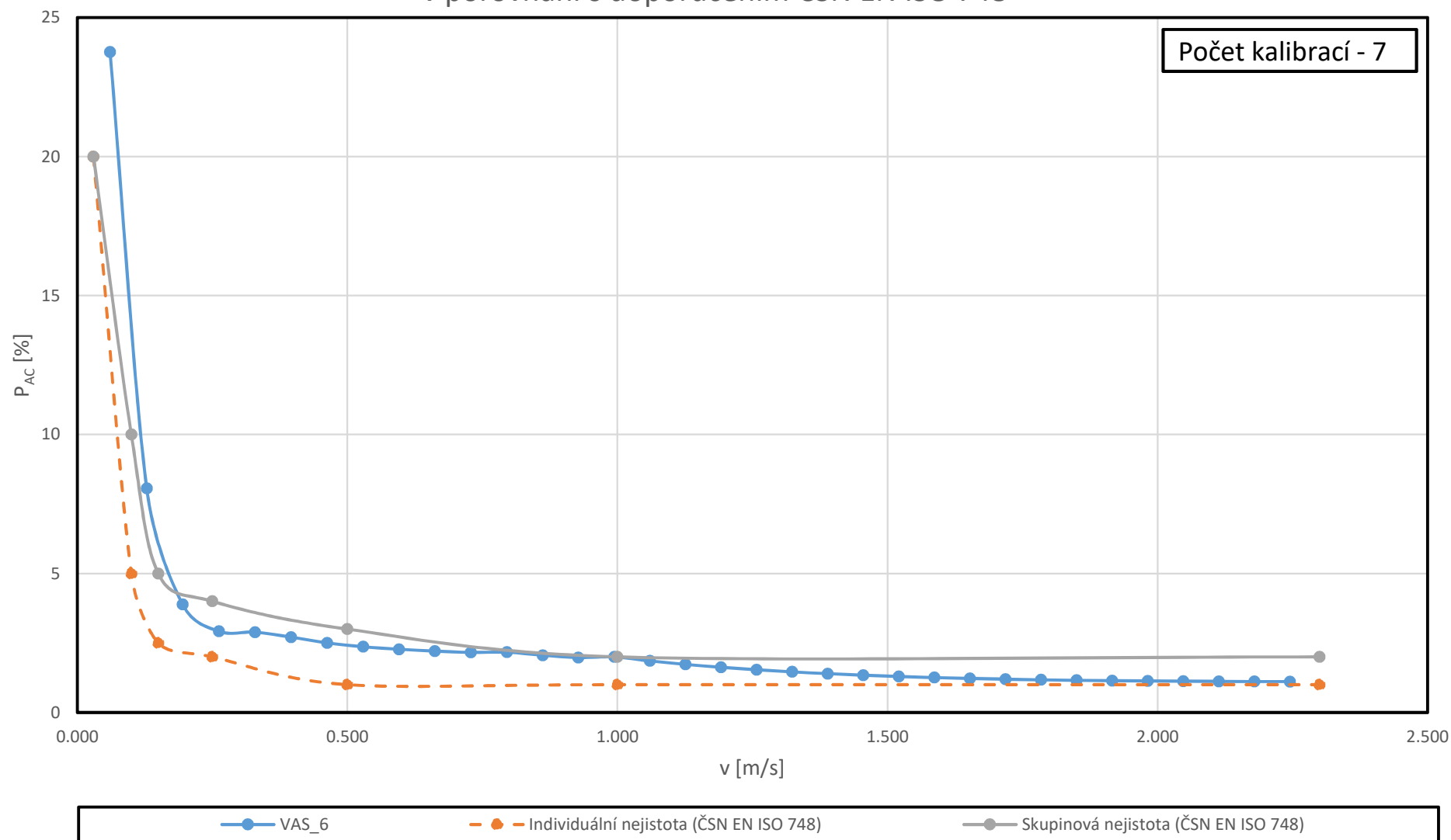
Rozšířená nejistota opakovaných kalibrací v závislosti na průměrné rychlosti všech dostupných kalibrací vodoměrné vrtule OTT-C-2, tělo 141762/propeler 6-144976, PVK, v porovnání s doporučením ČSN EN ISO 748



Rozšířená nejistota opakovaných kalibrací v závislosti na průměrné rychlosti všech dostupných kalibrací vodoměrné vrtule OTT-C-2, tělo 106087/propeler 6-107411, MIFLOW, v porovnání s doporučením ČSN EN ISO 748



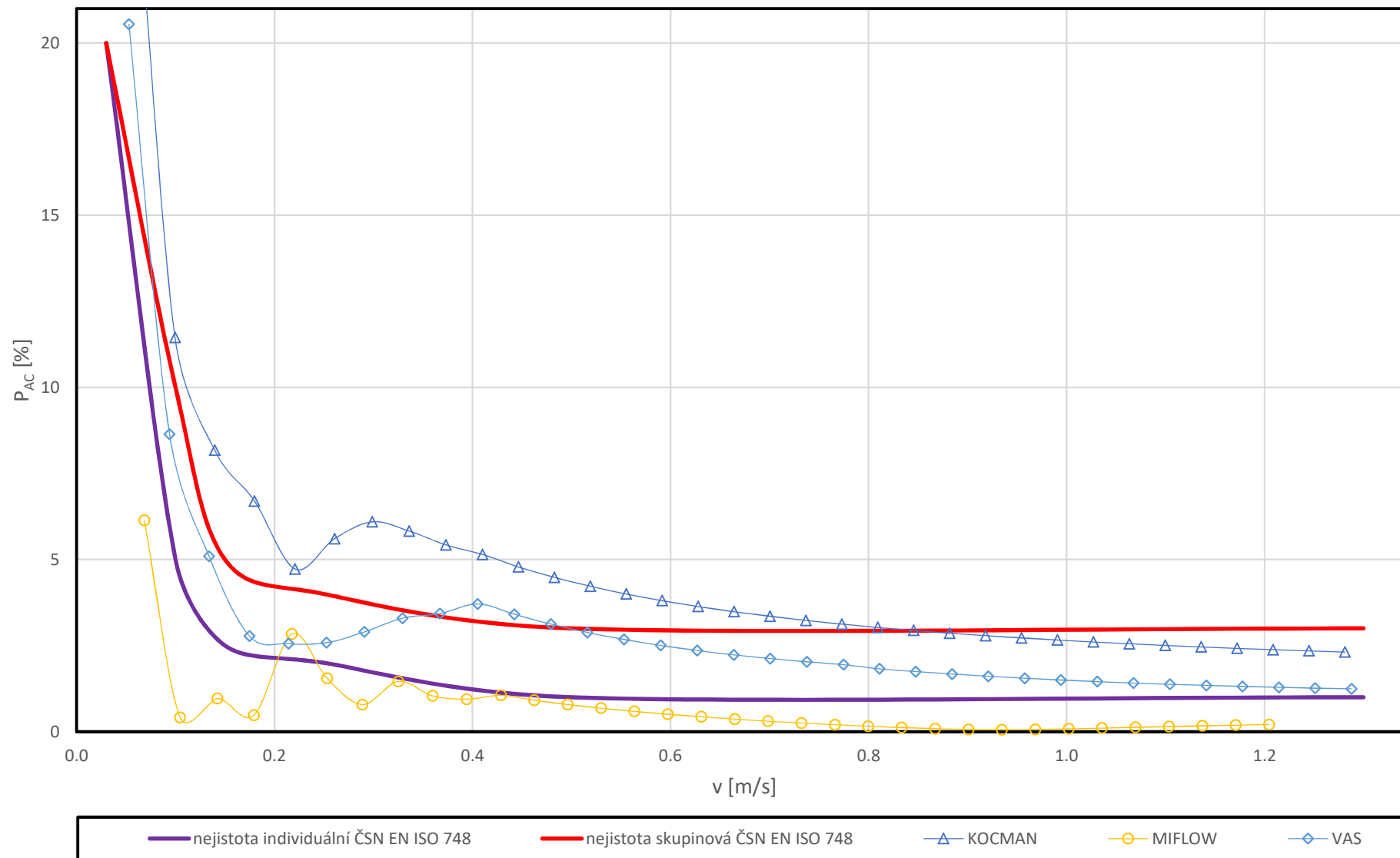
Rozšířená nejistota opakovaných kalibrací v závislosti na průměrné rychlosti všech dostupných kalibrací vodoměrné vrtule OTT-C-2, tělo 141736/propeler 6-144977, VAS, v porovnání s doporučením ČSN EN ISO 748



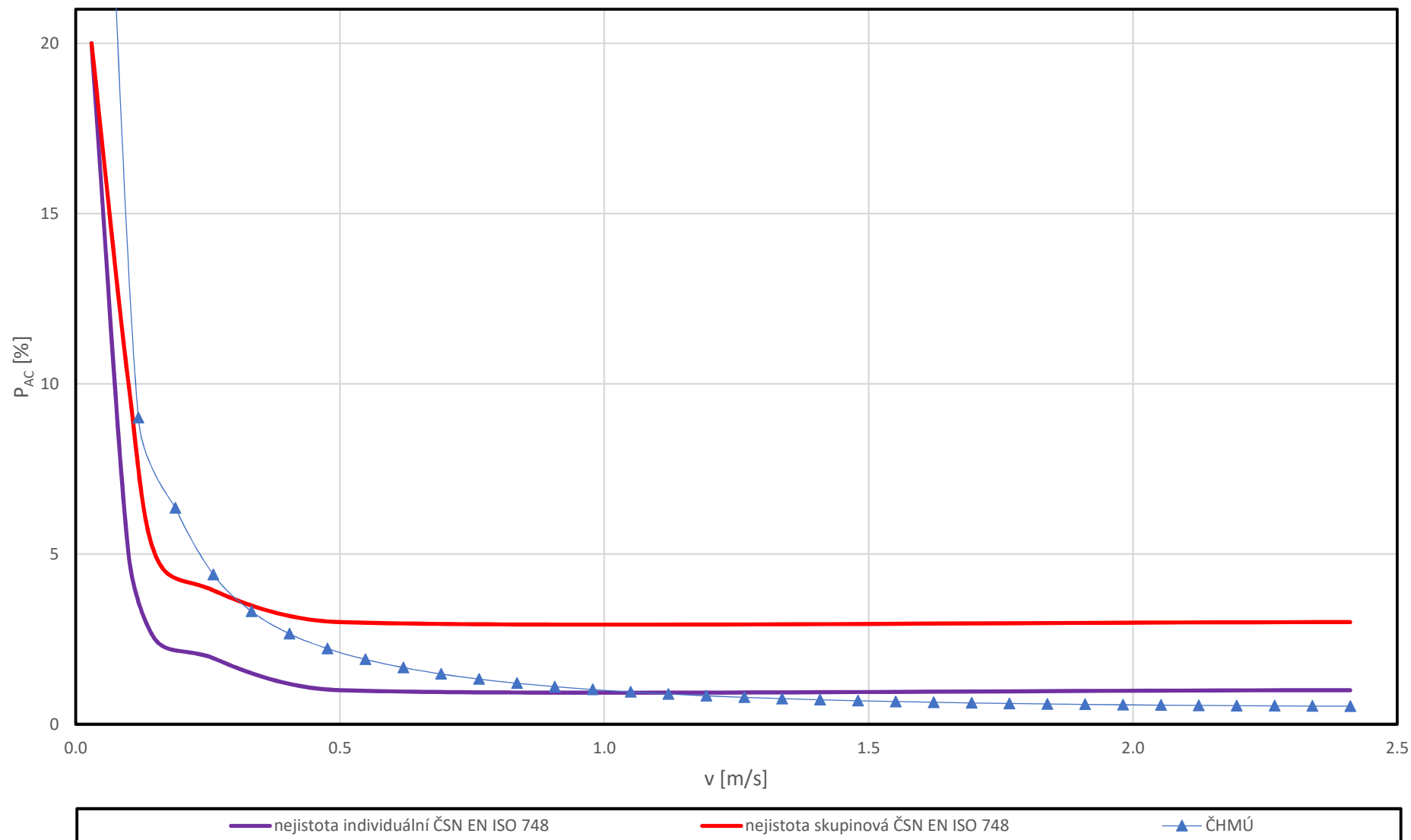
## **PŘÍLOHA P4**

Porovnání rozšířené relativní nejistoty vodoměrné vrtule, s hodnotami uváděnými  
ČSN EN ISO 748

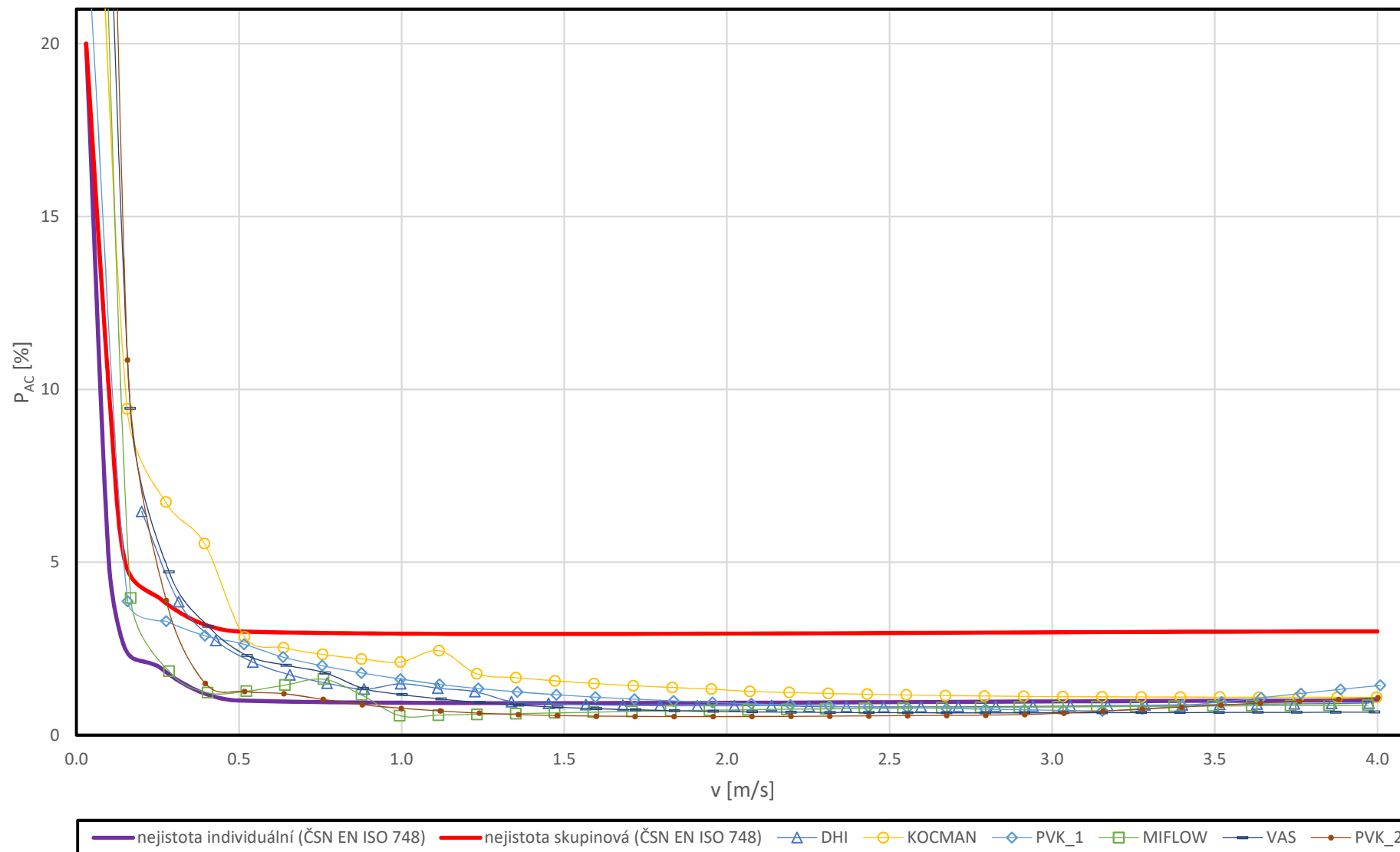
Porovnání rozšířené relativní nejistoty vodoměrné vrtule OTT-C-2  
propeler 1, s hodnotami uváděnými ČSN EN ISO 748



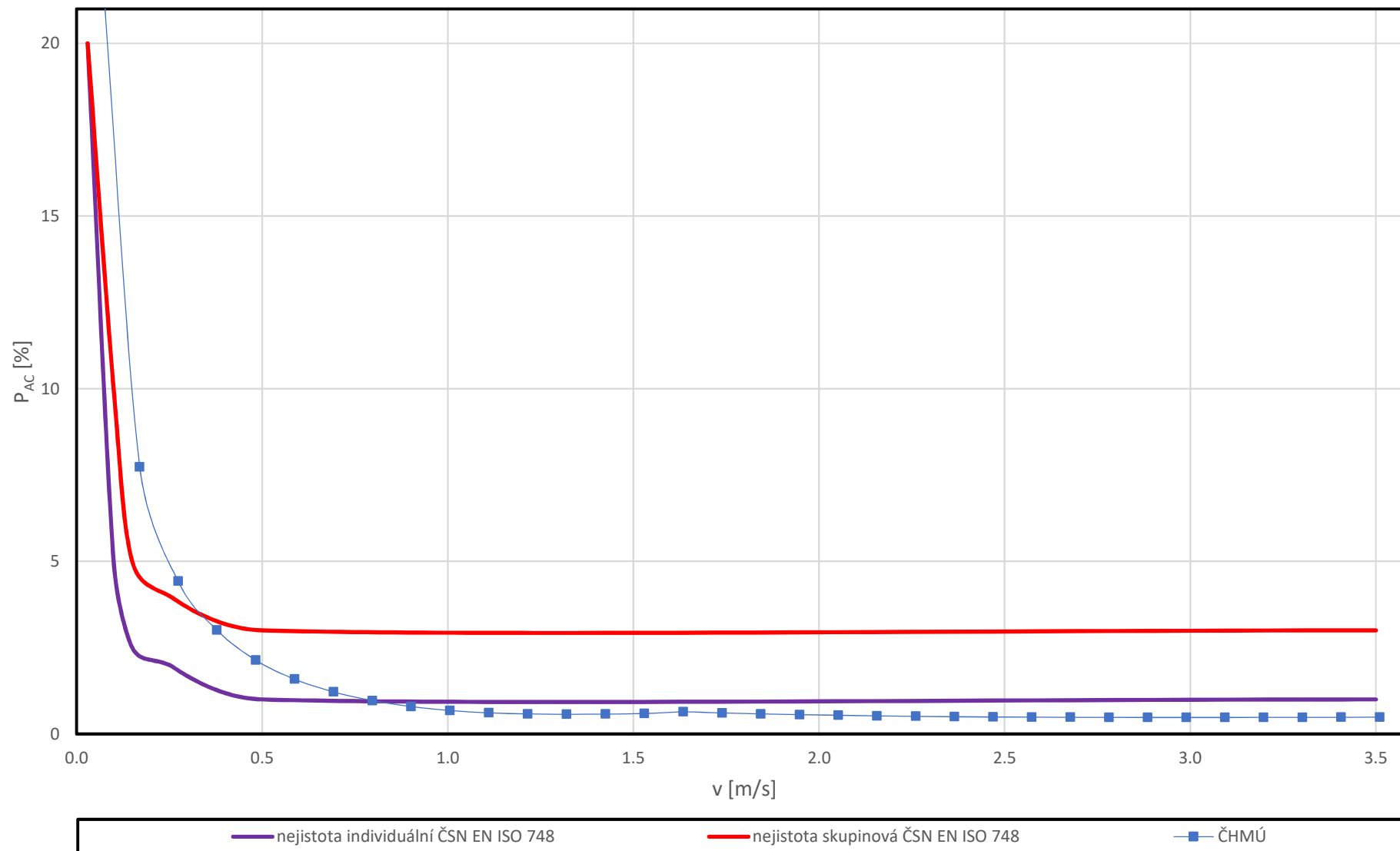
Porovnání rozšířené relativní nejistoty vodoměrné vrtule OTT-C-2  
propeler 2, s hodnotami uváděnými ČSN EN ISO 748



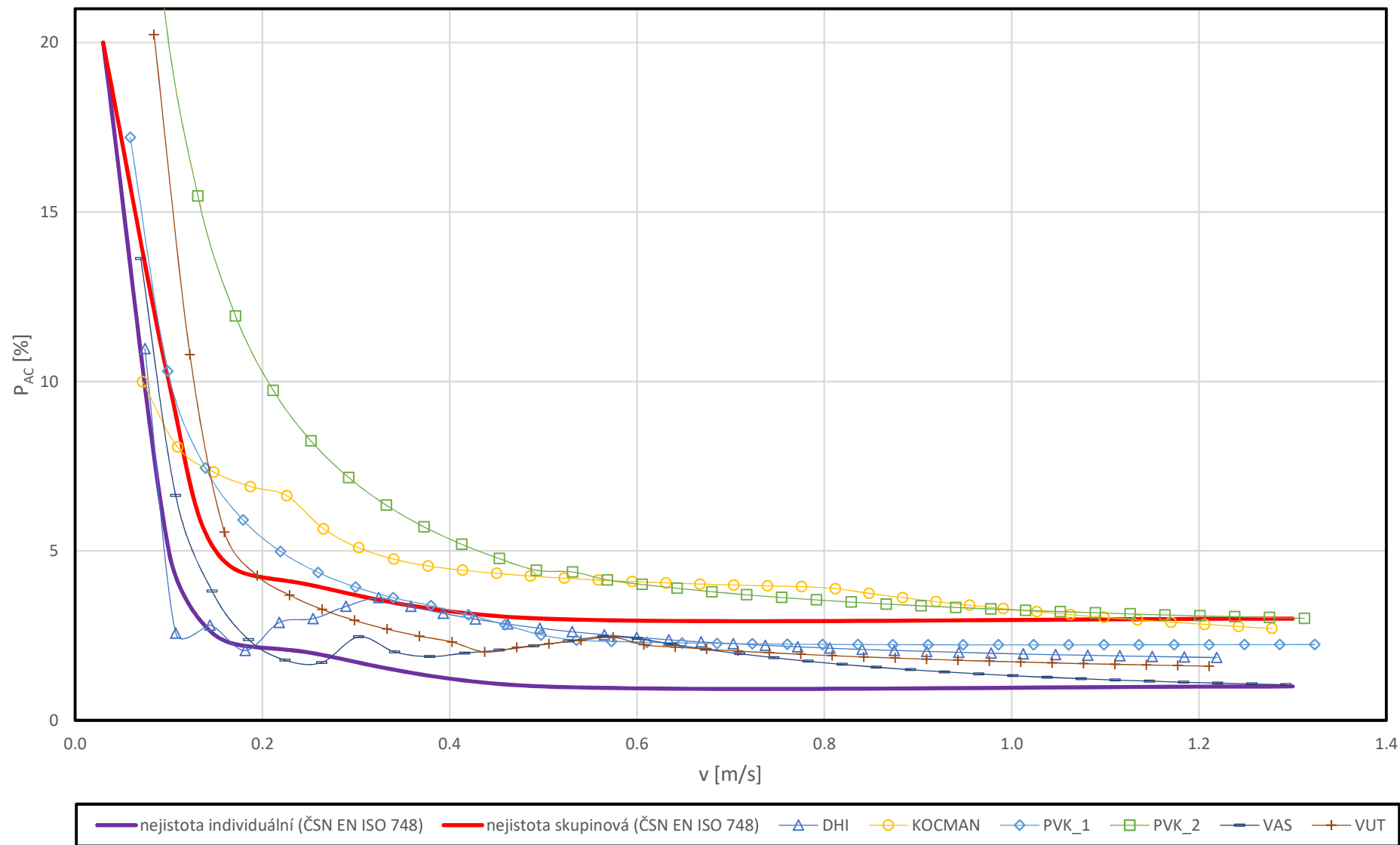
# Porovnání rozšířené relativní nejistoty vodoměrné vrtule OTT-C-2 propeler 3, s hodnotami uváděnými ČSN EN ISO 748



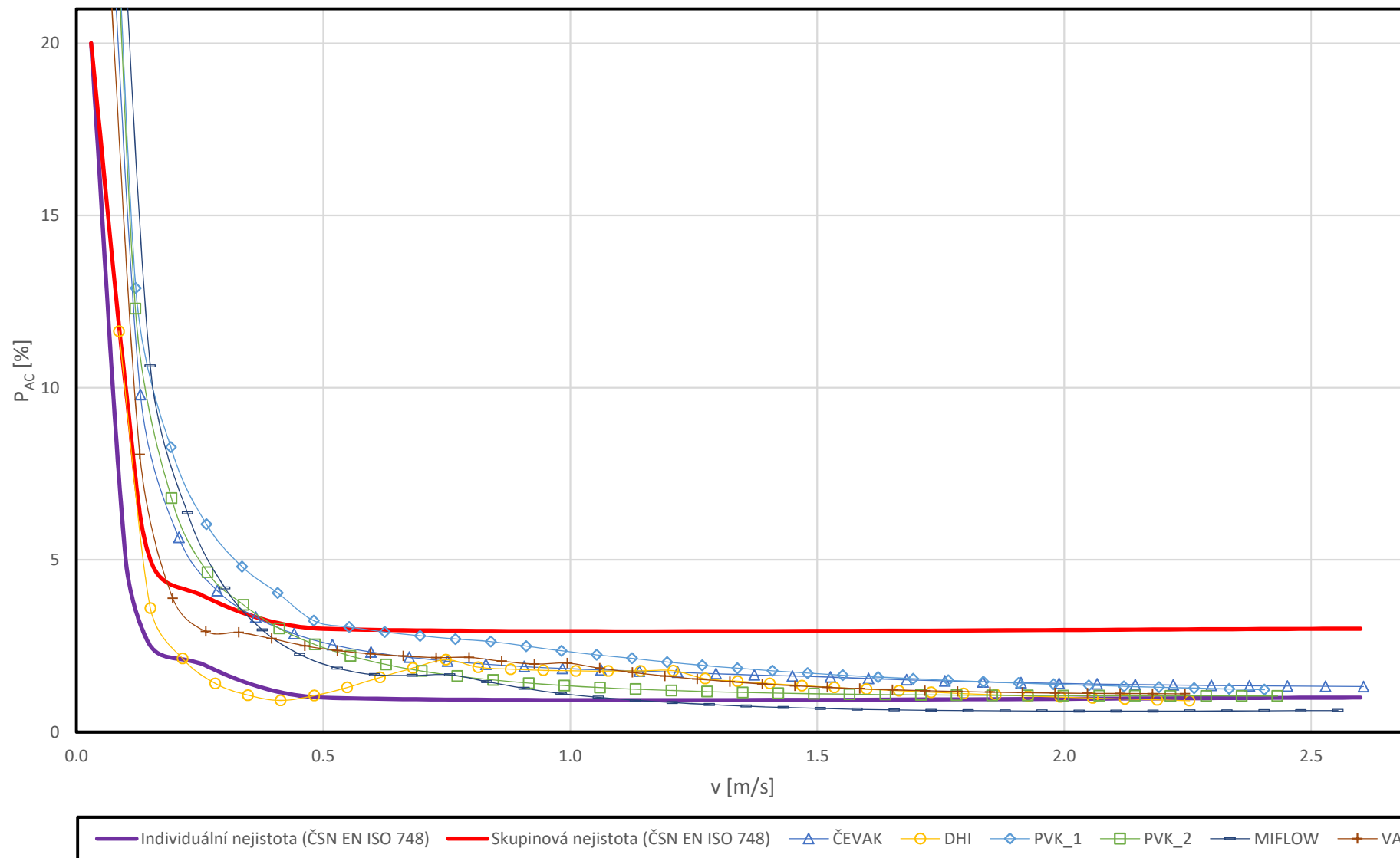
Porovnání rozšířené relativní nejistoty vodoměrné vrtule OTT-C-31  
propeler 4, s hodnotami uváděnými ČSN EN ISO 748



Porovnání rozšířené relativní nejistoty vodoměrné vrtule OTT-C-2  
propeler 5, s hodnotami uváděnými ČSN EN ISO 748



# Porovnání rozšířené relativní nejistoty vodoměrné vrtule OTT-C-2 propeler 6, s hodnotami uváděnými ČSN EN ISO 748



Porovnání relativní rozšířené nejistoty  $P_{AC}$  vykazované všemi posuzovanými měřidly  
s doporučením ČSN EN ISO 748

